

INFORME DE EVOLUCIÓN DE NIVELES PIEZOMÉTRICOS EN LA DEMARCACIÓN HIDROGRÁFICA DEL JÚCAR

AÑO HIDROLÓGICO 2018/19

Confederación Hidrográfica del Júcar



Noviembre de 2019

ÍNDICE

1	Ámbito de estudio y objetivos.	1
2	Red de piezometría representativa. Metodología.....	5
3	Evolución de los niveles piezométricos.....	13
4	Resumen y conclusiones.	113
5	Referencias bibliográficas.	118

ÍNDICE DE TABLAS

Tabla 1. Masas de agua subterránea.	3
Tabla 2. Masas de agua subterránea con piezómetros representativos, número de puntos, estado cuantitativo e índice de explotación.	11
Tabla 3. Frecuencias de medida de los piezómetros representativos.	15
Tabla 4. Evolución observada en los piezómetros de la red representativa en el año hidrológico 2018/19.	115

ÍNDICE DE FIGURAS

Figura 1. Delimitación de las masas de agua subterránea.....	4
Figura 2. Ejemplo de información técnica del sondeo consultada: columna litológica.....	6
Figura 3. Ejemplo de información técnica del sondeo consultada: ficha constructiva.....	7
Figura 4. Red representativa de piezometría.....	9
Figura 5. Red representativa en la masa de agua subterránea 080.101 Hoya de Alfambra.....	17
Figura 6. Piezometría en la masa de agua 080.101 Hoya de Alfambra: serie histórica y año hidrológico 2018/19. Piezómetro 08.99.102.	17
Figura 7. Piezometría en la masa de agua 080.101 Hoya de Alfambra: serie histórica y año hidrológico 2018/19. Piezómetro 08.99.106.	18
Figura 8. Red representativa en la masa de agua subterránea 080.102 Javalambre Occidental.	19
Figura 9. Piezometría en la masa de agua 080.102 Javalambre Occidental: serie histórica y año hidrológico 2018/19. Piezómetro 08.05.041.	19
Figura 10. Red representativa en la masa de agua subterránea 080.103 Javalambre Oriental.	20
Figura 11. Piezometría en la masa de agua 080.103 Javalambre Oriental: serie histórica y año hidrológico 2018/19. Piezómetro 08.05.002.	20
Figura 12. Piezometría en la masa de agua 080.103 Javalambre Oriental: serie histórica y año hidrológico 2018/19. Piezómetro 08.05.005.	21
Figura 13. Red representativa en la masa de agua subterránea 080.104 Mosqueruela.	22
Figura 14. Piezometría en la masa de agua 080.104 Mosqueruela: serie histórica y año hidrológico 2018/19. Piezómetro 08.06.005.	22
Figura 15. Red representativa en la masa de agua subterránea 080.106 Plana de Cenia.....	23
Figura 16. Piezometría en la masa de agua 080.106 Plana de Cenia: serie histórica y año hidrológico 2018/19. Piezómetro 08.09.003.	23
Figura 17. Red representativa en la masa de agua subterránea 080.107 Plana de Vinaroz.....	24
Figura 18. Piezometría en la masa de agua 080.107 Plana de Vinaroz: serie histórica y año hidrológico 2018/19. Piezómetro 08.10.008.	24
Figura 19. Piezometría en la masa de agua 080.107 Plana de Vinaroz: serie histórica y año hidrológico 2018/19. Piezómetro 08.10.009.	25
Figura 20. Red representativa en la masa de agua subterránea 080.108 Maestrazgo Occidental.	26
Figura 21. Piezometría en la masa de agua 080.108 Maestrazgo Occidental: serie histórica y año hidrológico 2018/19. Piezómetro 08.07.124.	26
Figura 22. Red representativa en la masa de agua subterránea 080.109 Maestrazgo Oriental.	27
Figura 23. Piezometría en la masa de agua 080.109 Maestrazgo Oriental: serie histórica y año hidrológico 2018/19. Piezómetro 08.07.004.	27

Figura 24. Red representativa en la masa de agua subterránea 080.110 Plana de Oropesa-Torreblanca.	28
Figura 25. Piezometría en la masa de agua 080.110 Plana de Oropesa-Torreblanca: serie histórica y año hidrológico 2018/19. Piezómetro 08.07.009.	28
Figura 26. Piezometría en la masa de agua 080.110 Plana de Oropesa-Torreblanca: serie histórica y año hidrológico 2018/19. Piezómetro 08.11.004.	29
Figura 27. Red representativa en la masa de agua subterránea 080.111 Lucena-Alcora.	30
Figura 28. Piezometría en la masa de agua 080.111 Lucena-Alcora: serie histórica y año hidrológico 2018/19. Piezómetro 08.06.003.	30
Figura 29. Red representativa en la masa de agua subterránea 080.112 Hoya de Teruel.	31
Figura 30. Piezometría en la masa de agua 080.112 Hoya de Teruel: serie histórica y año hidrológico 2018/19. Piezómetro 08.15.006.	31
Figura 31. Red representativa en la masa de agua subterránea 080.113 Arquillo.	32
Figura 32. Piezometría en la masa de agua 080.113 Arquillo: serie histórica y año hidrológico 2018/19. Piezómetro 08.03.001.	32
Figura 33. Red representativa en la masa de agua subterránea 080.114 Gea de Albarracín.	33
Figura 34. Piezometría en la masa de agua 080.114 Gea de Albarracín: serie histórica y año hidrológico 2018/19. Piezómetro 08.03.002.	33
Figura 35. Red representativa en la masa de agua subterránea 080.115 Montes Universales.	34
Figura 36. Piezometría en la masa de agua 080.115 Montes Universales: serie histórica y año hidrológico 2018/19. Piezómetro 08.02.002.	34
Figura 37. Piezometría en la masa de agua 080.115 Montes Universales: serie histórica y año hidrológico 2018/19. Piezómetro 08.02.005.	35
Figura 38. Red representativa en la masa de agua subterránea 080.117 Jurásico de Uña.	36
Figura 39. Piezometría en la masa de agua 080.117 Jurásico de Uña: serie histórica y año hidrológico 2018/19. Piezómetro 08.02.065.	36
Figura 40. Red representativa en la masa de agua subterránea 080.119 Terciario de Alarcón.	37
Figura 41. Piezometría en la masa de agua 080.119 Terciario de Alarcón: serie histórica y año hidrológico 2018/19. Piezómetro 08.17.029.	37
Figura 42. Red representativa en la masa de agua subterránea 080.120 Cretácico de cuenca Sur.	38
Figura 43. Piezometría en la masa de agua 080.120 Cretácico de cuenca Sur: serie histórica y año hidrológico 2018/19. Piezómetro 08.17.171.	38
Figura 44. Red representativa en la masa de agua subterránea 080.121 Jurásico de Cardenete.	39
Figura 45. Piezometría en la masa de agua 080.121 Jurásico de Cardenete: serie histórica y año hidrológico 2018/19. Piezómetro 08.17.020.	39
Figura 46. Red representativa en la masa de agua subterránea 080.122 Vallanca.	40
Figura 47. Piezometría en la masa de agua 080.122 Vallanca: serie histórica y año hidrológico 2018/19. Piezómetro 08.04.001.	40

Figura 48. Red representativa en la masa de agua subterránea 080.123 Alpuente.....	41
Figura 49. Piezometría en la masa de agua 080.123 Alpuente: serie histórica y año hidrológico 2018/19. Piezómetro 08.15.002.	41
Figura 50. Piezometría en la masa de agua 080.123 Alpuente: serie histórica y año hidrológico 2018/19. Piezómetro 08.15.004.	42
Figura 51. Red representativa en la masa de agua subterránea 080.124 Sierra del Toro.....	43
Figura 52. Piezometría en la masa de agua 080.124 Sierra del Toro: serie histórica y año hidrológico 2018/19. Piezómetro 08.14.006.	43
Figura 53. Red representativa en la masa de agua subterránea 080.125 Jérica.	44
Figura 54. Piezometría en la masa de agua 080.125 Jérica: serie histórica y año hidrológico 2018/19. Piezómetro 08.14.004.	44
Figura 55. Red representativa en la masa de agua subterránea 080.126 Onda-Espadán.	45
Figura 56. Piezometría en la masa de agua 080.126 Onda-Espadán: serie histórica y año hidrológico 2018/19. Piezómetro 08.13.007.	45
Figura 57. Red representativa en la masa de agua subterránea 080.127 Plana de Castellón....	46
Figura 58. Piezometría en la masa de agua 080.127 Plana de Castellón: serie histórica y año hidrológico 2018/19. Piezómetro 08.12.010.	46
Figura 59. Piezometría en la masa de agua 080.127 Plana de Castellón: serie histórica y año hidrológico 2018/19. Piezómetro 08.12.014.	47
Figura 60. Piezometría en la masa de agua 080.127 Plana de Castellón: serie histórica y año hidrológico 2018/19. Piezómetro 08.12.015.	48
Figura 61. Piezometría en la masa de agua 080.127 Plana de Castellón: serie histórica y año hidrológico 2018/19. Piezómetro 08.12.017.	49
Figura 62. Piezometría en la masa de agua 080.127 Plana de Castellón: serie histórica y año hidrológico 2018/19. Piezómetro 08.12.033.	50
Figura 63. Red representativa en la masa de agua subterránea 080.128 Plana de Sagunto.....	51
Figura 64. Piezometría en la masa de agua 080.128 Plana de Sagunto: serie histórica y año hidrológico 2018/19. Piezómetro 08.21.005.	51
Figura 65. Red representativa en la masa de agua subterránea 080.129 Mancha Oriental.	52
Figura 66. Piezometría en la masa de agua 080.129 Mancha Oriental: serie histórica y año hidrológico 2018/19. Piezómetro 08.17.028.	52
Figura 67. Piezometría en la masa de agua 080.129 Mancha Oriental: serie histórica y año hidrológico 2018/19. Piezómetro 08.29.033.	53
Figura 68. Piezometría en la masa de agua 080.129 Mancha Oriental: serie histórica y año hidrológico 2018/19. Piezómetro 08.29.035.	54
Figura 69. Piezometría en la masa de agua 080.129 Mancha Oriental: serie histórica y año hidrológico 2018/19. Piezómetro 08.29.049.	55
Figura 70. Piezometría en la masa de agua 080.129 Mancha Oriental: serie histórica y año hidrológico 2018/19. Piezómetro 08.29.053.	56

Figura 71. Piezometría en la masa de agua 080.129 Mancha Oriental: serie histórica y año hidrológico 2018/19. Piezómetro 08.29.059.	57
Figura 72. Piezometría en la masa de agua 080.129 Mancha Oriental: serie histórica y año hidrológico 2018/19. Piezómetro 08.29.060.	58
Figura 73. Piezometría en la masa de agua 080.129 Mancha Oriental: serie histórica y año hidrológico 2018/19. Piezómetro 08.29.080.	59
Figura 74. Piezometría en la masa de agua 080.129 Mancha Oriental: serie histórica y año hidrológico 2018/19. Piezómetro 08.29.102.	60
Figura 75. Piezometría en la masa de agua 080.129 Mancha Oriental: serie histórica y año hidrológico 2018/19. Piezómetro 08.29.307.	61
Figura 76. Piezometría en la masa de agua 080.129 Mancha Oriental: serie histórica y año hidrológico 2018/19. Piezómetro 08.29.308.	62
Figura 77. Piezometría en la masa de agua 080.129 Mancha Oriental: serie histórica y año hidrológico 2018/19. Piezómetro 08.30.003.	63
Figura 78. Red representativa en la masa de agua subterránea 080.130 Medio Palancia.	64
Figura 79. Piezometría en la masa de agua 080.130 Medio Palancia: serie histórica y año hidrológico 2018/19. Piezómetro 08.20.014.	64
Figura 80. Red representativa en la masa de agua subterránea 080.131 Liria-Casinos.	65
Figura 81. Piezometría en la masa de agua 080.131 Liria-Casinos: serie histórica y año hidrológico 2018/19. Piezómetro 08.19.004.	65
Figura 82. Piezometría en la masa de agua 080.131 Liria-Casinos: serie histórica. Piezómetro 08.22.008.	66
Figura 83. Red representativa en la masa de agua subterránea 080.132 Las Serranías.	67
Figura 84. Piezometría en la masa de agua 080.132 Las Serranías: serie histórica y año hidrológico 2018/19. Piezómetro 08.18.010.	67
Figura 85. Piezometría en la masa de agua 080.132 Las Serranías: serie histórica y año hidrológico 2018/19. Piezómetro 08.22.002.	68
Figura 86. Red representativa en la masa de agua subterránea 080.133 Requena-Utiel.	69
Figura 87. Piezometría en la masa de agua 080.133 Requena-Utiel: serie histórica y año hidrológico 2018/19. Piezómetro 08.24.005.	69
Figura 88. Piezometría en la masa de agua 080.133 Requena-Utiel: serie histórica y año hidrológico 2018/19. Piezómetro 08.24.007.	70
Figura 89. Piezometría en la masa de agua 080.133 Requena-Utiel: serie histórica y año hidrológico 2018/19. Piezómetro 08.24.010.	71
Figura 90. Red representativa en la masa de agua subterránea 080.134 Mira.	72
Figura 91. Piezometría en la masa de agua 080. 134 Mira: serie histórica y año hidrológico 2018/19. Piezómetro 08.24.001.	72
Figura 92. Red representativa en la masa de agua subterránea 080.135 Hoces del Cabriel.	73
Figura 93. Piezometría en la masa de agua 080.135 Hoces del Cabriel: serie histórica y año hidrológico 2018/19. Piezómetro 08.24.008.	73

Figura 94. Red representativa en la masa de agua subterránea 080.136 Lezuza-El Jardín.	74
Figura 95. Piezometría en la masa de agua 080.136 Lezuza-El Jardín: serie histórica y año hidrológico 2018/19. Piezómetro 08.30.151.	74
Figura 96. Red representativa en la masa de agua subterránea 080.139 Cabrillas-Malacara....	75
Figura 97. Piezometría en la masa de agua 080.139 Cabrillas-Malacara: serie histórica y año hidrológico 2018/19. Piezómetro 08.18.003.	75
Figura 98. Red representativa en la masa de agua subterránea 080.140 Buñol-Cheste.	76
Figura 99. Piezometría en la masa de agua 080.140 Buñol-Cheste: serie histórica y año hidrológico 2018/19. Piezómetro 08.23.017.	76
Figura 100. Red representativa en la masa de agua subterránea 080.141 Plana de Valencia Norte.	77
Figura 101. Piezometría en la masa de agua 080.141 Plana de Valencia Norte: serie histórica y año hidrológico 2018/19. Piezómetro 08.25.009.	77
Figura 102. Piezometría en la masa de agua 080.141 Plana de Valencia Norte: serie histórica y año hidrológico 2018/19. Piezómetro 08.25.010.	78
Figura 103. Piezometría en la masa de agua 080.141 Plana de Valencia Norte: serie histórica y año hidrológico 2018/19. Piezómetro 08.25.094.	79
Figura 104. Red representativa en la masa de agua subterránea 080.142 Plana de Valencia Sur.	80
Figura 105. Piezometría en la masa de agua 080.142 Plana de Valencia Sur: serie histórica y año hidrológico 2018/19. Piezómetro 08.26.016.	80
Figura 106. Piezometría en la masa de agua 080.142 Plana de Valencia Sur: serie histórica y año hidrológico 2018/19. Piezómetro 08.26.018.	81
Figura 107. Piezometría en la masa de agua 080.142 Plana de Valencia Sur: serie histórica y año hidrológico 2018/19. Piezómetro 08.26.019.	82
Figura 108. Red representativa en la masa de agua subterránea 080.143 La Contienda.	83
Figura 109. Piezometría en la masa de agua 080.143 La Contienda: serie histórica y año hidrológico 2018/19. Piezómetro 08.27.207.	83
Figura 110. Red representativa en la masa de agua subterránea 080.144 Sierra del Ave.	85
Figura 111. Piezometría en la masa de agua 080.144 Sierra del Ave: serie histórica y año hidrológico 2018/19. Piezómetro 08.27.096.	85
Figura 112. Red representativa en la masa de agua subterránea 080.145 Caroch Norte.	86
Figura 113. Piezometría en la masa de agua 080.145 Caroch Norte: serie histórica y año hidrológico 2018/19. Piezómetro 08.27.204.	86
Figura 114. Red representativa en la masa de agua subterránea 080.146 Almansa.	87
Figura 115. Piezometría en la masa de agua 080.146 Almansa: serie histórica y año hidrológico 2018/19. Piezómetro 08.33.001.	87
Figura 116. Red representativa en la masa de agua subterránea 080.147 Caroch Sur.	88
Figura 117. Piezometría en la masa de agua 080.147 Caroch Sur: serie histórica y año hidrológico 2018/19. Piezómetro 08.28.007.	88

Figura 118. Red representativa en la masa de agua subterránea 080.148 Hoya de Játiva.	89
Figura 119. Piezometría en la masa de agua 080.148 Hoya de Játiva: serie histórica y año hidrológico 2018/19. Piezómetro 08.28.129.	89
Figura 120. Red representativa en la masa de agua subterránea 080.149 Sierra de las Agujas.	90
Figura 121. Piezometría en la masa de agua 080.149 Sierra de las Agujas: serie histórica y año hidrológico 2018/19. Piezómetro 08.31.007.	90
Figura 122. Piezometría en la masa de agua 080.149 Sierra de las Agujas: serie histórica y año hidrológico 2018/19. Piezómetro 08.31.008.	91
Figura 123. Red representativa en la masa de agua subterránea 080.150 Bárig.	92
Figura 124. Piezometría en la masa de agua 080.150 Bárig: serie histórica y año hidrológico 2018/19. Piezómetro 08.32.010.	92
Figura 125. Red representativa en la masa de agua subterránea 080.151 Plana de Jaraco.	93
Figura 126. Piezometría en la masa de agua 080.151 Plana de Jaraco: serie histórica y año hidrológico 2018/19. Piezómetro 08.38.018.	93
Figura 127. Red representativa en la masa de agua subterránea 080.152 Plana de Gandía.	94
Figura 128. Piezometría en la masa de agua 080.152 Plana de Gandía: serie histórica y año hidrológico 2018/19. Piezómetro 08.38.019.	94
Figura 129. Red representativa en la masa de agua subterránea 080.153 Marchuquera-Falconera.	95
Figura 130. Piezometría en la masa de agua 080.153 Marchuquera-Falconera: serie histórica y año hidrológico 2018/19. Piezómetro 08.32.003.	95
Figura 131. Red representativa en la masa de agua subterránea 080.154 Sierra de Ador.	96
Figura 132. Piezometría en la masa de agua 080.154 Sierra de Ador: serie histórica y año hidrológico 2018/19. Piezómetro 08.37.007.	96
Figura 133. Red representativa en la masa de agua subterránea 080.155 Valle de Albaida.	97
Figura 134. Piezometría en la masa de agua 080.155 Valle de Albaida: serie histórica y año hidrológico 2018/19. Piezómetro 08.32.009.	97
Figura 135. Red representativa en la masa de agua subterránea 080.157 Sierra de la Oliva.	98
Figura 136. Piezometría en la masa de agua 080.157 Sierra de la Oliva: serie histórica y año hidrológico 2018/19. Piezómetro 08.34.003.	98
Figura 137. Red representativa en la masa de agua subterránea 080.160 Villena-Benejama.	99
Figura 138. Piezometría en la masa de agua 080.160 Villena-Benejama: serie histórica y año hidrológico 2018/19. Piezómetro 08.36.001.	99
Figura 139. Red representativa en la masa de agua subterránea 080.161 Volcadores-Albaida.	100
Figura 140. Piezometría en la masa de agua 080.161 Volcadores-Albaida: serie histórica y año hidrológico 2018/19. Piezómetro 08.36.002.	100
Figura 141. Red representativa en la masa de agua subterránea 080.162 Almirante-Mustalla.	101

Figura 142. Piezometría en la masa de agua 080.162 Almirante-Mustalla: serie histórica y año hidrológico 2018/19. Piezómetro 08.37.009.	101
Figura 143. Red representativa en la masa de agua subterránea 080.164 Ondara-Denia.	102
Figura 144. Piezometría en la masa de agua 080.164 Ondara-Denia: serie histórica y año hidrológico 2018/19. Piezómetro 08.38.002.	102
Figura 145. Red representativa en la masa de agua subterránea 080.167 Alfaro-Segaria.	103
Figura 146. Piezometría en la masa de agua 080.167 Alfaro-Segaria: serie histórica y año hidrológico 2018/19. Piezómetro 08.37.014.	103
Figura 147. Red representativa en la masa de agua subterránea 080.170 Salt San Cristóbal..	104
Figura 148. Piezometría en la masa de agua 080.170 Salt San Cristóbal: serie histórica y año hidrológico 2018/19. Piezómetro 08.40.001.	104
Figura 149. Red representativa en la masa de agua subterránea 080.171 Sierra Mariola.	105
Figura 150. Piezometría en la masa de agua 080.171 Sierra Mariola: serie histórica y año hidrológico 2018/19. Piezómetro 08.40.029.	105
Figura 151. Red representativa en la masa de agua subterránea 080.175 Hoya de Castalla. ..	106
Figura 152. Piezometría en la masa de agua 080.175 Hoya de Castalla: serie histórica y año hidrológico 2018/19. Piezómetro 08.44.041.	106
Figura 153. Red representativa en la masa de agua subterránea 080.176 Barrancones-Carrasqueta.	107
Figura 154. Piezometría en la masa de agua 080.176 Barrancones-Carrasqueta: serie histórica y año hidrológico 2018/19. Piezómetro 08.44.005.	107
Figura 155. Piezometría en la masa de agua 080.176 Barrancones-Carrasqueta: serie histórica y año hidrológico 2018/19. Piezómetro 08.44.007.	108
Figura 156. Red representativa en la masa de agua subterránea 080.177 Sierra Aitana.	109
Figura 157. Piezometría en la masa de agua 080.177 Sierra Aitana: serie histórica y año hidrológico 2018/19. Piezómetro 08.45.001.	109
Figura 158. Red representativa en la masa de agua subterránea 080.190 Bajo Vinalopó.	110
Figura 159. Piezometría en la masa de agua 080.190 Bajo Vinalopó: serie histórica y año hidrológico 2018/19. Piezómetro 08.48.108.	110
Figura 160. Piezometría en la masa de agua 080.190 Bajo Vinalopó: serie histórica y año hidrológico 2018/19. Piezómetro 08.99.009.	111
Figura 161. Evolución observada en los piezómetros de la red representativa en el año hidrológico 2018/19.	113
Figura 162. Variación de la precipitación del año hidrológico 2018/19, respecto a la precipitación media del periodo 1980/81 – 2018/19.	116
Figura 162. Variación de la precipitación del año hidrológico 2018/19 (sin tener en cuenta el mes de septiembre), respecto a la precipitación media del periodo 1980/81 – 2018/19.	117

1 Ámbito de estudio y objetivos.

El ámbito de estudio en el que se analiza la evolución del nivel piezométrico en la Demarcación Hidrográfica del Júcar, son las masas de agua subterráneas definidas en el Plan Hidrológico de cuenca (Real Decreto 1/2016, de 8 de enero por el que se aprueba la revisión de los Planes Hidrológicos de las demarcaciones hidrográficas del Cantábrico Occidental, Guadalquivir, Ceuta, Melilla, Segura y Júcar, y de la parte española de las demarcaciones hidrográficas del Cantábrico Oriental, Miño-Sil, Duero, Tajo, Guadiana y Ebro).

Las masas de agua subterránea cubren una superficie total en el ámbito de la Demarcación. De acuerdo con la *Orden TEC/921/2018, de 30 de agosto, por la que se definen las líneas que indican los límites cartográficos principales de los ámbitos territoriales de las Confederaciones Hidrográficas de acuerdo a lo establecido en el Real Decreto 650/1987, de 8 de mayo, por el que se definen los ámbitos territoriales de los organismos de cuenca y de los planes hidrológicos*, la superficie de la Demarcación es de aproximadamente 42.756 Km². Esta superficie está distribuida en el marco de cinco comunidades autónomas: Comunidad Valenciana (49,4%), incluyendo toda la provincia de Valencia y parte de las provincias de Castellón y Alicante; Castilla-La Mancha (37,68%), con la presencia parcial de las provincias de Cuenca y Albacete; Aragón (12,57%) con parte de la provincia de Teruel; Cataluña (0,2%) con tan sólo una pequeña parte del extremo meridional de la provincia de Tarragona y finalmente la Región de Murcia (0,15%) con una muy pequeña parte de la provincia de Murcia en el término municipal de Yecla.

El número total de masas de agua subterránea es de 90, las cuáles se muestran a continuación en la siguiente tabla con su código de identificación, nombre y superficie.

Código	Nombre	Superficie (Km ²)
080.101	Hoya de Alfambra	752,83
080.102	Javalambre Occidental	594,29
080.103	Javalambre Oriental	801,89
080.104	Mosqueruela	859,33
080.105	Puertos de Beceite	463,11
080.106	Plana de Cenia	281,47
080.107	Plana de Vinaroz	106,34
080.108	Maestrazgo Occidental	1.127,36
080.109	Maestrazgo Oriental	1.015,35
080.110	Plana de Oropesa - Torreblanca	89,17
080.111	Lucena - Alcora	1.118,61
080.112	Hoya de Teruel	666,52
080.113	Arquillo	152,23
080.114	Gea de Albarracín	157,96
080.115	Montes Universales	1.251,24

Código	Nombre	Superficie (Km ²)
080.116	Triásico de Boniches	188,54
080.117	Jurásico de Uña	613,6
080.118	Cretácico de Cuenca Norte	1.235,28
080.119	Terciario de Alarcón	1.236,78
080.120	Cretácico de Cuenca Sur	690,64
080.121	Jurásico de Cardenete	248,22
080.122	Vallanca	456,36
080.123	Alpuente	899,3
080.124	Sierra del Toro	297,15
080.125	Jérica	336,63
080.126	Onda - Espadán	523,48
080.127	Plana de Castellón	496,24
080.128	Plana de Sagunto	130,16
080.129	Mancha Oriental	7.118,14
080.130	Medio Palancia	668,48
080.131	Liria - Casinos	861,14
080.132	Las Serranías	925,76
080.133	Requena - Utiel	987,91
080.134	Mira	501,56
080.135	Hoces del Cabriel	699,91
080.136	Lezuza - El Jardín	852,13
080.137	Arco de Alcaraz	398,6
080.138	Alpera (Carcelén)	441,41
080.139	Cabrillas - Malacara	286,34
080.140	Buñol - Cheste	542,77
080.141	Plana de Valencia Norte	391,47
080.142	Plana de Valencia Sur	566,19
080.143	La Contienda	64,84
080.144	Sierra del Ave	414,87
080.145	Caroch Norte	741,04
080.146	Almansa	239,26
080.147	Caroch Sur	1.008,07
080.148	Hoya de Játiva	81,24
080.149	Sierra de las Agujas	251,42
080.150	Bárig	70,43
080.151	Plana de Jaraco	59,77
080.152	Plana de Gandía	56,73
080.153	Marchuquera - Falconera	108,57
080.154	Sierra de Ador	46,46
080.155	Valle de Albaida	454,57
080.156	Sierra Grossa	205,79
080.157	Sierra de la Oliva	235,47
080.158	Cuchillo - Moratilla	39,34
080.159	Rocín	19,86
080.160	Villena - Benejama	330,2
080.161	Volcadores - Albaida	150,56
080.162	Almirante Mustalla	205,54
080.163	Oliva - Pego	54,78
080.164	Ondara - Denia	83,11
080.165	Montgó	24,86
080.166	Peñón - Bernia	100,4
080.167	Alfaro - Segaria	175,25
080.168	Mediodía	51,68

Código	Nombre	Superficie (Km ²)
080.169	Muro de Alcoy	23,25
080.170	Salt San Cristóbal	155,15
080.171	Sierra Mariola	95,67
080.172	Sierra Lácerca	28,98
080.173	Sierra del Castellar	86,09
080.174	Peñarubia	35,44
080.175	Hoya de Castalla	121,23
080.176	Barrancones - Carrasqueta	263,79
080.177	Sierra Aitana	215,82
080.178	Serrella - Aixorta - Algar	151,02
080.179	Depresión de Benisa	270,15
080.180	Jávea	10,27
080.181	Sierra de Salinas	137,9
080.182	Argüeña - Maigmó	126,82
080.183	Orcheta	197,11
080.184	San Juan - Benidorm	178,46
080.185	Agost - Monnegre	73,3
080.186	Sierra del Cid	129,33
080.187	Sierra del Reclot	73,24
080.188	Sierra de Argallet	49,19
080.189	Sierra de Crevillente	66,66
080.190	Bajo Vinalopó	727,46

Tabla 1. Masas de agua subterránea.

La ubicación y los límites de las masas de agua subterránea definidas, se muestran en la siguiente figura, en la que se puede identificar cada masa de agua por su código en el mapa. La correlación entre los códigos y los nombres de las masas de agua se puede consultar en la tabla anterior.

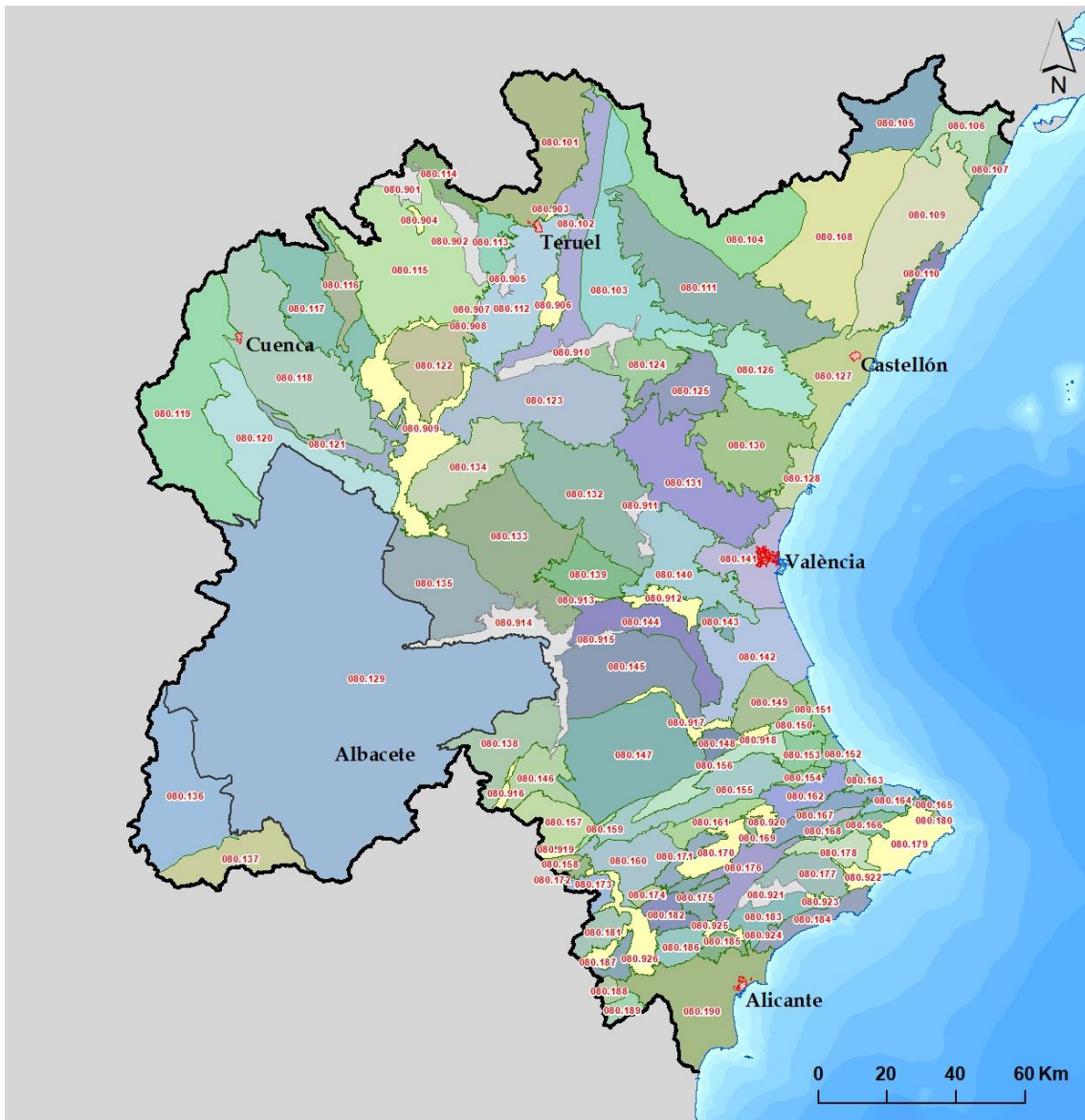


Figura 1. Delimitación de las masas de agua subterránea.

El objetivo de este informe, es analizar la evolución del nivel piezométrico en las masas de agua subterránea de la Demarcación. Para ello se realiza un análisis de la evolución temporal del nivel piezométrico y del año hidrológico 2018/19, en base a los datos de medidas de nivel tomadas en los puntos que forman parte de la red representativa de piezometría.

2 Red de piezometría representativa. Metodología.

La Confederación Hidrográfica del Júcar (CHJ) estableció una red de control de piezometría en el año 2.000, que actualmente se denomina red operativa, y está compuesta por aproximadamente 250 puntos de control. En estos puntos la CHJ realiza mediciones de nivel piezométrico de forma mensual o bimestral.

Partiendo de esta red operativa, se ha definido una red operativa representativa de piezometría, con el objetivo de seleccionar una red de piezómetros representativos del comportamiento de las masas de agua subterránea.

Para ello se tomó como punto de partida el trabajo realizado en el proyecto final de carrera de Miñana (2015). Este trabajo realiza una optimización de la piezometría en base a diferentes criterios:

1. Modelo de simulación PATRICAL (Pérez, M.A., 2005).
2. Características constructivas y litológicas del punto de control.
3. Serie histórica del punto de control.

El modelo PATRICAL es un modelo de simulación del ciclo hidrológico, que incluye tanto la componente superficial como la subterránea. Este modelo, con paso de tiempo de simulación mensual, puede funcionar tanto en régimen natural como alterado. La componente subterránea se estudia mediante modelos unicelulares. Cada masa de agua subterránea se ha subdividido en sectores con el fin de identificar diferentes comportamientos del nivel piezométrico en una misma masa de agua subterránea y mejorar su representación. El modelo PATRICAL proporciona resultados de diferentes variables como por ejemplo, transferencias laterales, relación río-acuífero y nivel piezométrico. Se ha realizado un análisis estadístico relativo a la representatividad del nivel piezométrico simulado en el modelo respecto al nivel piezométrico medido. Para ello, se empleó el parámetro estadístico E, el cual indica en qué medida el modelo representa al piezómetro. Consiste en una evolución del Coeficiente de Nash para la calibración y evaluación de datos observacionales en modelos hidrológicos.

En el análisis de las características constructivas y litológicas de los sondeos, se valoró en mayor o menor medida la información disponible de cada piezómetro (datos de la perforación, entubación, cementación, cota de toma de medida exacta, e información de la litología), asignando un determinado peso a cada uno de los datos. En concreto, se le dio más peso al piezómetro si se disponía de información de la cota de medida exacta, y de la litología en ese punto. A continuación se muestra un ejemplo de la información técnica consultada en un punto de la red (columna litológica y ficha constructiva).

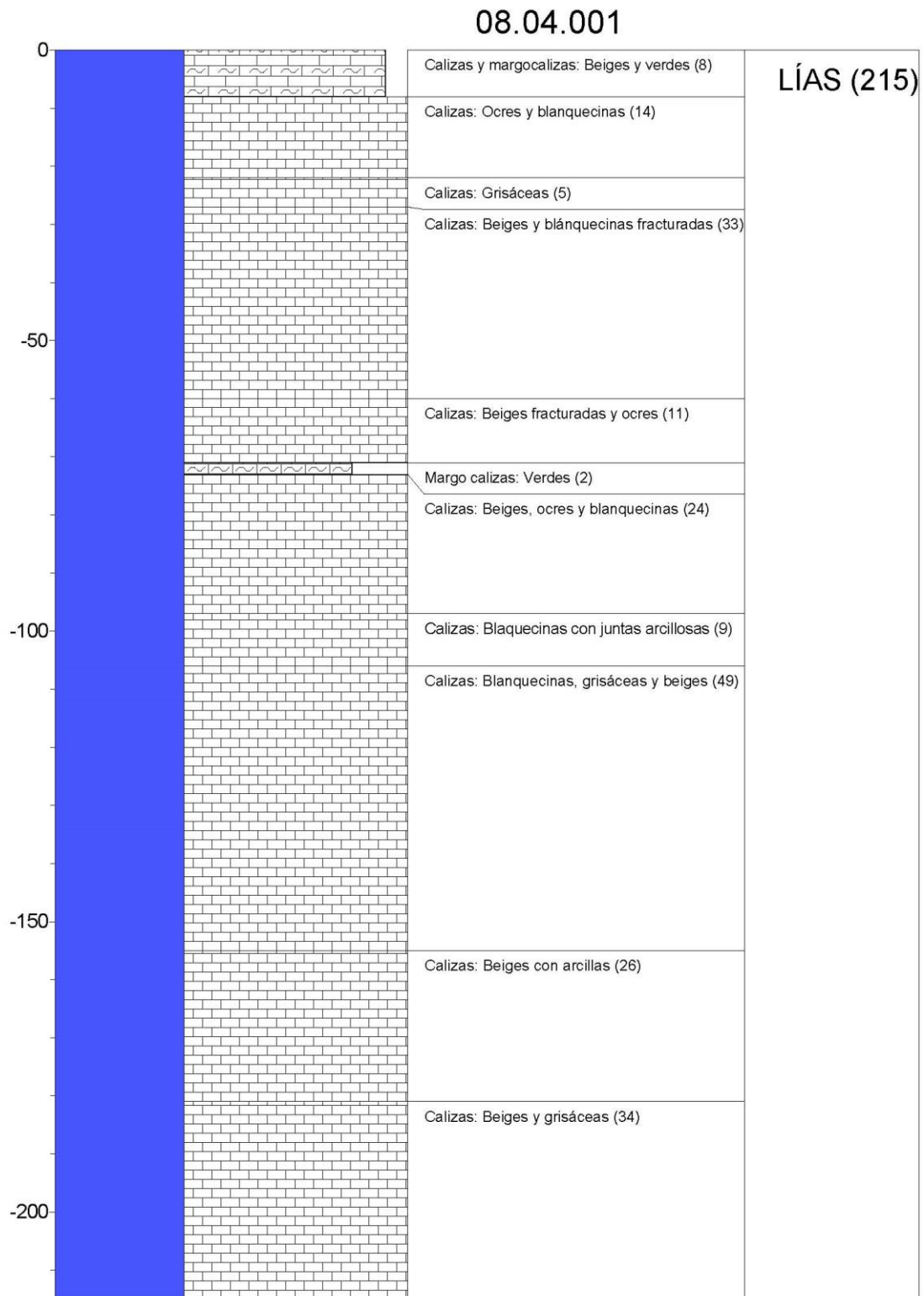


Figura 2. Ejemplo de información técnica del sondeo consultada: columna litológica.

En función de estas tres variantes, Miñana (2015) realizó una valoración de cada uno de los piezómetros considerados representativos, para determinar su nivel de representatividad.

Posteriormente, en el año 2017, se realizó una revisión de esta red representativa seleccionada inicialmente, ya que, se disponía de datos del modelo PATRICAL más actualizados, los cuales figuran en el Plan Hidrológico de cuenca (Real Decreto 1/2016, de 8 de enero). Además se partió de todos los puntos que formaban la red operativa en ese año (que a su vez incorporan los representativos anteriormente seleccionados), y se realizó una comparación de detalle de su serie de medidas con el modelo.

En esta revisión de la red, se tuvieron en cuenta los mismos criterios, con la salvedad de que se valoró la incorporación de piezómetros con una serie de medidas superior a 10 años (en vez de los 17 años que se fijaron en el estudio anterior), que habían sido descartados en el análisis previo, con el fin de tener una red ampliamente distribuida en toda la Demarcación.

Seguidamente, se comparó el gráfico de piezometría medida en campo con el nivel piezométrico medio simulado por el modelo PATRICAL en el sector donde se ubica el piezómetro. Finalmente, se seleccionaron como representativos, los piezómetros operativos cuyo comportamiento puede ser representado por el modelo y cumplían los criterios mencionados anteriormente.

La red representativa así definida, está constituida por 94 piezómetros o sondeos. Con esta red se obtienen medidas piezométricas en 62 de las 90 masas de agua subterránea. En la siguiente figura se muestran los piezómetros de la red representativa, junto a las masas de agua en las que se ubican, así como todos los puntos operativos actuales en la red de la CHJ.

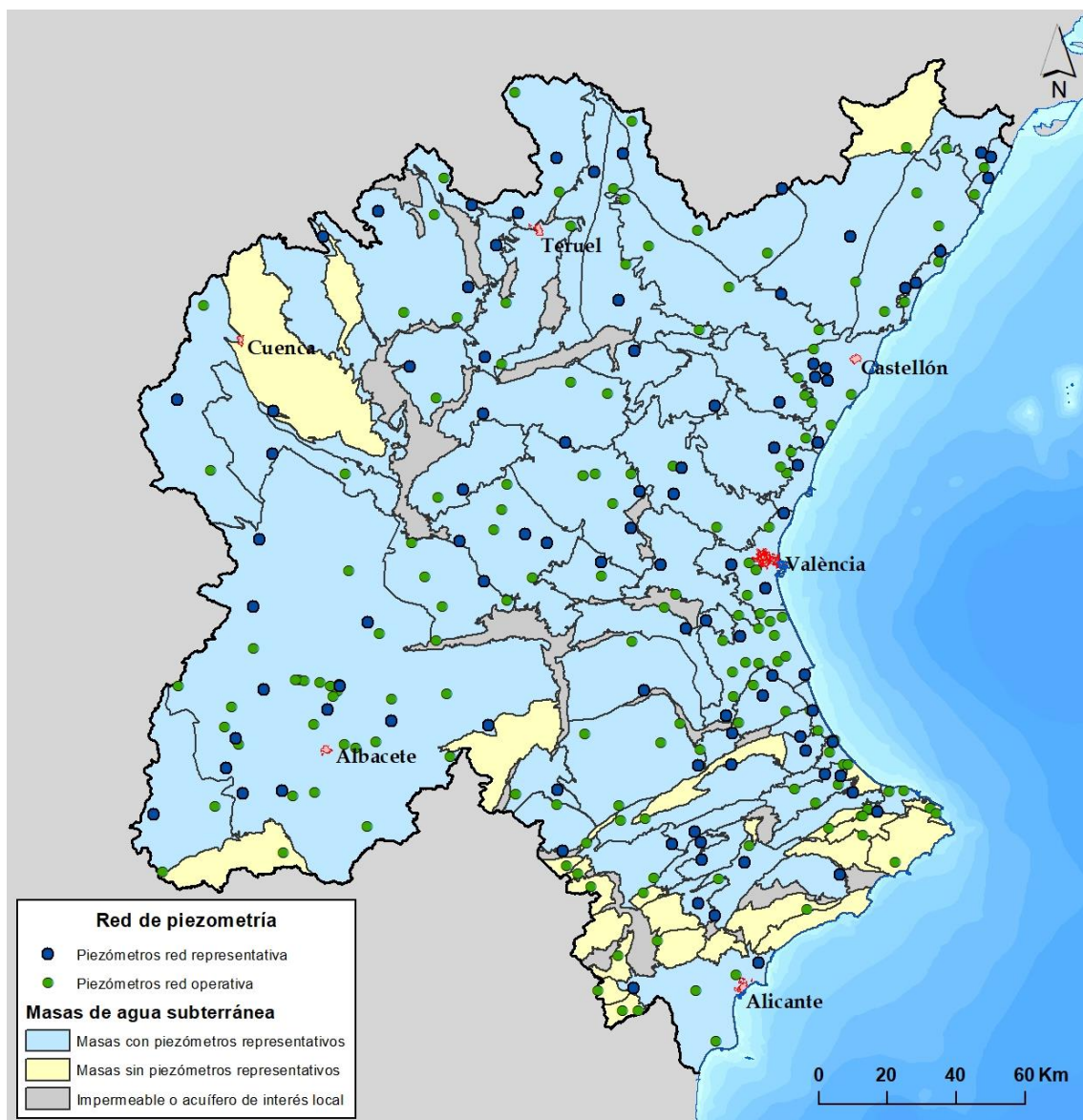


Figura 4. Red representativa de piezometría.

Como se puede observar en la figura anterior, la red está ampliamente distribuida por toda la Demarcación, teniendo un 88% de la superficie de las masas de agua subterránea (sin tener en cuenta las impermeables o acuíferos de interés local) puntos de la red representativa.

A continuación, se muestra el listado de las 62 masas de agua subterránea, y el número de puntos representativos que hay en cada una, así como el índice de explotación (bombeo/recurso disponible) de la misma que figura en el Plan Hidrológico.

Código masa	Nombre masa	Nº Piezómetros representativos	Estado cuantitativo	Índice de explotación (k)
080.101	Hoya de Alfambra	2	Bueno	0,1
080.102	Javalambre Occidental	1	Bueno	0
080.103	Javalambre Oriental	2	Bueno	0
080.104	Mosqueruela	1	Bueno	0

Código masa	Nombre masa	Nº Piezómetros representativos	Estado cuantitativo	Índice de explotación (k)
080.106	Plana de Cenia	1	Bueno	0,6
080.107	Plana de Vinaroz	2	Malo	1
080.108	Maestrazgo Occidental	1	Bueno	0
080.109	Maestrazgo Oriental	1	Bueno	0,2
080.110	Plana de Oropesa - Torreblanca	2	Malo	1
080.111	Lucena - Alcora	1	Bueno	0,1
080.112	Hoya de Teruel	1	Bueno	0
080.113	Arquillo	1	Bueno	0,1
080.114	Gea de Albarracín	1	Bueno	0
080.115	Montes Universales	2	Bueno	0
080.117	Jurásico de Uña	1	Bueno	0,2
080.119	Terciario de Alarcón	1	Bueno	0
080.120	Cretácico de Cuenca Sur	1	Bueno	0
080.121	Jurásico de Cardenete	1	Bueno	0
080.122	Vallanca	1	Bueno	0
080.123	Alpuente	2	Bueno	0
080.124	Sierra del Toro	1	Bueno	0
080.125	Jérica	1	Bueno	0,2
080.126	Onda - Espadán	1	Bueno	0,2
080.127	Plana de Castellón	5	Malo	1
080.128	Plana de Sagunto	1	Malo	1,1
080.129	Mancha Oriental	12	Malo	1,1
080.130	Medio Palancia	1	Malo	1,2
080.131	Liria - Casinos	2	Bueno	0,8
080.132	Las Serranías	2	Bueno	0,1
080.133	Requena - Utiel	3	Malo	0,4
080.134	Mira	1	Bueno	0,1
080.135	Hoces del Cabriel	1	Bueno	0,1
080.136	Lezuza - El Jardín	1	Bueno	0,1
080.139	Cabrillas - Malacara	1	Bueno	0,1
080.140	Buñol - Chestre	1	Malo	0,7
080.141	Plana de Valencia Norte	3	Bueno	0,6
080.142	Plana de Valencia Sur	3	Bueno	0,2
080.143	La Contienda	1	Malo	1,9
080.144	Sierra del Ave	1	Bueno	0,8
080.145	Caroch Norte	1	Bueno	0,1
080.146	Almansa	1	Malo	1,4
080.147	Caroch Sur	1	Bueno	0,6
080.148	Hoya de Játiva	1	Bueno	0,3
080.149	Sierra de las Agujas	2	Malo	1,2
080.150	Bárig	1	Bueno	0,5
080.151	Plana de Jaraco	1	Bueno	0,3
080.152	Plana de Gandía	1	Malo	1
080.153	Marchuquera - Falconera	1	Bueno	0,8
080.154	Sierra de Ador	1	Bueno	0,1
080.155	Valle de Albaida	1	Bueno	0,9
080.157	Sierra de la Oliva	1	Malo	1,1
080.160	Villena - Benezama	1	Malo	1,8

Código masa	Nombre masa	Nº Piezómetros representativos	Estado cuantitativo	Índice de explotación (k)
080.161	Volcadores - Albaida	1	Bueno	0,5
080.162	Almirante Mustalla	1	Bueno	0,5
080.164	Ondara - Denia	1	Malo	1,3
080.167	Alfaro - Segaria	1	Bueno	0,5
080.170	Salt San Cristóbal	1	Bueno	0,9
080.171	Sierra Mariola	1	Malo	1
080.175	Hoya de Castalla	1	Bueno	0,4
080.176	Barrancones - Carrasqueta	2	Bueno	0,6
080.177	Sierra Aitana	1	Bueno	0,2
080.190	Bajo Vinalopó	2	Bueno	0,1

Tabla 2. Masas de agua subterránea con piezómetros representativos, número de puntos, estado cuantitativo e índice de explotación.

3 Evolución de los niveles piezométricos.

Este informe se realiza a partir de las mediciones del nivel piezométrico realizadas en los puntos de control pertenecientes a la red representativa de piezometría de la CHJ, representadas en metros sobre el nivel del mar (m s.n.m.). En la siguiente tabla se indica la frecuencia de medida de los piezómetros representativos: en 49 puntos es mensual y en 45 bimestral.

Código masa	Nombre masa	Piezómetro	Frecuencia de medida
080.101	Hoya de Alfambra	08.99.102	Bimestral
		08.99.106	Bimestral
080.102	Javalambre Occidental	08.05.041	Bimestral
080.103	Javalambre Oriental	08.05.002	Bimestral
		08.05.005	Bimestral
080.104	Mosqueruela	08.06.005	Bimestral
080.106	Plana de Cenia	08.09.003	Bimestral
080.107	Plana de Vinaroz	08.10.009	Bimestral
		08.10.008	Bimestral
080.108	Maestrazgo Occidental	08.07.124	Bimestral
080.109	Maestrazgo Oriental	08.07.004	Mensual
080.110	Plana de Oropesa - Torreblanca	08.11.004	Bimestral
		08.07.009	Mensual
080.111	Lucena - Alcora	08.06.003	Bimestral
080.112	Hoya de Teruel	08.15.006	Bimestral
080.113	Arquillo	08.03.001	Bimestral
080.114	Gea de Albarracín	08.03.002	Bimestral
080.115	Montes Universales	08.02.005	Bimestral
		08.02.002	Bimestral
080.117	Jurásico de Uña	08.02.065	Bimestral
080.119	Terciario de Alarcón	08.17.029	Bimestral
080.120	Cretácico de Cuenca Sur	08.17.171	Bimestral
080.121	Jurásico de Cardenete	08.17.020	Bimestral
080.122	Vallanca	08.04.001	Bimestral
080.123	Alpuente	08.15.002	Bimestral
		08.15.004	Bimestral
080.124	Sierra del Toro	08.14.006	Bimestral
080.125	Jérica	08.14.004	Bimestral
080.126	Onda - Espadán	08.13.007	Bimestral
080.127	Plana de Castellón	08.12.033	Mensual
		08.12.017	Bimestral
		08.12.015	Mensual

Código masa	Nombre masa	Piezómetro	Frecuencia de medida
		08.12.014	Mensual
		08.12.010	Mensual
080.128	Plana de Sagunto	08.21.005	Bimestral
080.129	Mancha Oriental	08.29.059	Mensual
		08.29.060	Mensual
		08.29.080	Mensual
		08.29.102	Bimestral
		08.29.307	Bimestral
		08.29.308	Bimestral
		08.30.003	Mensual
		08.29.049	Mensual
		08.29.035	Mensual
		08.29.053	Bimestral
		08.29.033	Bimestral
		08.17.028	Bimestral
080.130	Medio Palancia	08.20.014	Mensual
080.131	Liria - Casinos	08.22.008	Bimestral
		08.19.004	Bimestral
080.132	Las Serranías	08.22.002	Mensual
		08.18.010	Bimestral
080.133	Requena - Utiel	08.24.005	Bimestral
		08.24.007	Bimestral
		08.24.010	Bimestral
080.134	Mira	08.24.001	Bimestral
080.135	Hoces del Cabriel	08.24.008	Bimestral
080.136	Lezuza - El Jardín	08.30.151	Bimestral
080.139	Cabrillas - Malacara	08.18.003	Bimestral
080.140	Buñol - Cheste	08.23.017	Bimestral
080.141	Plana de Valencia Norte	08.25.094	Mensual
		08.25.010	Mensual
		08.25.009	Bimestral
080.142	Plana de Valencia Sur	08.26.019	Bimestral
		08.26.016	Bimestral
		08.26.018	Mensual
080.143	La Contienda	08.27.207	Bimestral
080.144	Sierra del Ave	08.27.096	Bimestral
080.145	Caroch Norte	08.27.204	Bimestral
080.146	Almansa	08.33.001	Bimestral
080.147	Caroch Sur	08.28.007	Bimestral
080.148	Hoya de Játiva	08.28.129	Bimestral

Código masa	Nombre masa	Piezómetro	Frecuencia de medida
080.149	Sierra de las Agujas	08.31.007	Mensual
		08.31.008	Mensual
080.150	Bárig	08.32.010	Mensual
080.151	Plana de Jaraco	08.38.018	Mensual
080.152	Plana de Gandía	08.38.019	Bimestral
080.153	Marchuquera - Falconera	08.32.003	Mensual
080.154	Sierra de Ador	08.37.007	Mensual
080.155	Valle de Albaida	08.32.009	Mensual
080.157	Sierra de la Oliva	08.34.003	Bimestral
080.160	Villena - Benejama	08.36.001	Mensual
080.161	Volcadores - Albaida	08.36.002	Mensual
080.162	Almirante Mustalla	08.37.009	Mensual
080.164	Ondara - Denia	08.38.002	Mensual
080.167	Alfaro - Segaria	08.37.014	Mensual
080.170	Salt San Cristóbal	08.40.001	Mensual
080.171	Sierra Mariola	08.40.029	Mensual
080.175	Hoya de Castalla	08.44.041	Mensual
080.176	Barrancones - Carrasqueta	08.44.005	Mensual
		08.44.007	Mensual
080.177	Sierra Aitana	08.45.001	Bimestral
080.190	Bajo Vinalopó	08.48.108	Bimestral
		08.99.009	Bimestral

Tabla 3. Frecuencias de medida de los piezómetros representativos.

En este apartado, se incluye un mapa por masa de agua subterránea, con la ubicación de los piezómetros representativos que hay en la misma.

Además, para cada masa se muestran dos gráficos: uno con el histórico de medidas de nivel de cada punto desde el inicio de su serie histórica, y otro gráfico correspondiente al año hidrológico 2018/19 (octubre 2018 – septiembre 2019), en el que se representan cuatro series:

- Máximo de la serie del piezómetro: máximo nivel registrado en toda la serie histórica para cada mes.
- Promedio de la serie del piezómetro: promedio de las medidas de cada mes, en base a toda la serie histórica.
- Mínimo de la serie del piezómetro: mínimo nivel registrado en toda la serie histórica para cada mes.
- Mediciones de nivel (mensuales o bimestrales), realizadas en el año hidrológico 2018/19.

De esta forma, se obtiene una visión histórica del comportamiento del piezómetro, y a su vez es posible el análisis de cada mes, con el promedio, mínimo y máximo de su serie. Hay que destacar que las series calculadas (mínimo, máximo y promedio) que se muestran en los gráficos, se corresponden sólo a aquellos meses en los que hay medida, por lo que en los puntos que se controlan de forma bimestral, habrá 6 medidas como máximo disponibles entre octubre de 2018 y septiembre de 2019.

Tras el análisis realizado, se ha caracterizado de forma cualitativa la evolución del nivel piezométrico del año hidrológico 2018/19, como: por encima o por debajo de la media, o sin variación significativa, respecto a su serie histórica. En el apartado 4 de este informe se incluye un resumen con los resultados por piezómetros para cada masa.

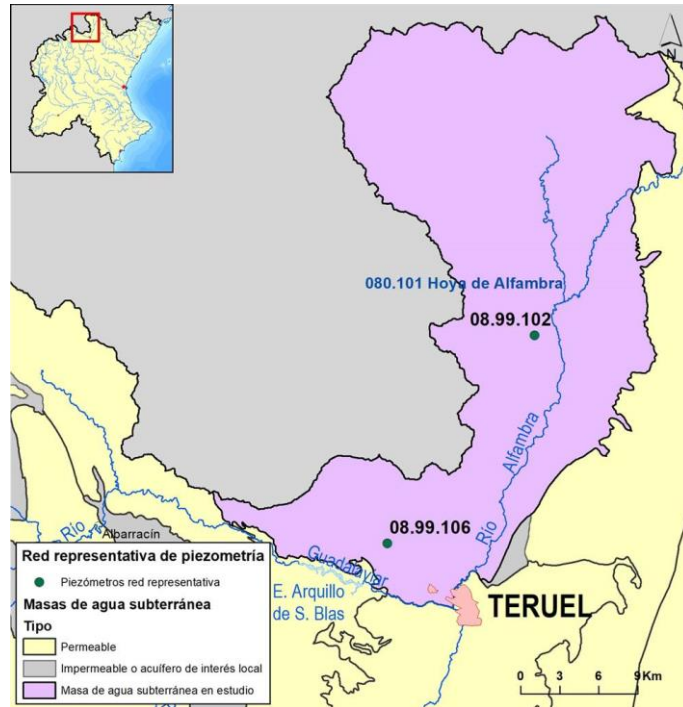


Figura 5. Red representativa en la masa de agua subterránea 080.101 Hoya de Alfambra.

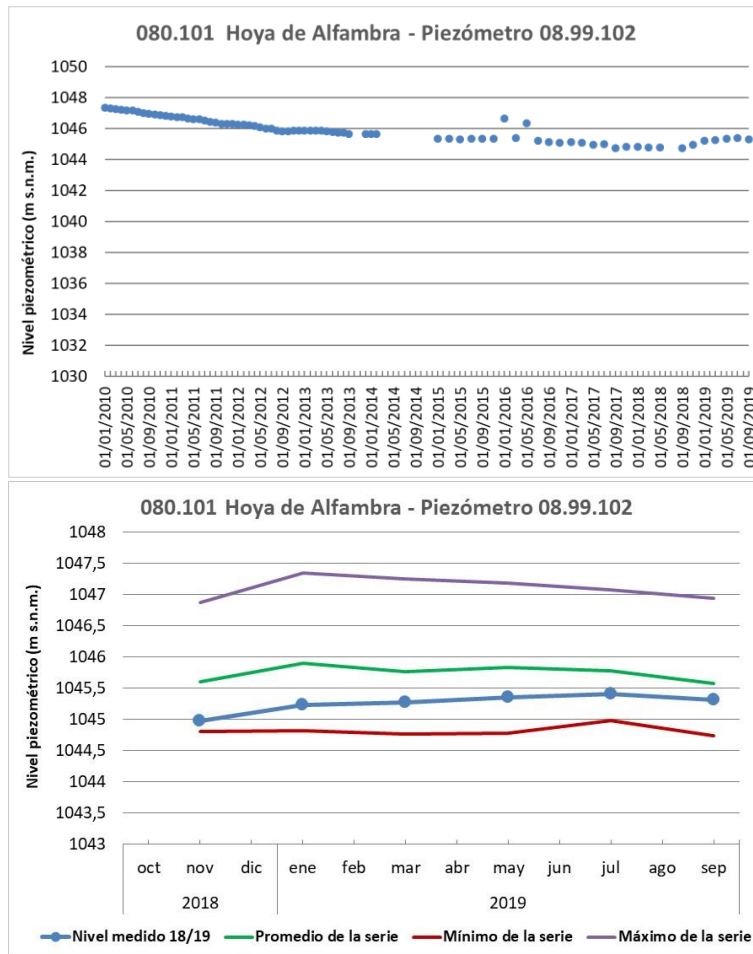


Figura 6. Piezometría en la masa de agua 080.101 Hoya de Alfambra: serie histórica y año hidrológico 2018/19. Piezómetro 08.99.102.

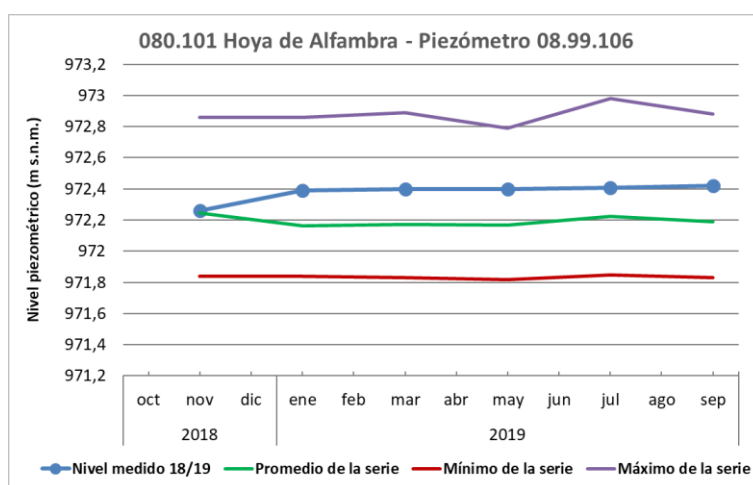
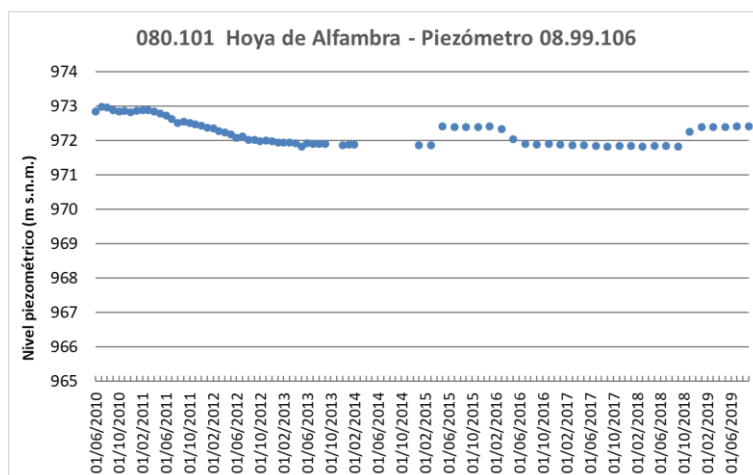


Figura 7. Piezometría en la masa de agua 080.101 Hoya de Alfambra: serie histórica y año hidrológico 2018/19. Piezómetro 08.99.106.

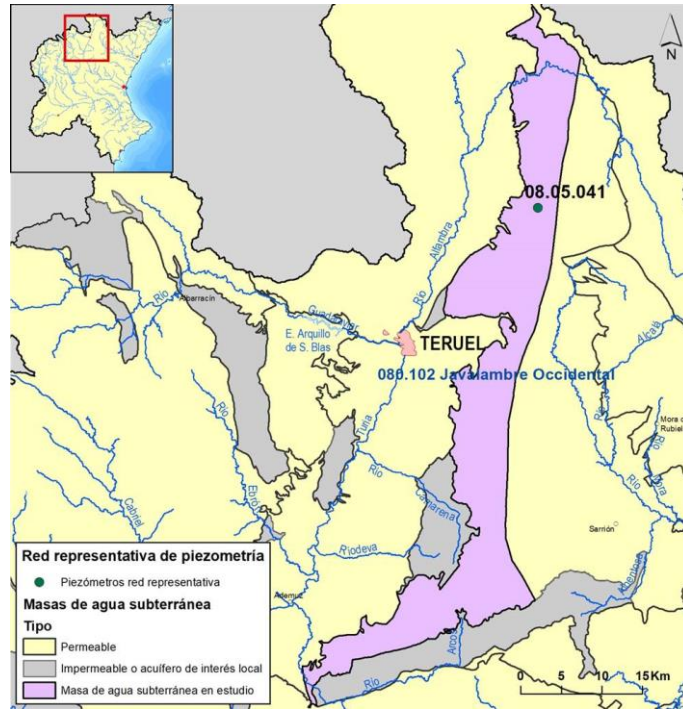


Figura 8. Red representativa en la masa de agua subterránea 080.102 Javalambre Occidental.

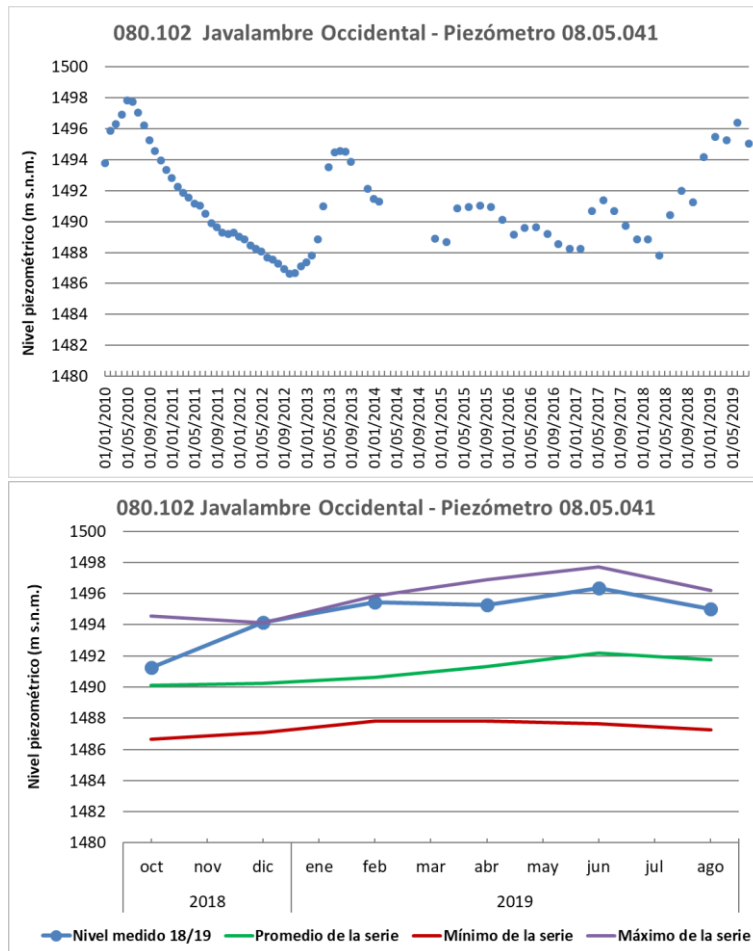


Figura 9. Piezometría en la masa de agua 080.102 Javalambre Occidental: serie histórica y año hidrológico 2018/19. Piezómetro 08.05.041.

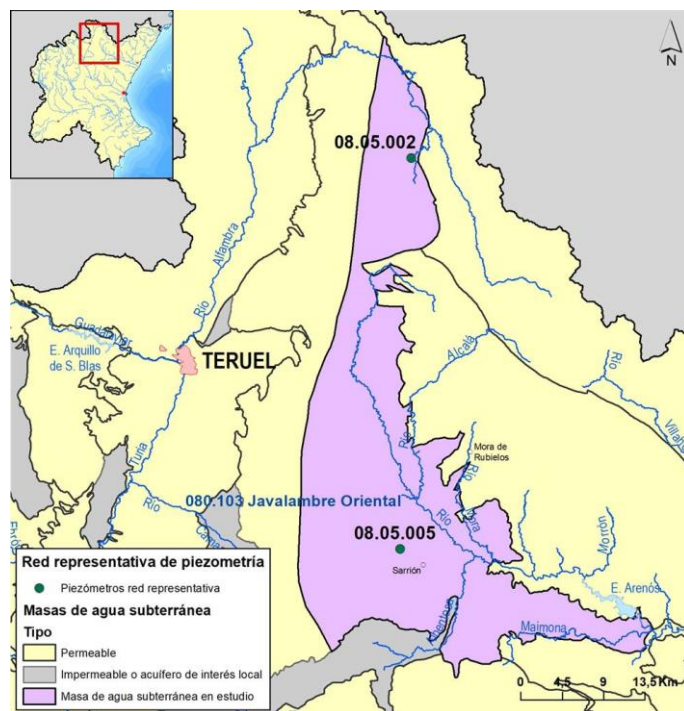


Figura 10. Red representativa en la masa de agua subterránea 080.103 Javalambre Oriental.

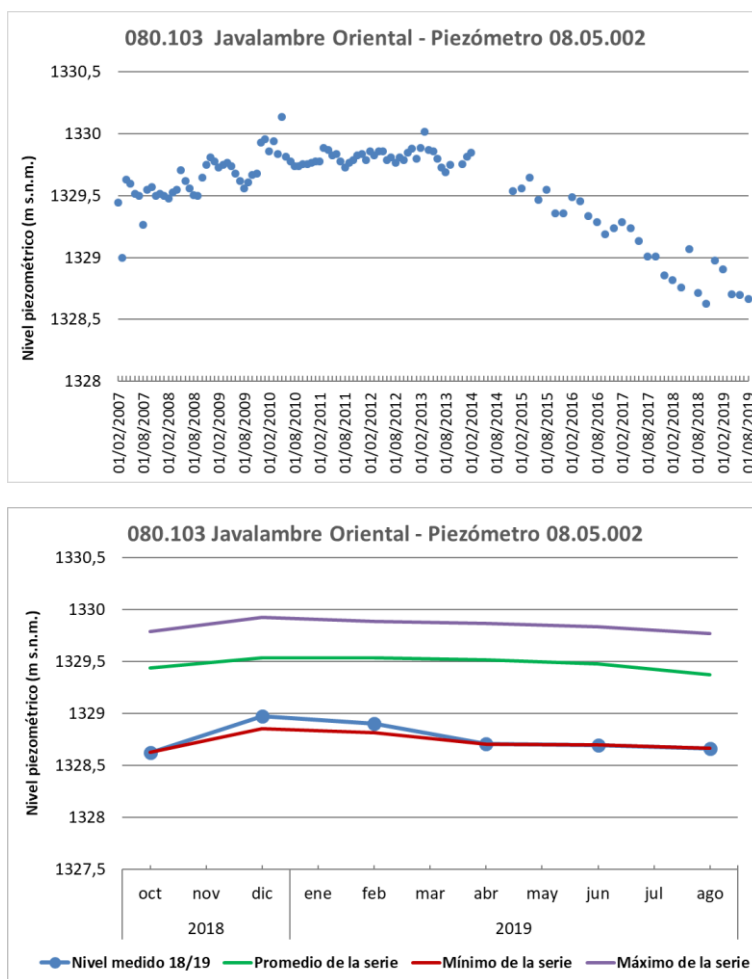


Figura 11. Piezometría en la masa de agua 080.103 Javalambre Oriental: serie histórica y año hidrológico 2018/19. Piezómetro 08.05.002.

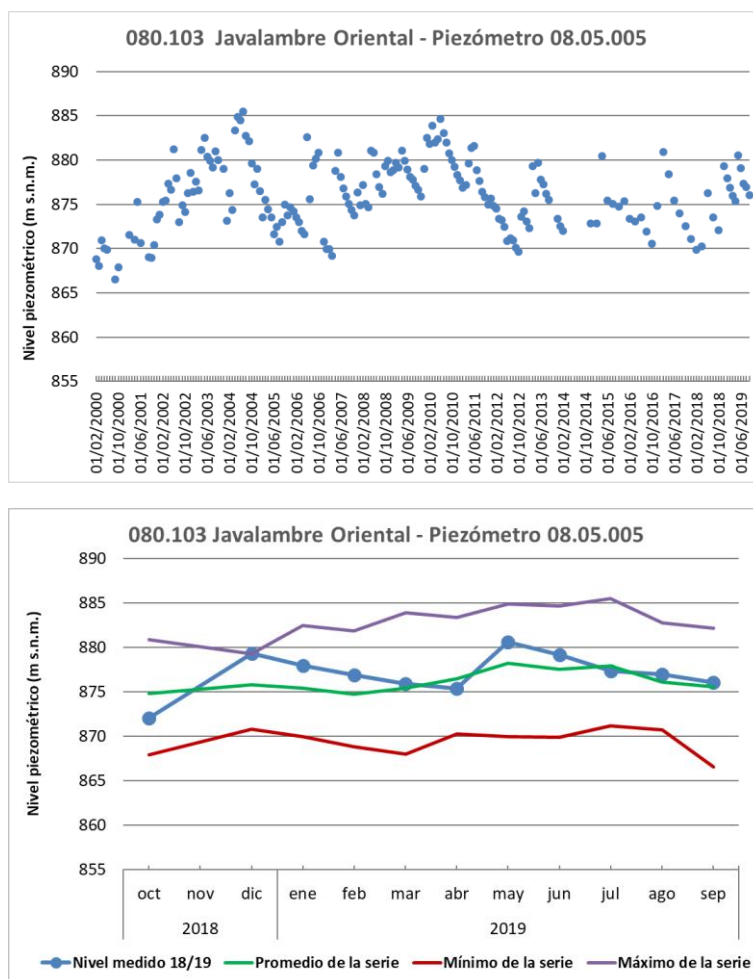


Figura 12. Piezometría en la masa de agua 080.103 Javalambre Oriental: serie histórica y año hidrológico 2018/19. Piezómetro 08.05.005.

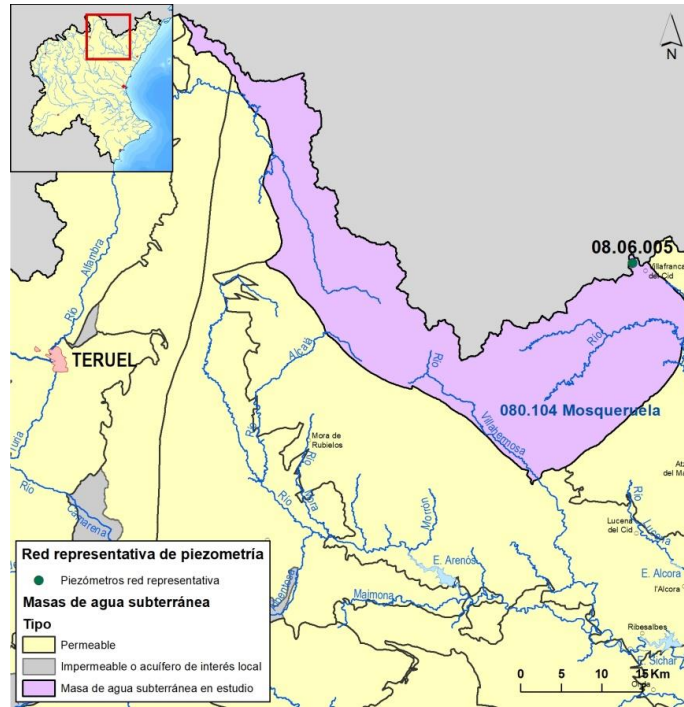


Figura 13. Red representativa en la masa de agua subterránea 080.104 Mosqueruela.

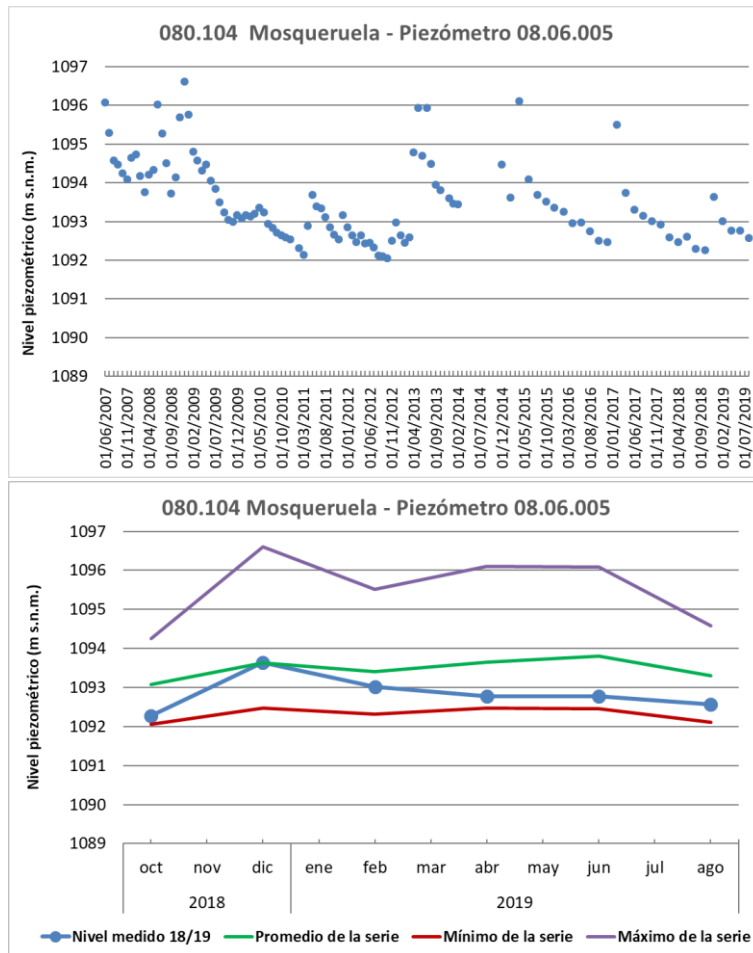


Figura 14. Piezometría en la masa de agua 080.104 Mosqueruela: serie histórica y año hidrológico 2018/19. Piezómetro 08.06.005.



Figura 15. Red representativa en la masa de agua subterránea 080.106 Plana de Cenia.

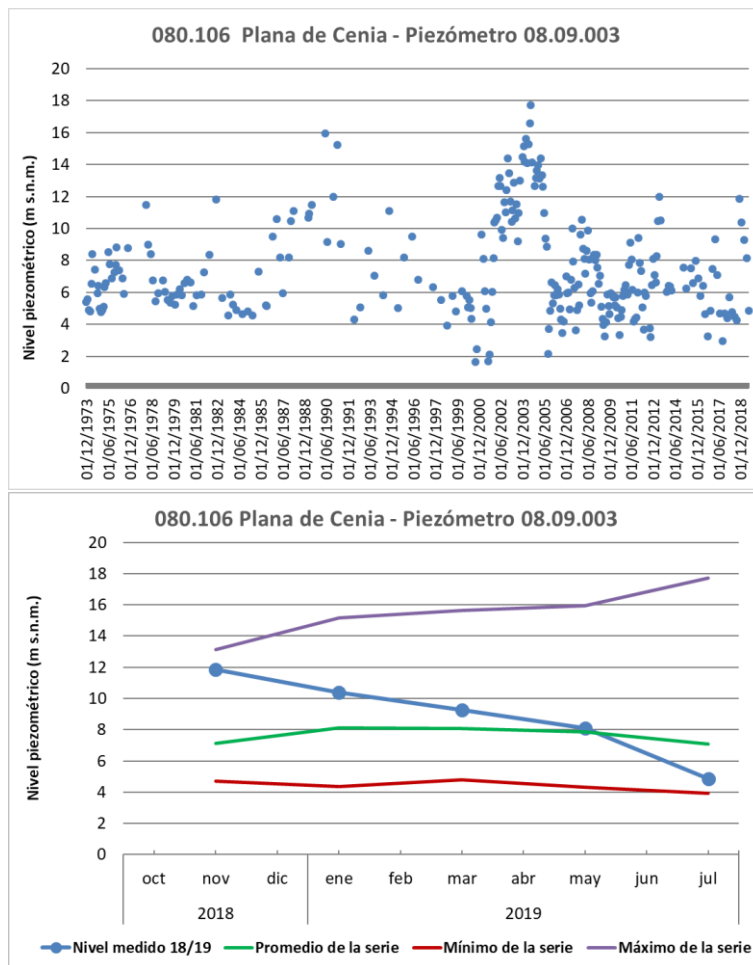


Figura 16. Piezometría en la masa de agua 080.106 Plana de Cenia: serie histórica y año hidrológico 2018/19. Piezómetro 08.09.003.



Figura 17. Red representativa en la masa de agua subterránea 080.107 Plana de Vinaroz.

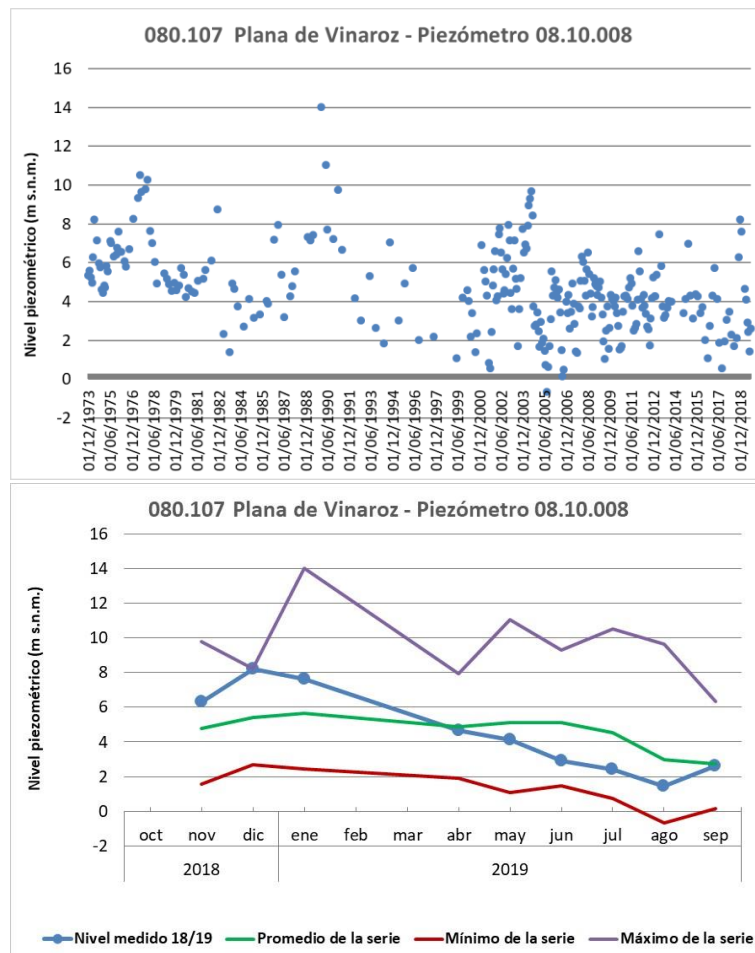


Figura 18. Piezometría en la masa de agua 080.107 Plana de Vinaroz: serie histórica y año hidrológico 2018/19. Piezómetro 08.10.008.

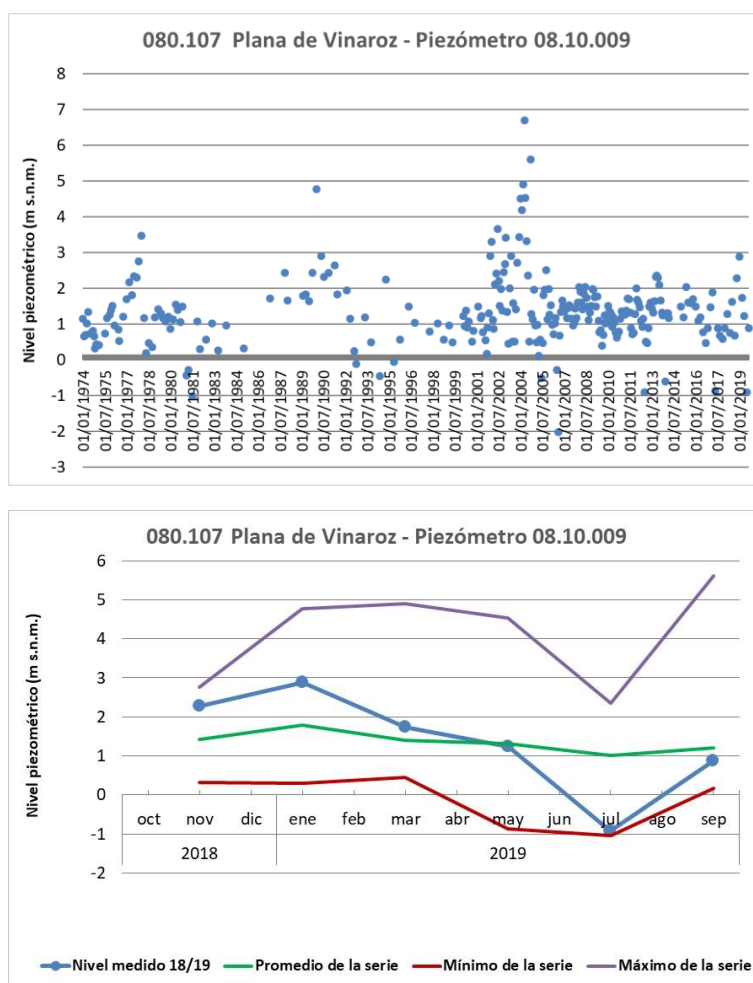


Figura 19. Piezometría en la masa de agua 080.107 Plana de Vinaroz: serie histórica y año hidrológico 2018/19. Piezómetro 08.10.009.

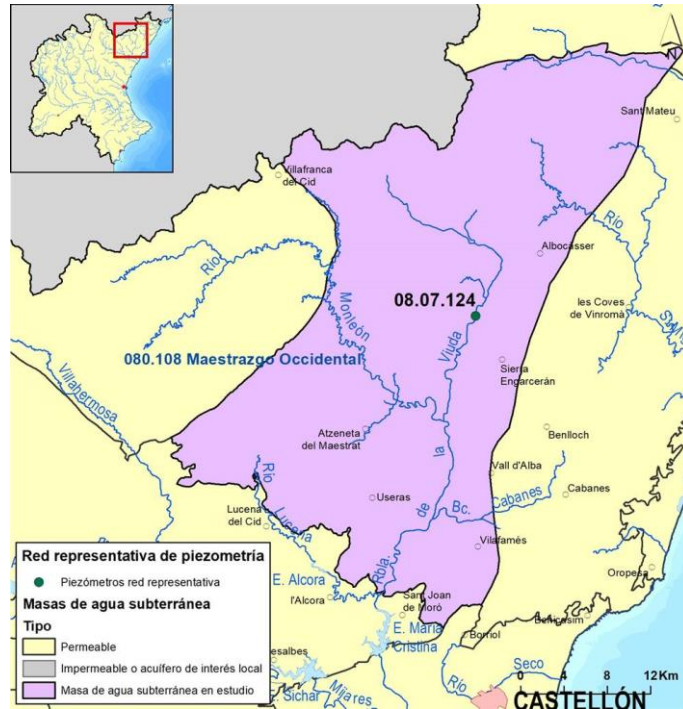


Figura 20. Red representativa en la masa de agua subterránea 080.108 Maestrazgo Occidental.

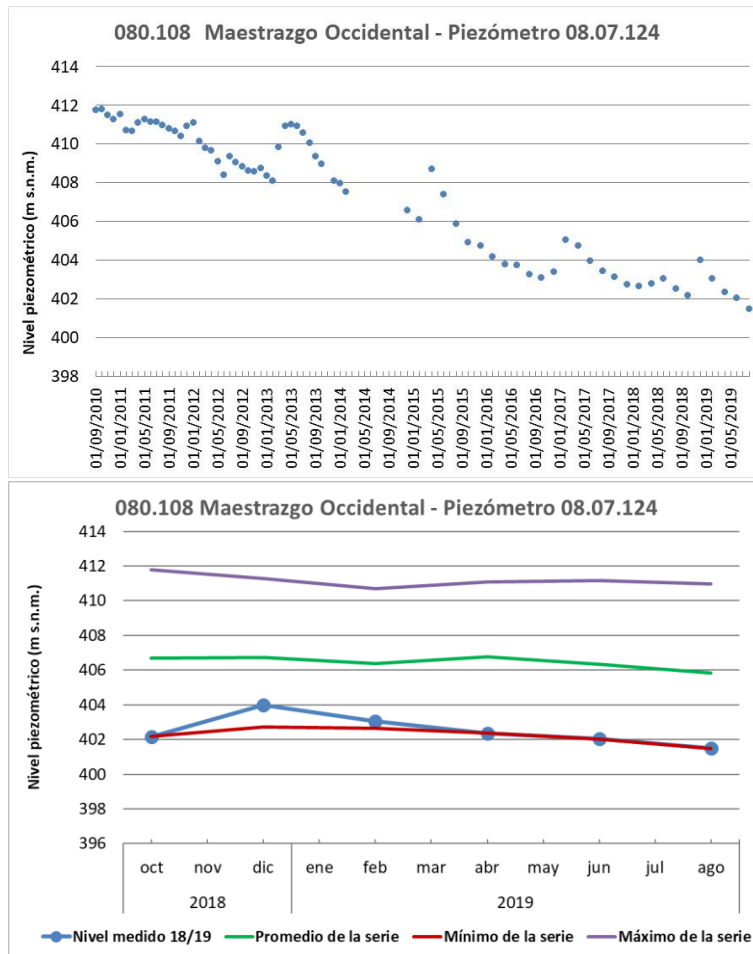


Figura 21. Piezometría en la masa de agua 080.108 Maestrazgo Occidental: serie histórica y año hidrológico 2018/19. Piezómetro 08.07.124.

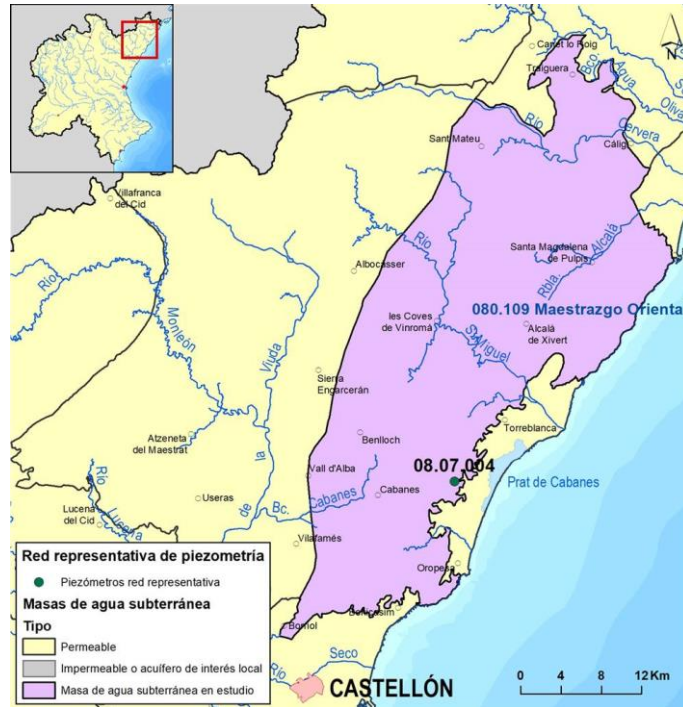


Figura 22. Red representativa en la masa de agua subterránea 080.109 Maestrazgo Oriental.

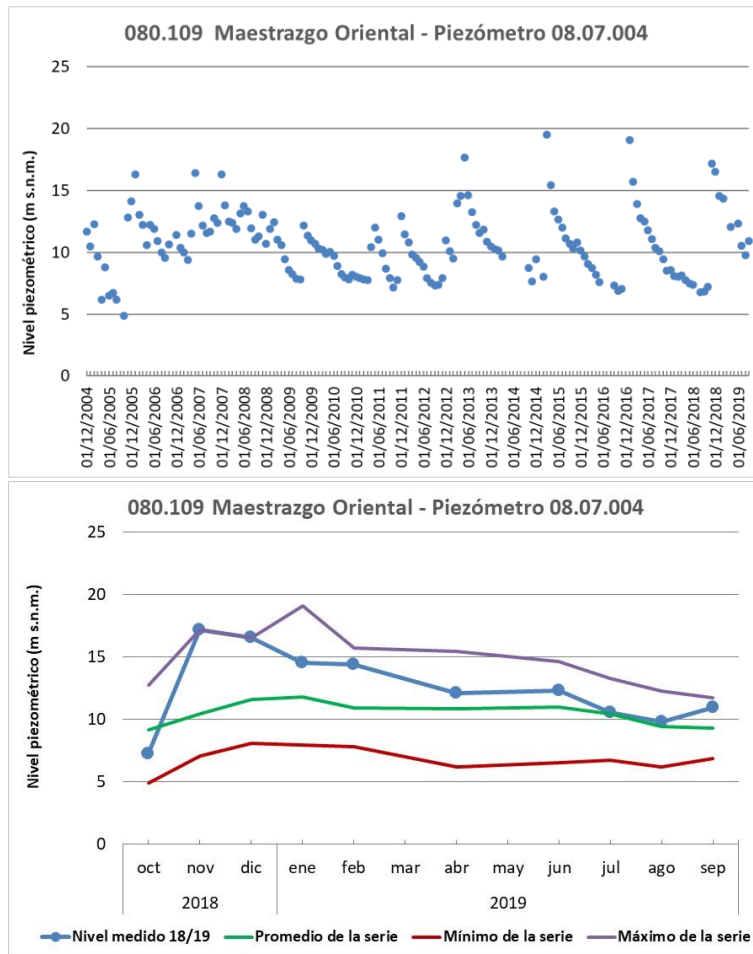


Figura 23. Piezometría en la masa de agua 080.109 Maestrazgo Oriental: serie histórica y año hidrológico 2018/19. Piezómetro 08.07.004.

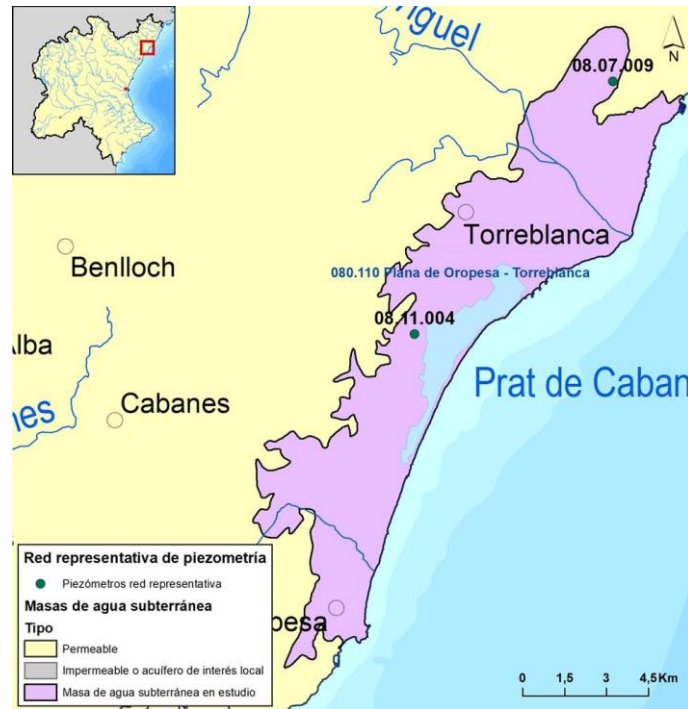


Figura 24. Red representativa en la masa de agua subterránea 080.110 Plana de Oropesa-Torrellana.

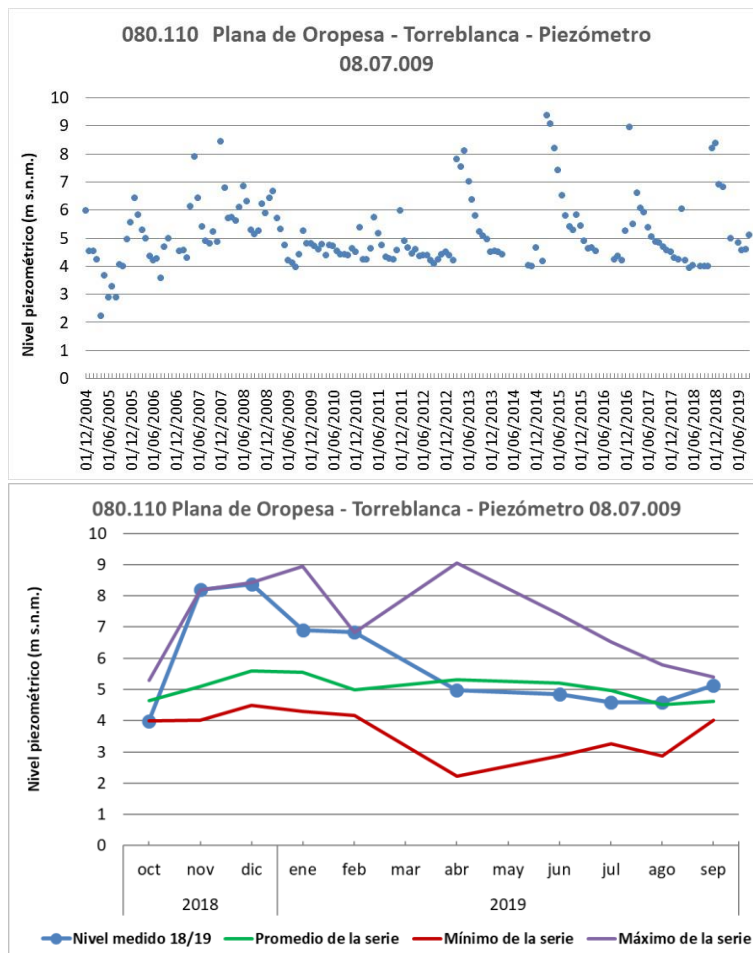


Figura 25. Piezometría en la masa de agua 080.110 Plana de Oropesa-Torrellana: serie histórica y año hidrológico 2018/19. Piezómetro 08.07.009.

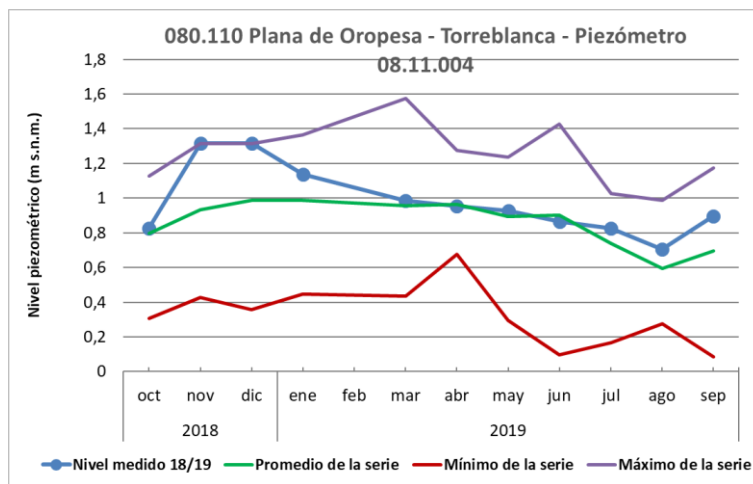
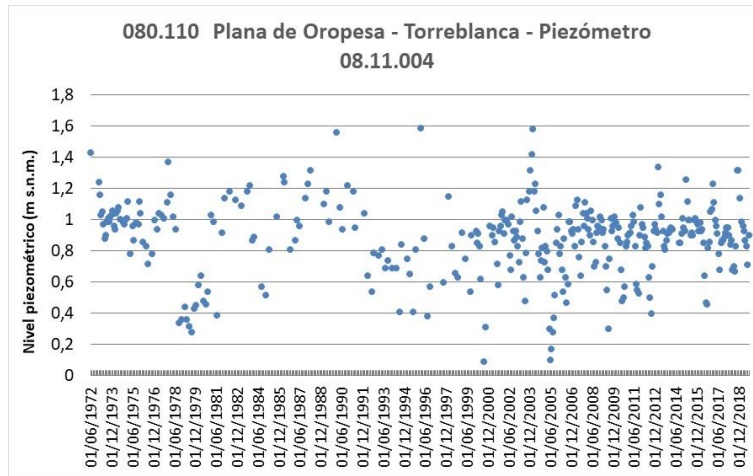


Figura 26. Piezometría en la masa de agua 080.110 Plana de Oropesa-Torreblanca: serie histórica y año hidrológico 2018/19. Piezómetro 08.11.004.

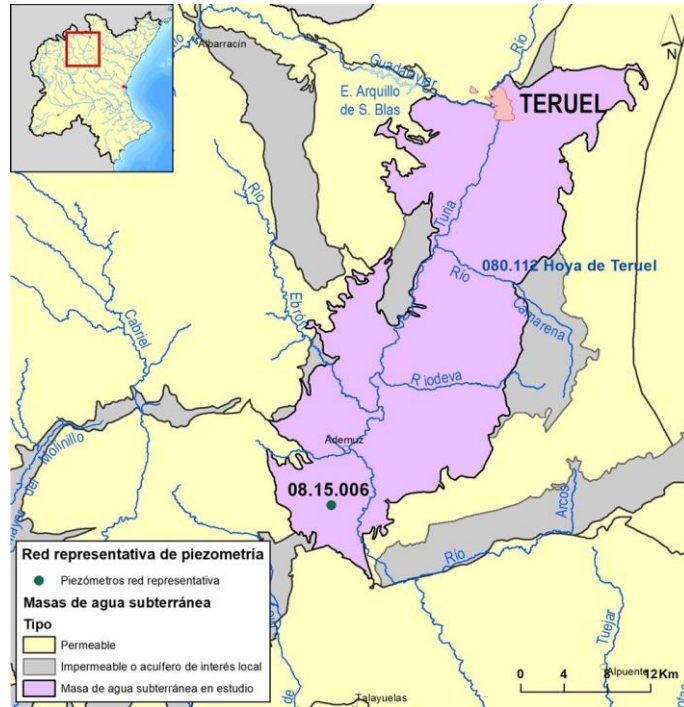


Figura 29. Red representativa en la masa de agua subterránea 080.112 Hoya de Teruel.

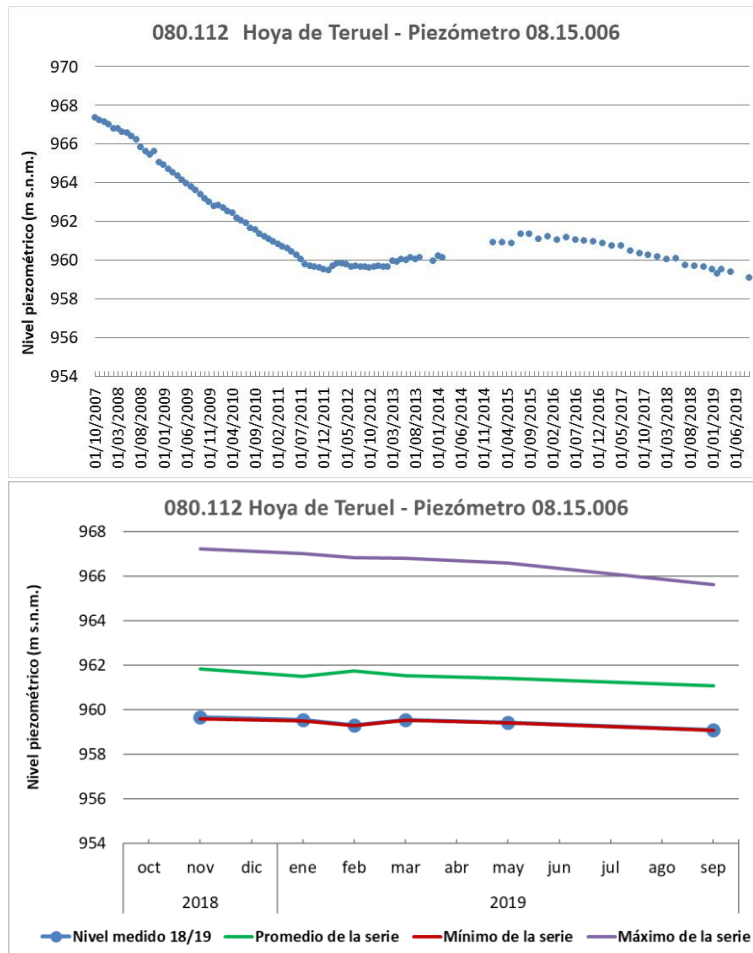


Figura 30. Piezometría en la masa de agua 080.112 Hoya de Teruel: serie histórica y año hidrológico 2018/19. Piezómetro 08.15.006.

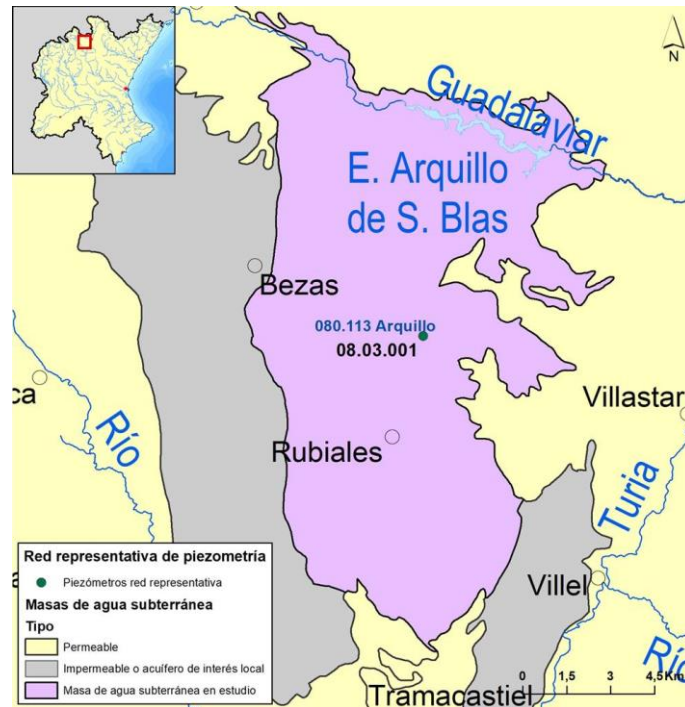


Figura 31. Red representativa en la masa de agua subterránea 080.113 Arquillo.

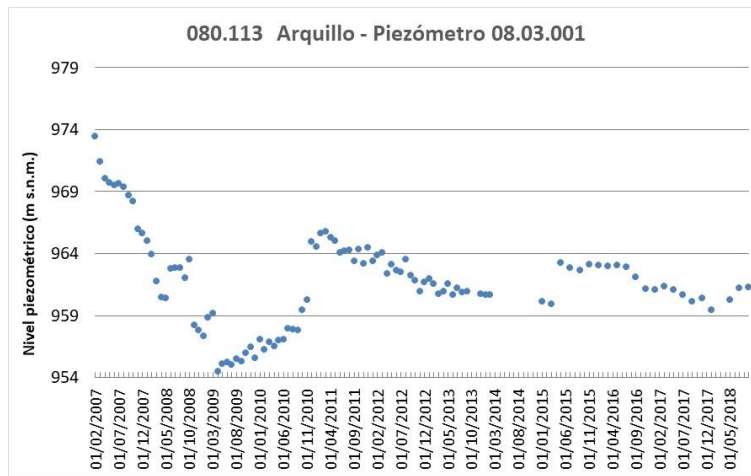


Figura 32. Piezometría en la masa de agua 080.113 Arquillo: serie histórica y año hidrológico 2018/19. Piezómetro 08.03.001.

No han podido realizarse medidas en este punto desde octubre de 2018, debido a una obstrucción en la tubería.

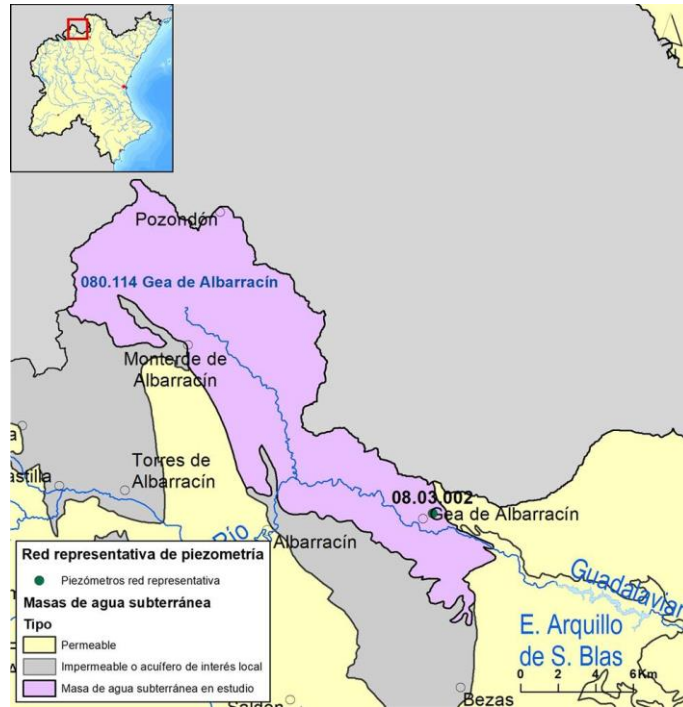


Figura 33. Red representativa en la masa de agua subterránea 080.114 Gea de Albarracín.

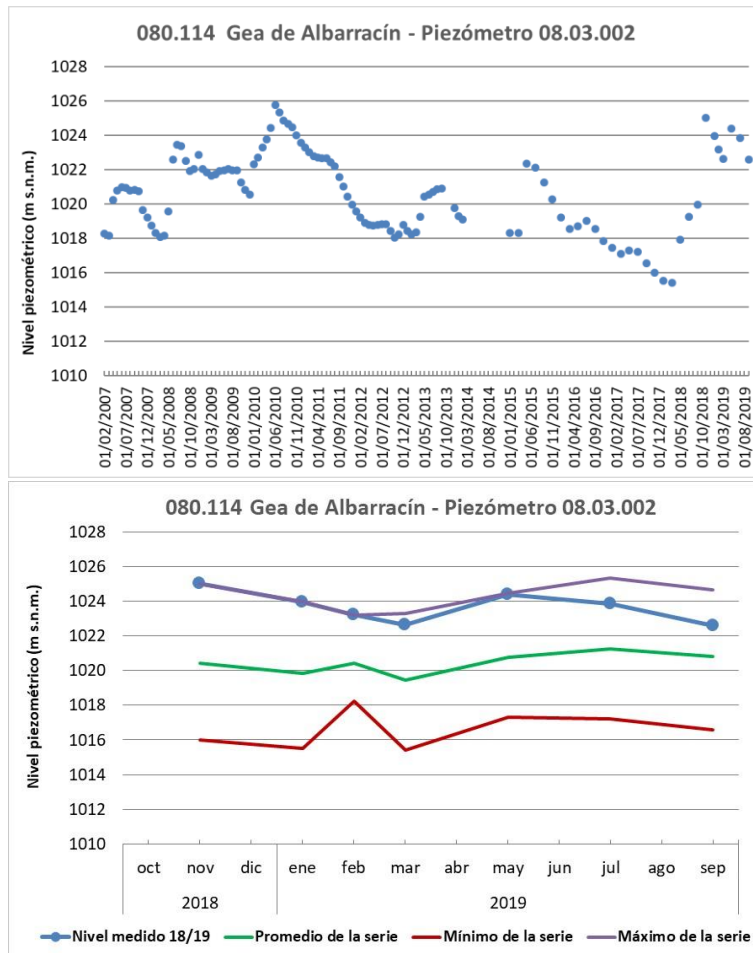


Figura 34. Piezometría en la masa de agua 080.114 Gea de Albarracín: serie histórica y año hidrológico 2018/19. Piezómetro 08.03.002.

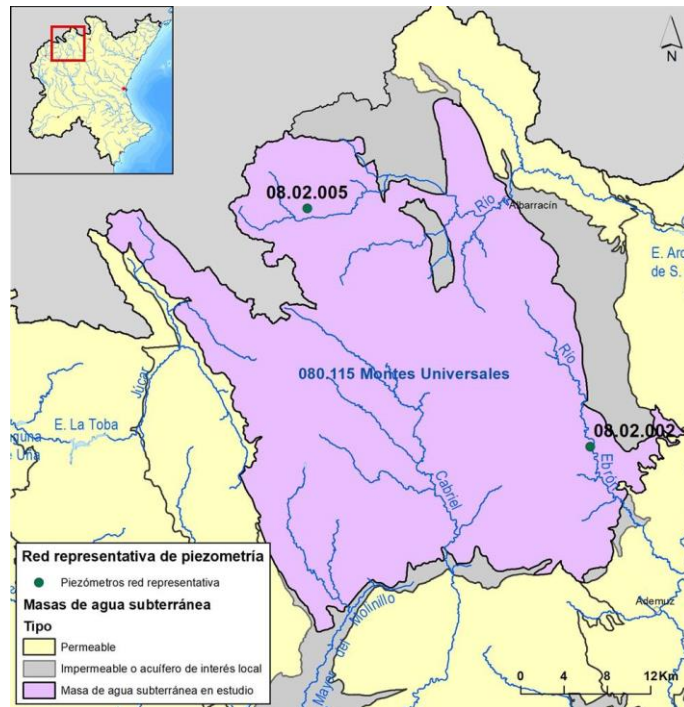


Figura 35. Red representativa en la masa de agua subterránea 080.115 Montes Universales.

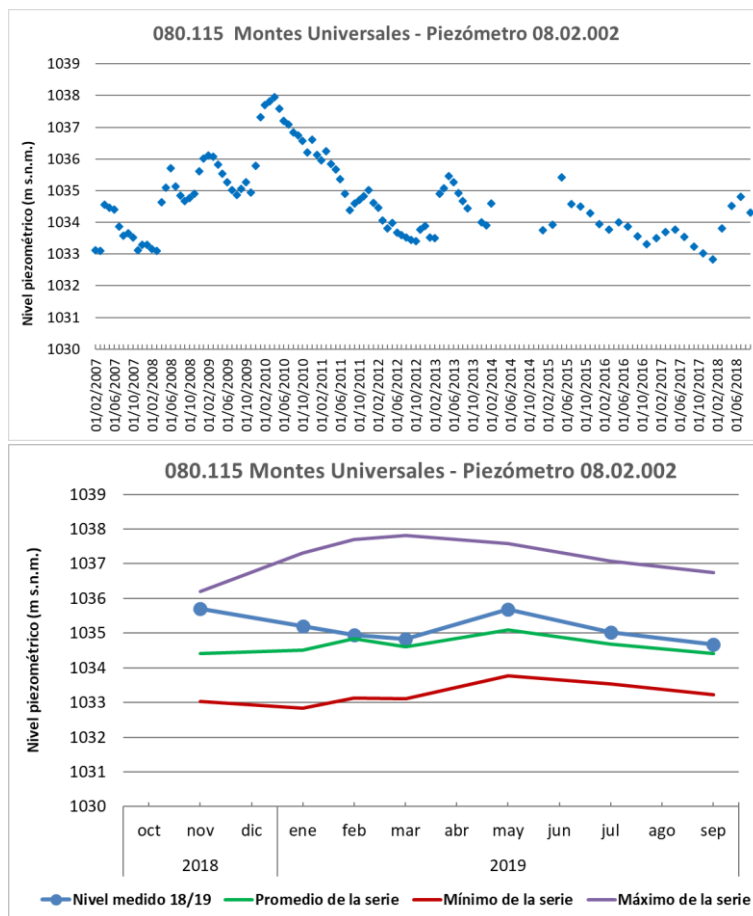


Figura 36. Piezometría en la masa de agua 080.115 Montes Universales: serie histórica y año hidrológico 2018/19. Piezómetro 08.02.002.

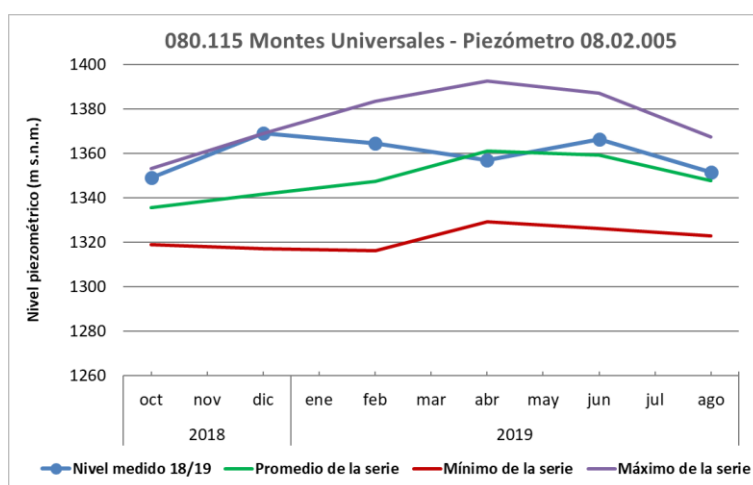
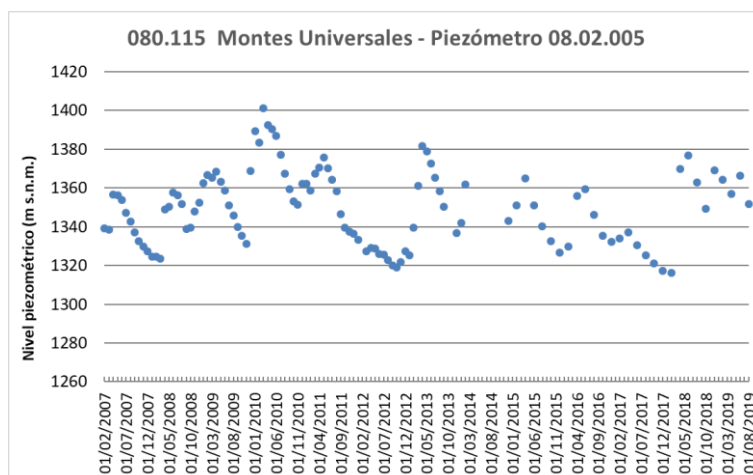


Figura 37. Piezometría en la masa de agua 080.115 Montes Universales: serie histórica y año hidrológico 2018/19. Piezómetro 08.02.005.

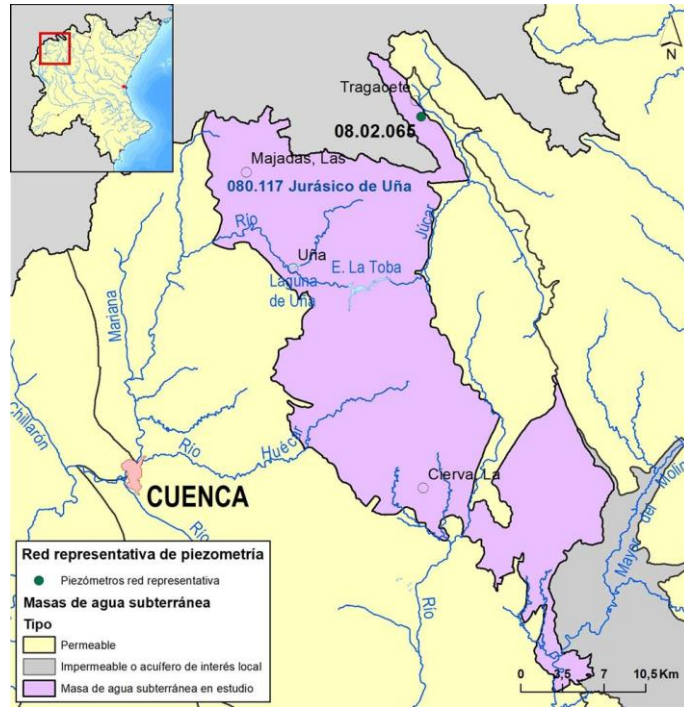


Figura 38. Red representativa en la masa de agua subterránea 080.117 Jurásico de Uña.

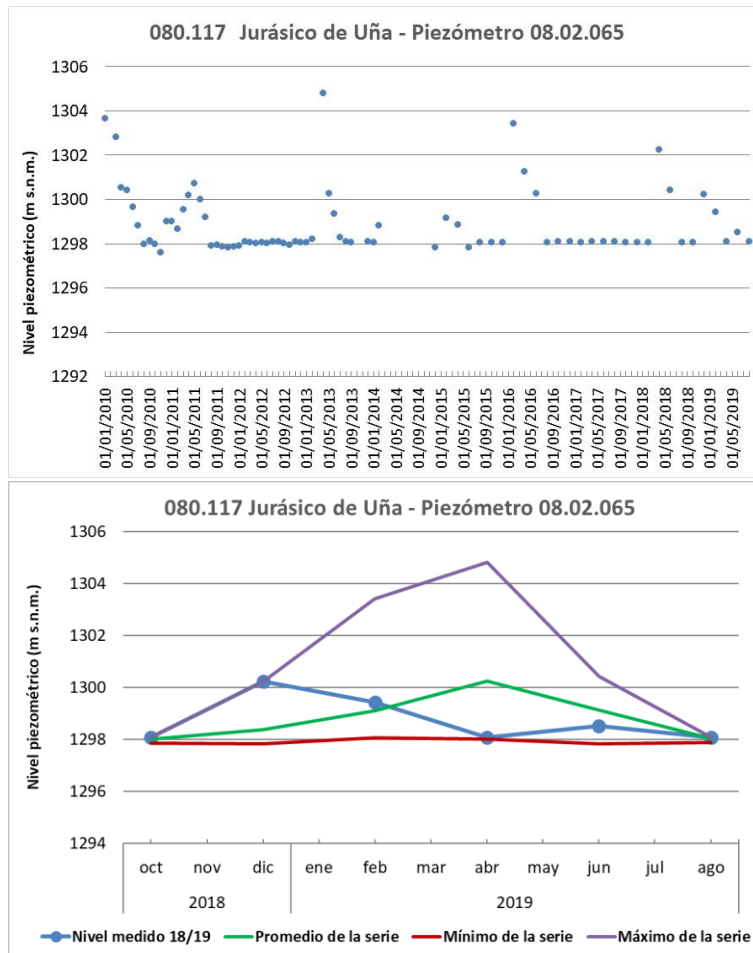


Figura 39. Piezometría en la masa de agua 080.117 Jurásico de Uña: serie histórica y año hidrológico 2018/19. Piezómetro 08.02.065.

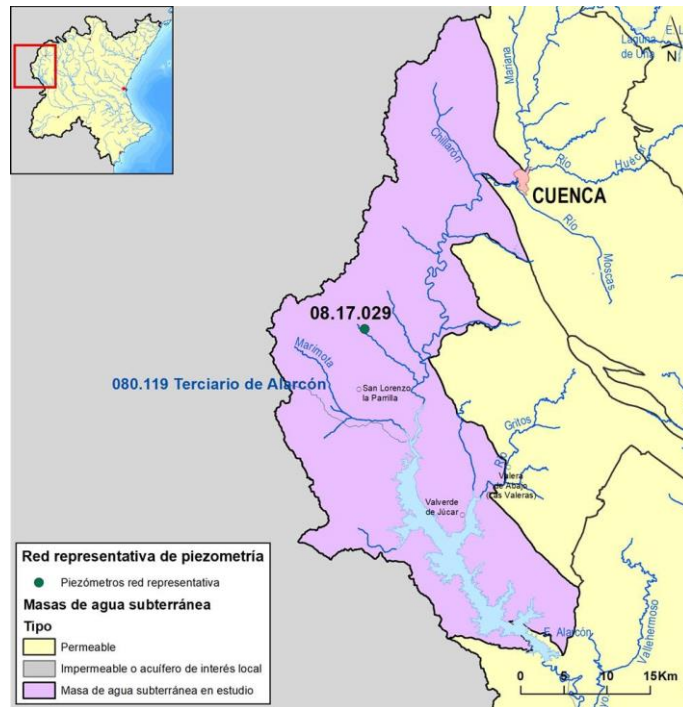


Figura 40. Red representativa en la masa de agua subterránea 080.119 Terciario de Alarcón.

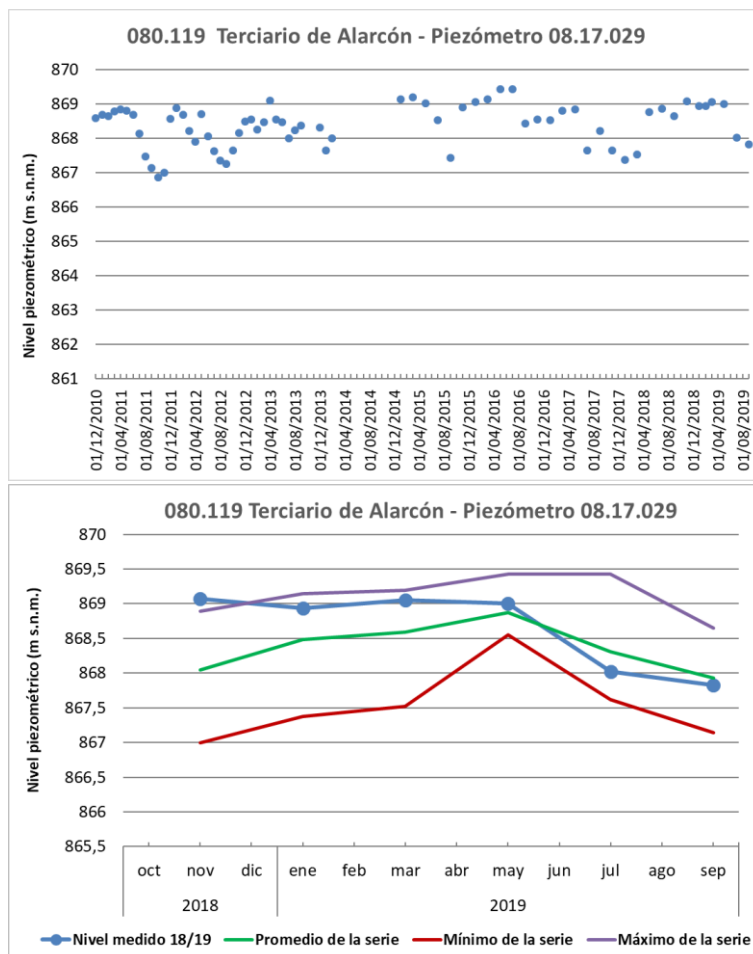


Figura 41. Piezometría en la masa de agua 080.119 Terciario de Alarcón: serie histórica y año hidrológico 2018/19. Piezómetro 08.17.029.

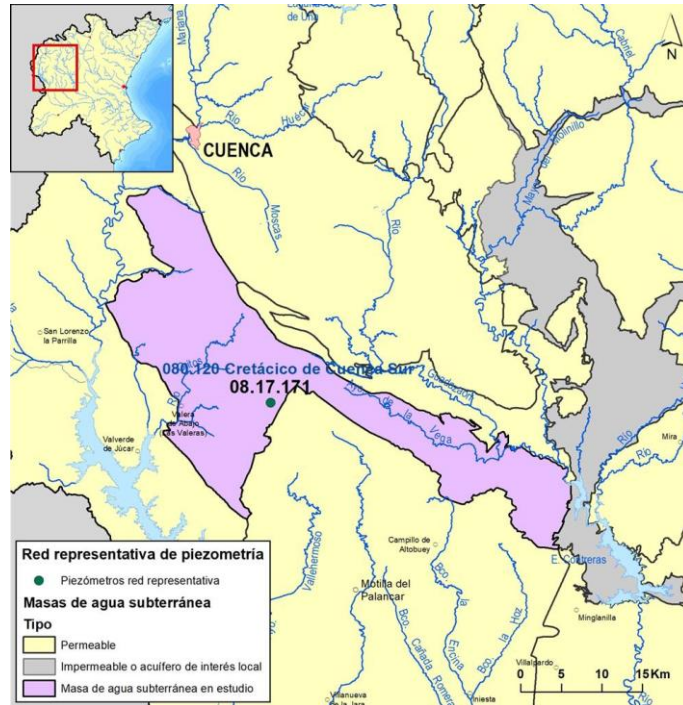


Figura 42. Red representativa en la masa de agua subterránea 080.120 Cretácico de cuenca Sur.

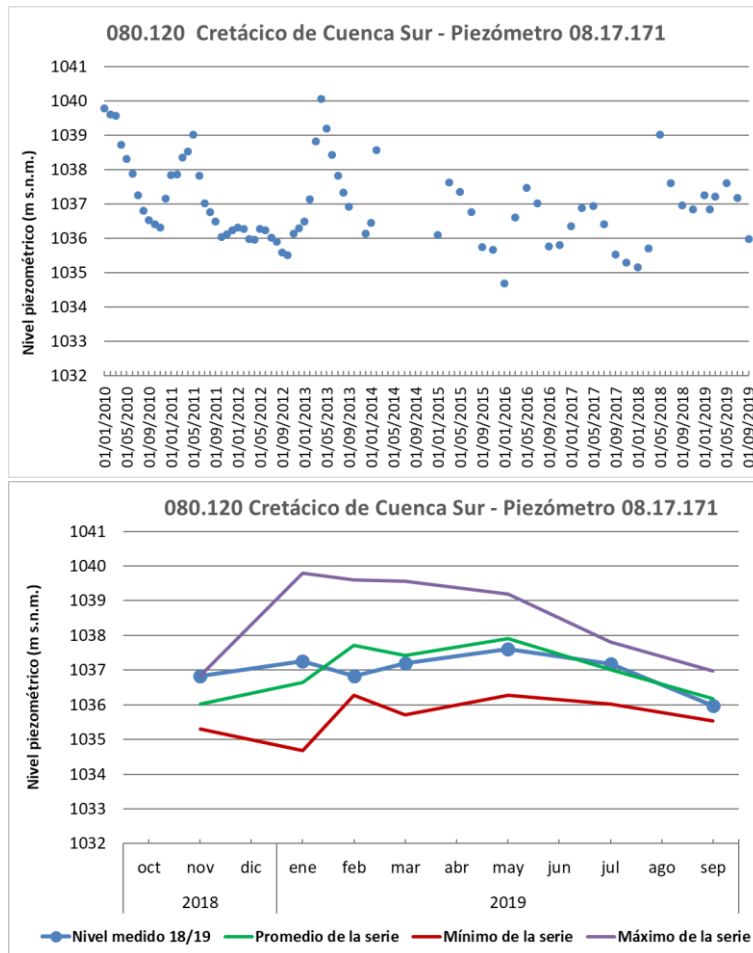


Figura 43. Piezometría en la masa de agua 080.120 Cretácico de cuenca Sur: serie histórica y año hidrológico 2018/19. Piezómetro 08.17.171.

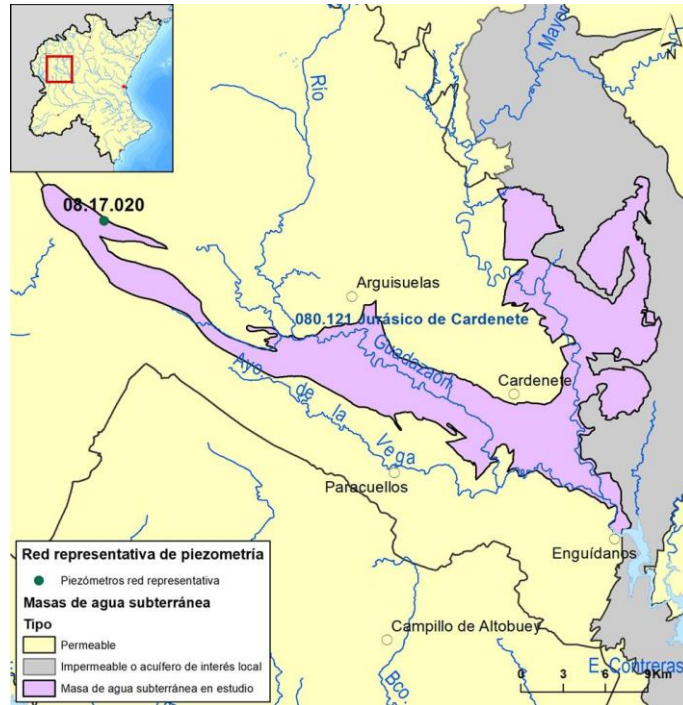


Figura 44. Red representativa en la masa de agua subterránea 080.121 Jurásico de Cardenete.

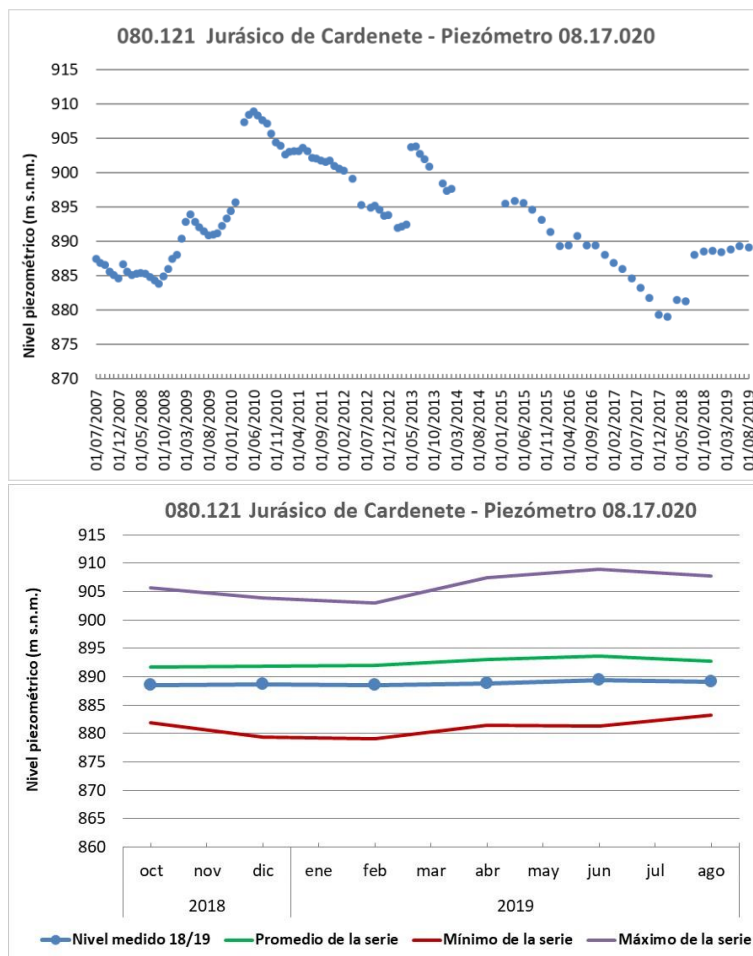


Figura 45. Piezometría en la masa de agua 080.121 Jurásico de Cardenete: serie histórica y año hidrológico 2018/19. Piezómetro 08.17.020.

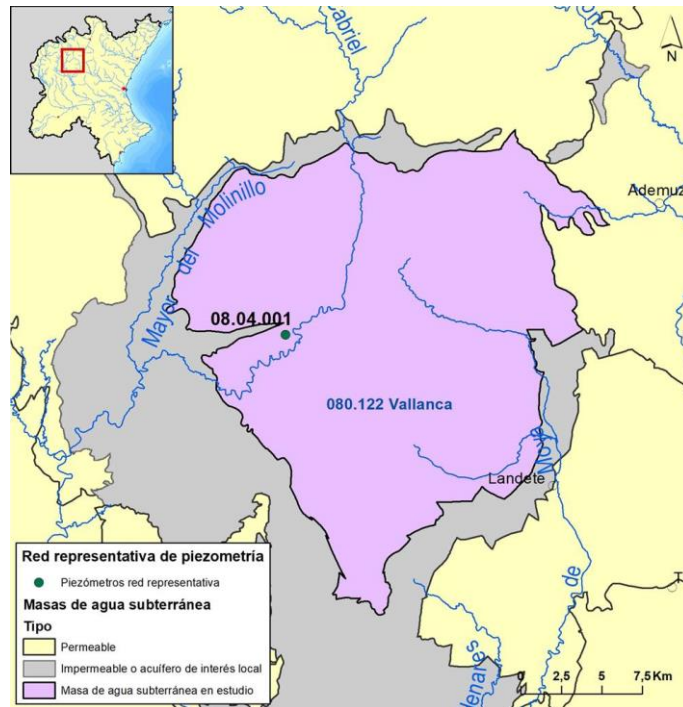


Figura 46. Red representativa en la masa de agua subterránea 080.122 Vallanca.

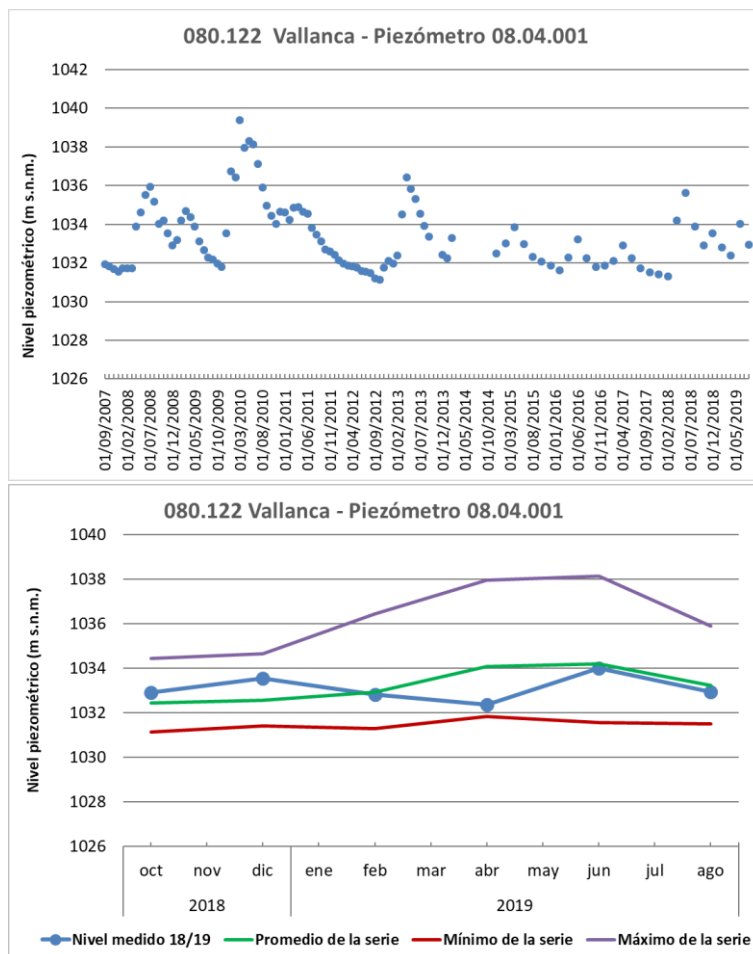


Figura 47. Piezometría en la masa de agua 080.122 Vallanca: serie histórica y año hidrológico 2018/19. Piezómetro 08.04.001.

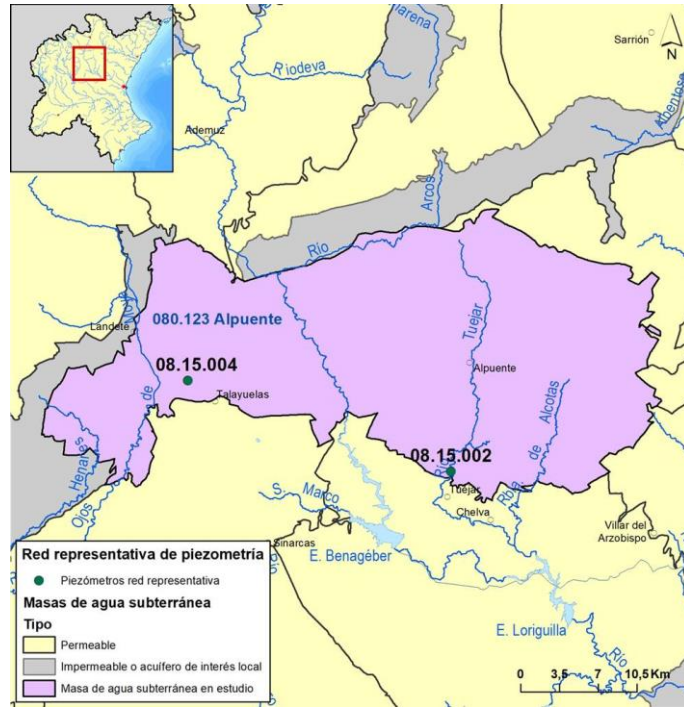


Figura 48. Red representativa en la masa de agua subterránea 080.123 Alpuente.

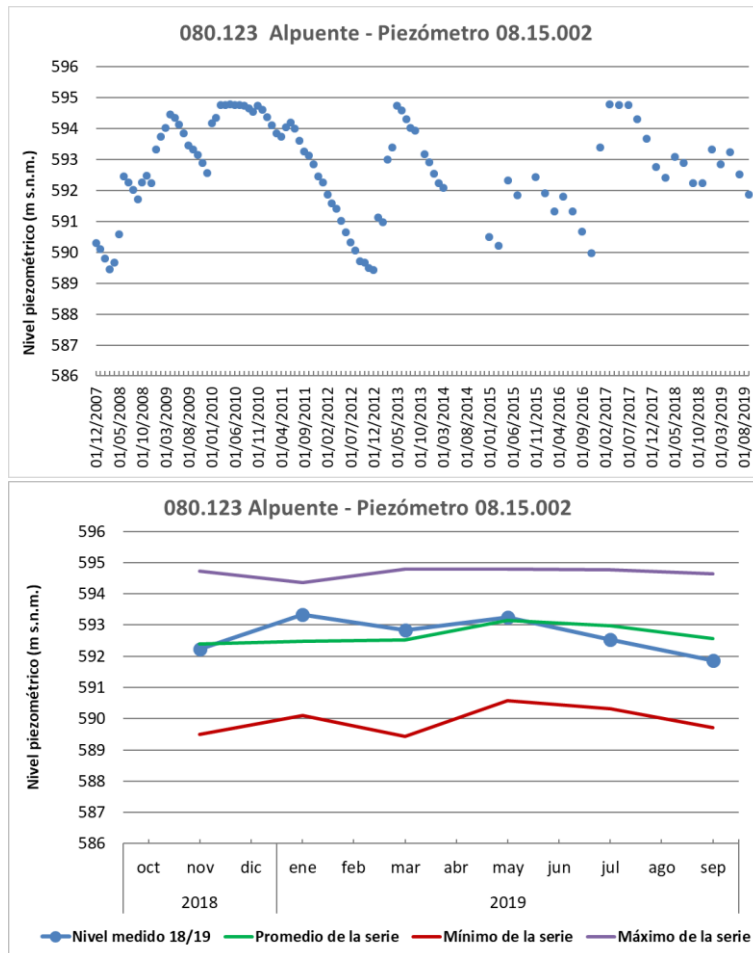


Figura 49. Piezometría en la masa de agua 080.123 Alpuente: serie histórica y año hidrológico 2018/19. Piezómetro 08.15.002.

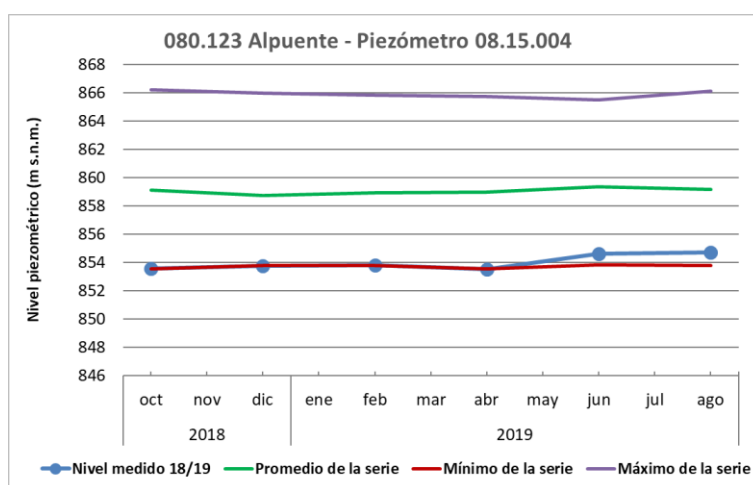
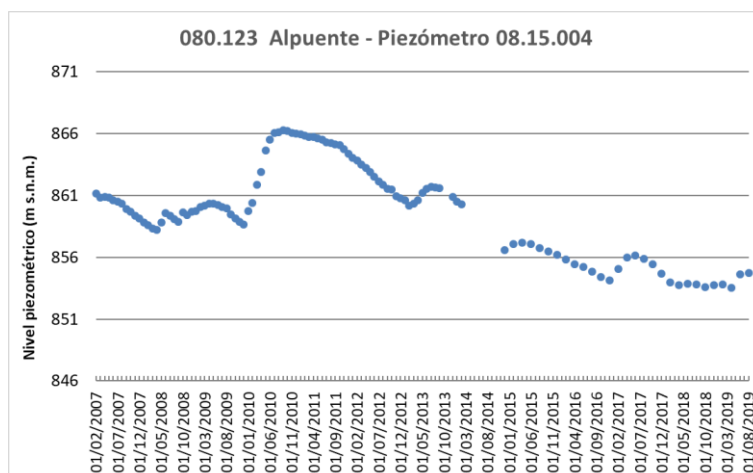


Figura 50. Piezometría en la masa de agua 080.123 Alpuente: serie histórica y año hidrológico 2018/19. Piezómetro 08.15.004.

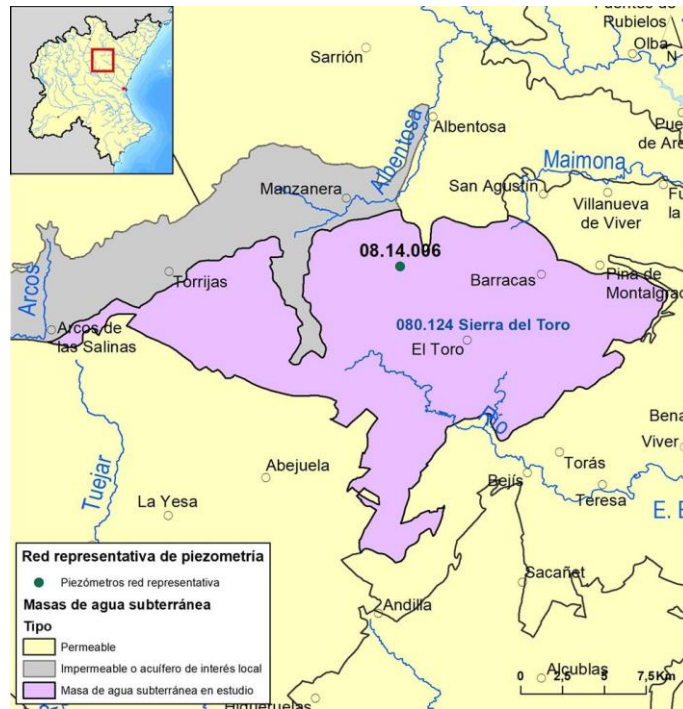


Figura 51. Red representativa en la masa de agua subterránea 080.124 Sierra del Toro.

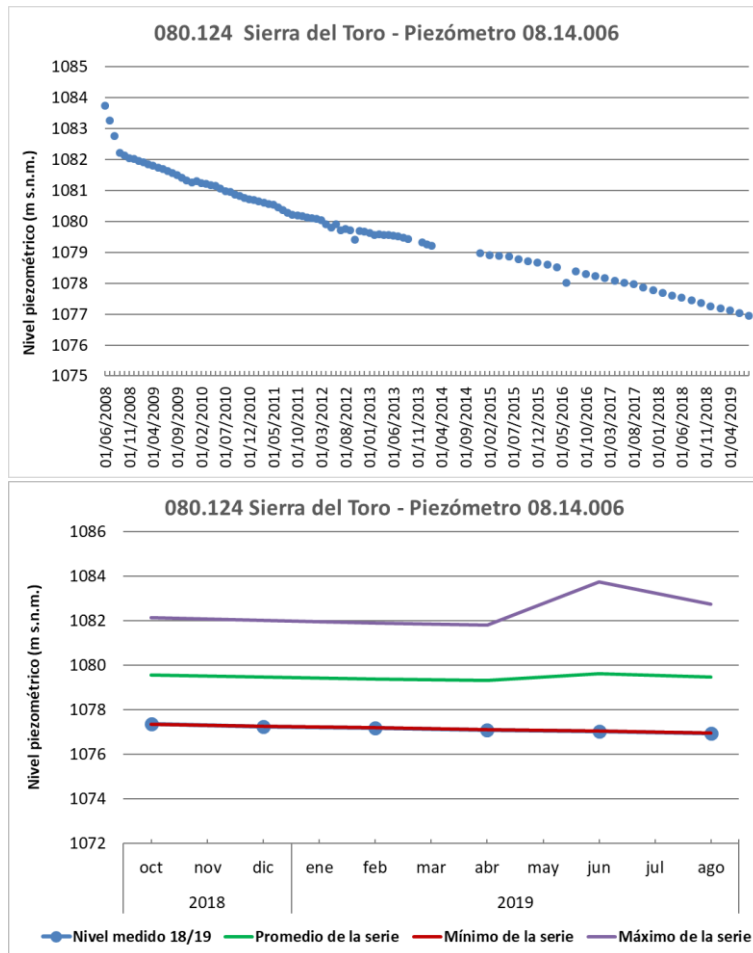


Figura 52. Piezometría en la masa de agua 080.124 Sierra del Toro: serie histórica y año hidrológico 2018/19. Piezómetro 08.14.006.



Figura 53. Red representativa en la masa de agua subterránea 080.125 Jérica.

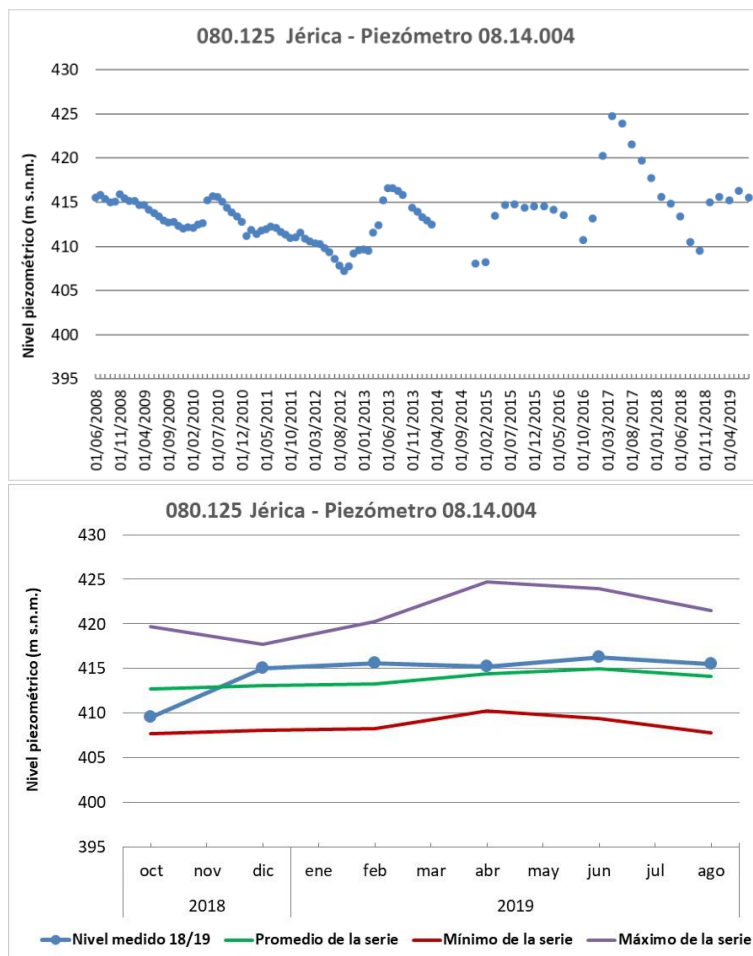


Figura 54. Piezometría en la masa de agua 080.125 Jérica: serie histórica y año hidrológico 2018/19. Piezómetro 08.14.004.

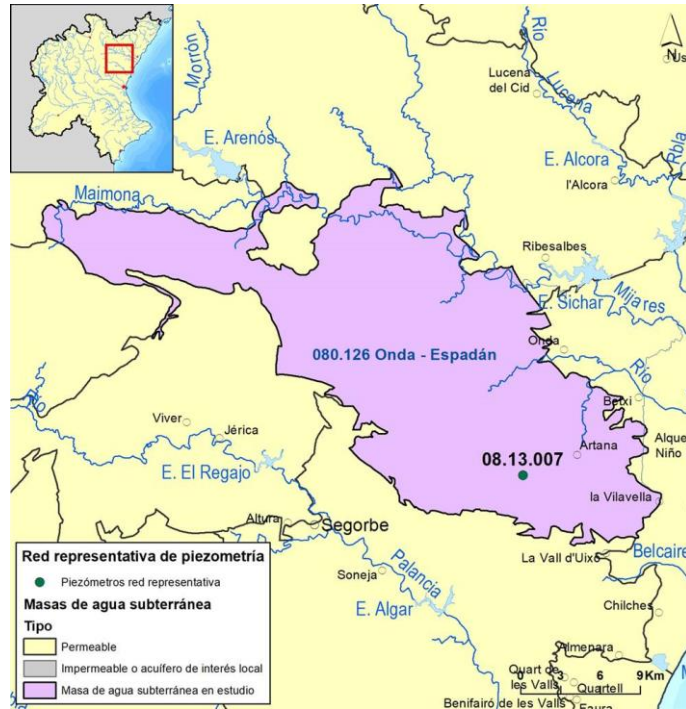


Figura 55. Red representativa en la masa de agua subterránea 080.126 Onda-Espadán.

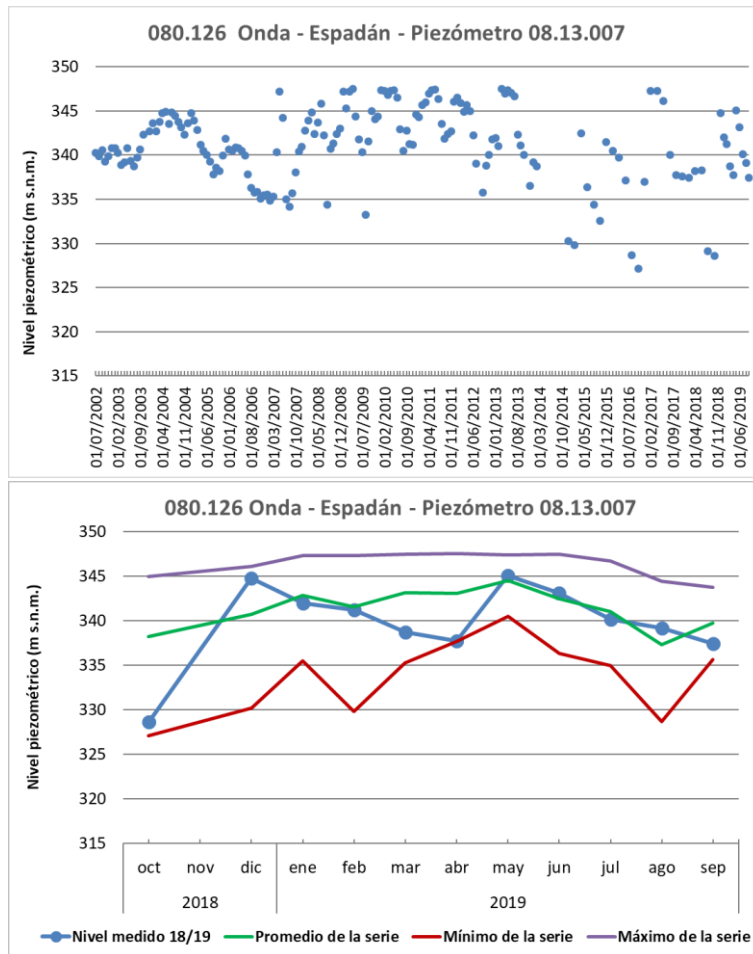


Figura 56. Piezometría en la masa de agua 080.126 Onda-Espadán: serie histórica y año hidrológico 2018/19. Piezómetro 08.13.007.

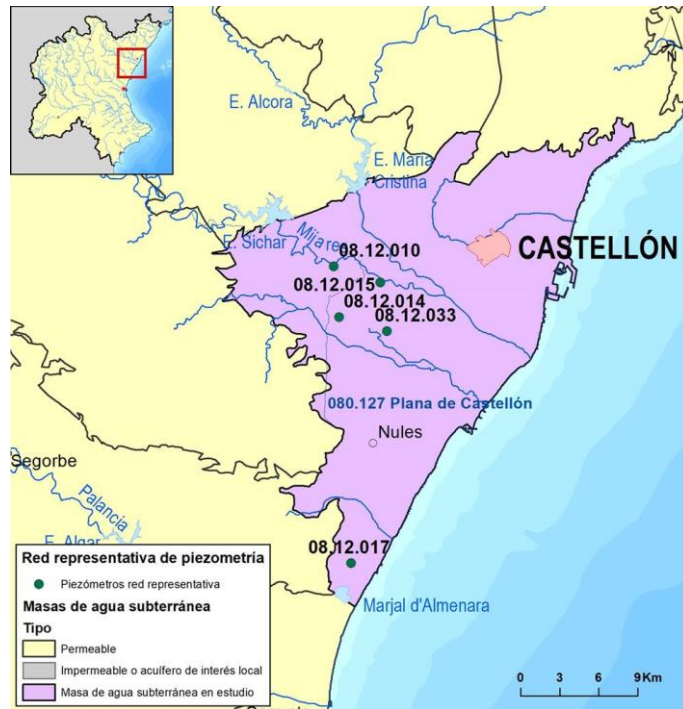


Figura 57. Red representativa en la masa de agua subterránea 080.127 Plana de Castellón.

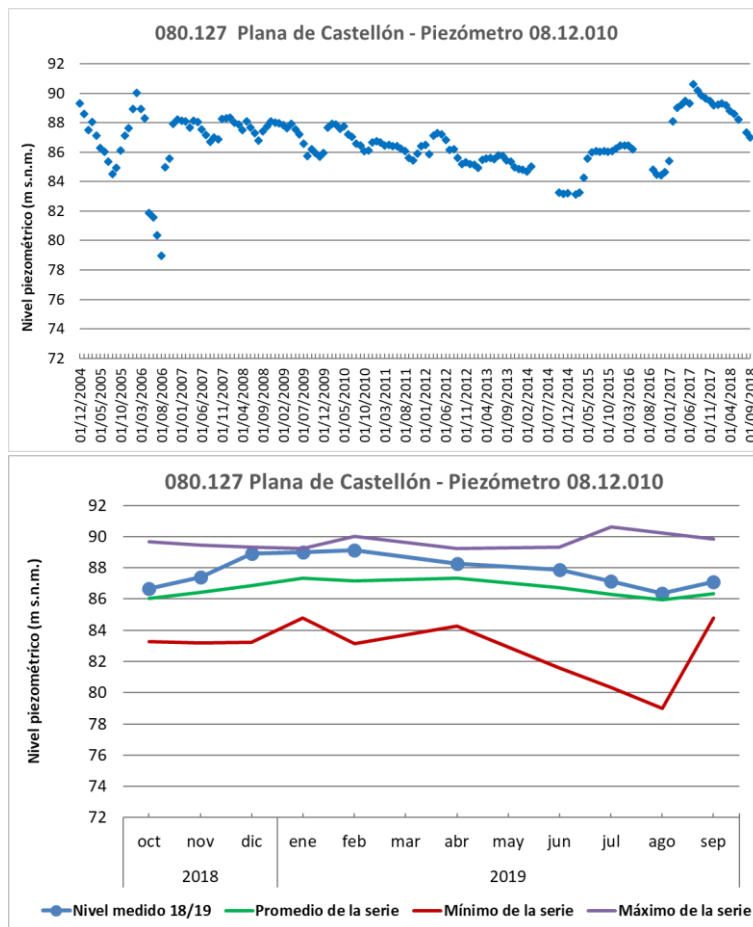


Figura 58. Piezometría en la masa de agua 080.127 Plana de Castellón: serie histórica y año hidrológico 2018/19. Piezómetro 08.12.010.

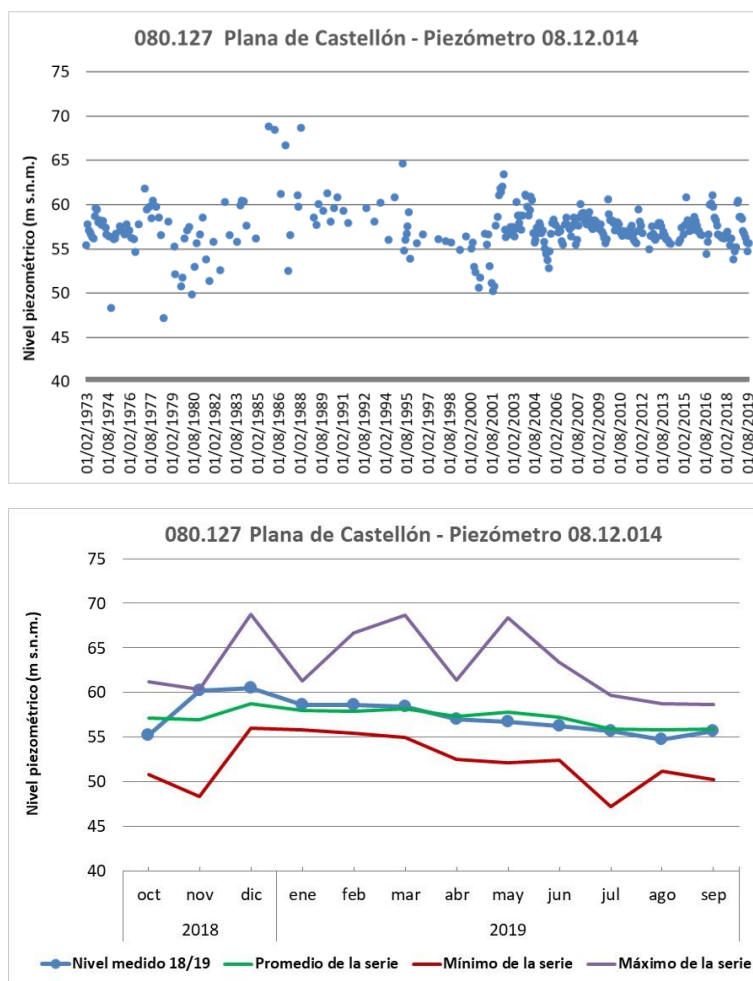


Figura 59. Piezometría en la masa de agua 080.127 Plana de Castellón: serie histórica y año hidrológico 2018/19. Piezómetro 08.12.014.

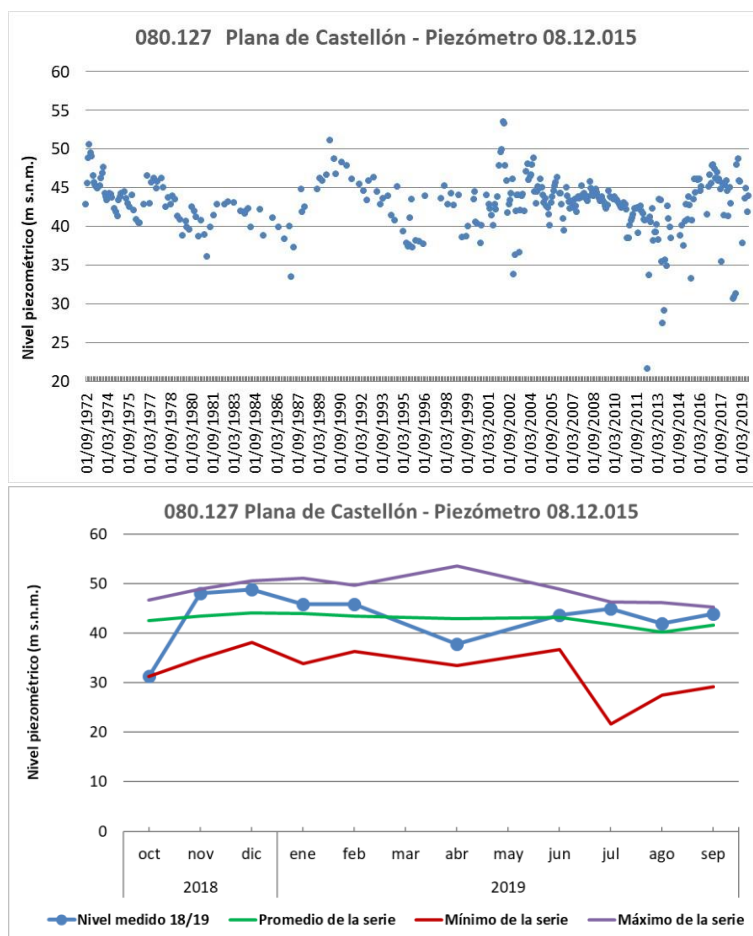


Figura 60. Piezometría en la masa de agua 080.127 Plana de Castellón: serie histórica y año hidrológico 2018/19. Piezómetro 08.12.015.

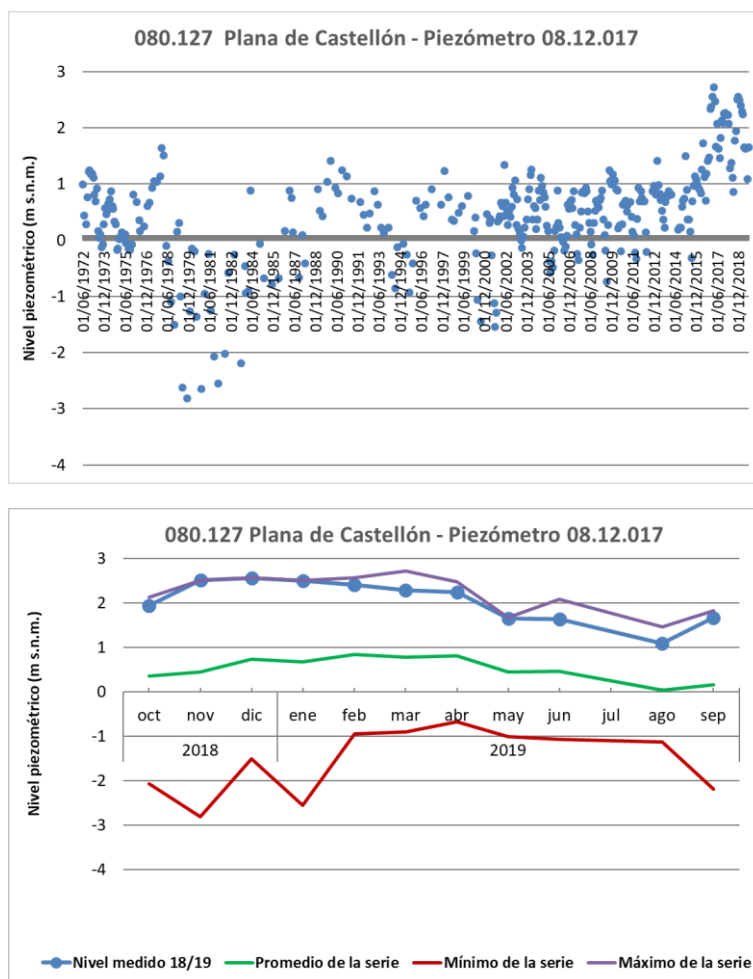


Figura 61. Piezometría en la masa de agua 080.127 Plana de Castellón: serie histórica y año hidrológico 2018/19. Piezómetro 08.12.017.

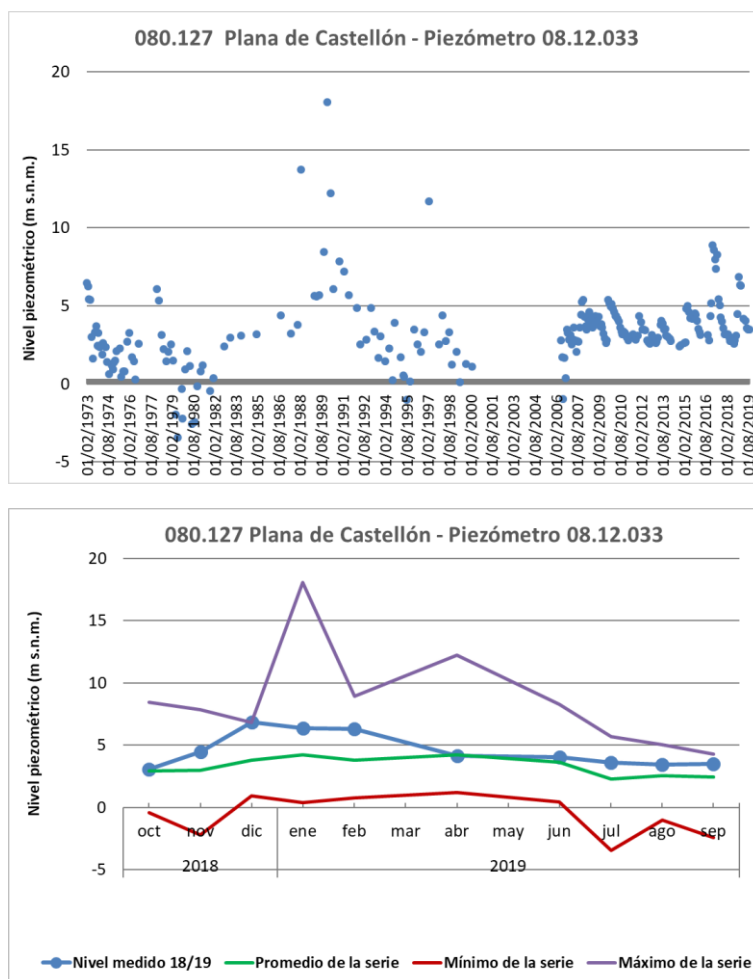


Figura 62. Piezometría en la masa de agua 080.127 Plana de Castellón: serie histórica y año hidrológico 2018/19. Piezómetro 08.12.033.



Figura 63. Red representativa en la masa de agua subterránea 080.128 Plana de Sagunto.

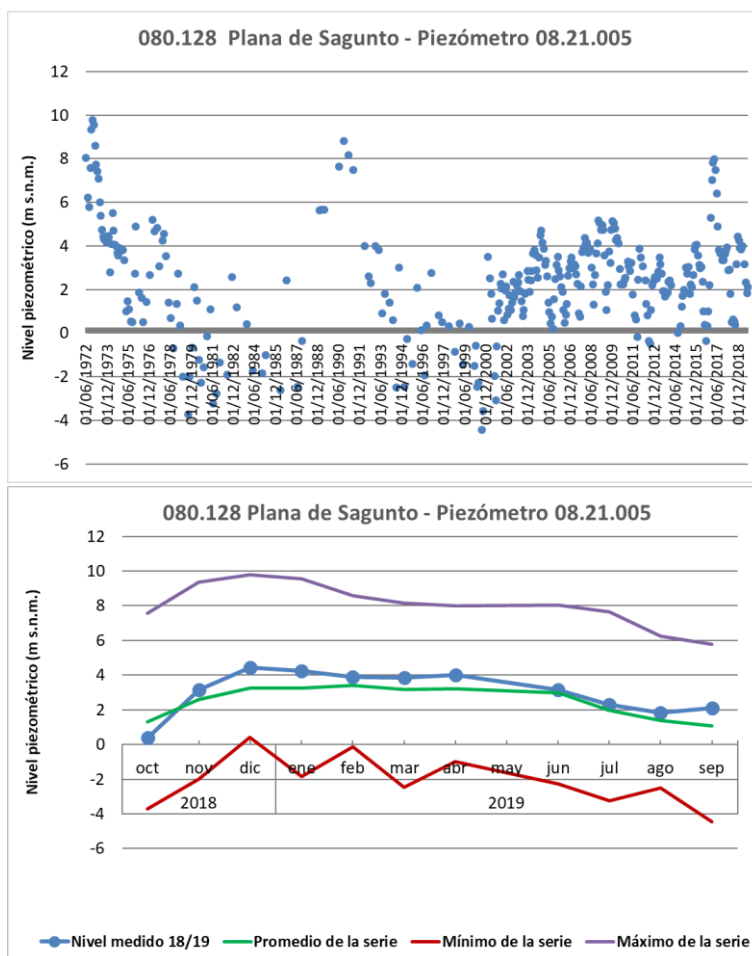


Figura 64. Piezometría en la masa de agua 080.128 Plana de Sagunto: serie histórica y año hidrológico 2018/19. Piezómetro 08.21.005.

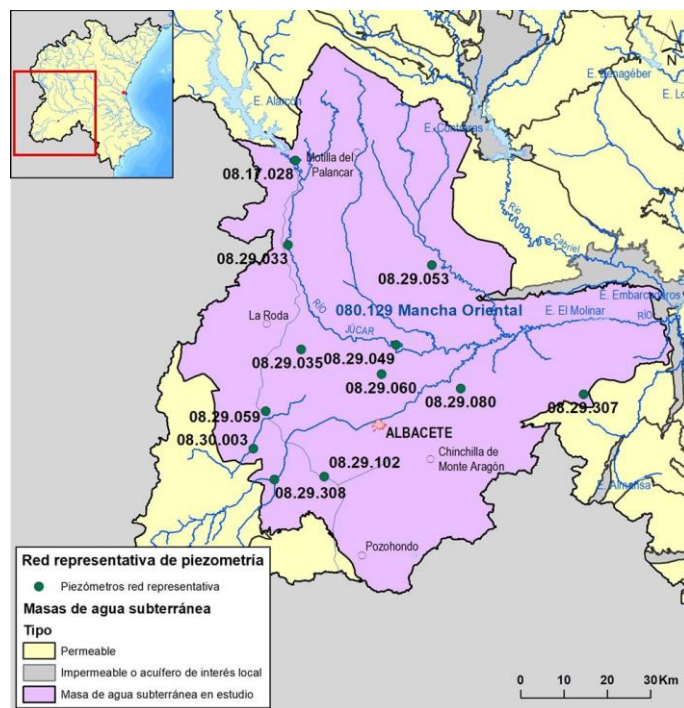


Figura 65. Red representativa en la masa de agua subterránea 080.129 Mancha Oriental.

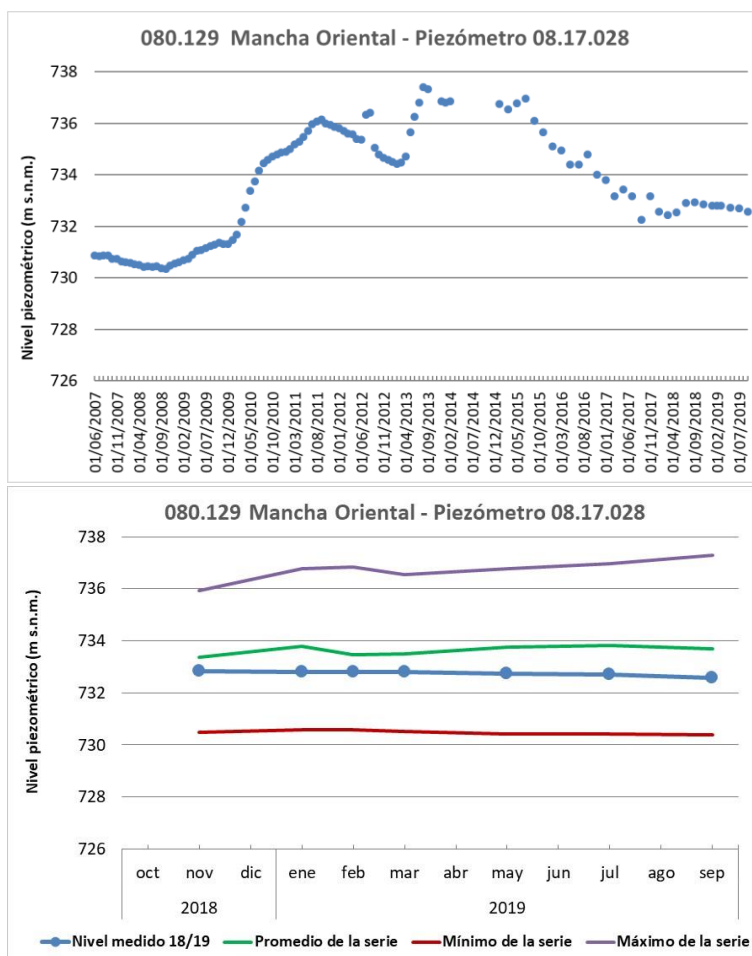


Figura 66. Piezometría en la masa de agua 080.129 Mancha Oriental: serie histórica y año hidrológico 2018/19. Piezómetro 08.17.028.

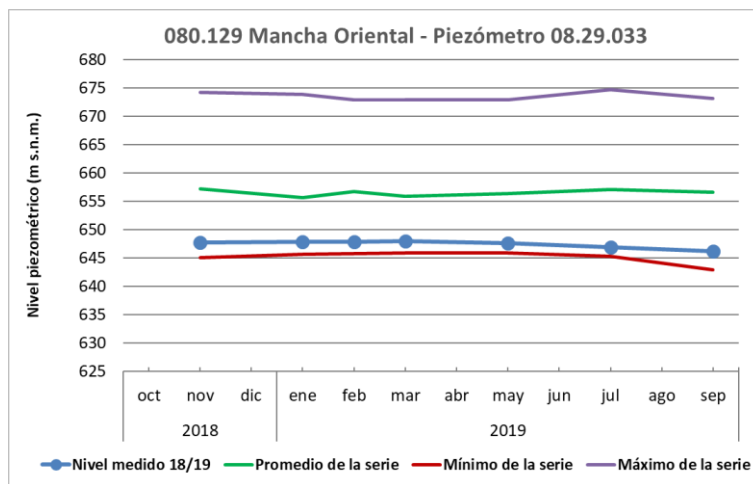
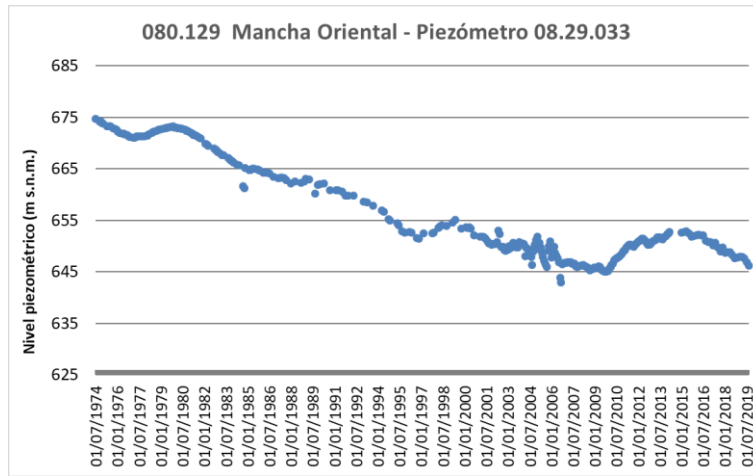


Figura 67. Piezometría en la masa de agua 080.129 Mancha Oriental: serie histórica y año hidrológico 2018/19. Piezómetro 08.29.033.

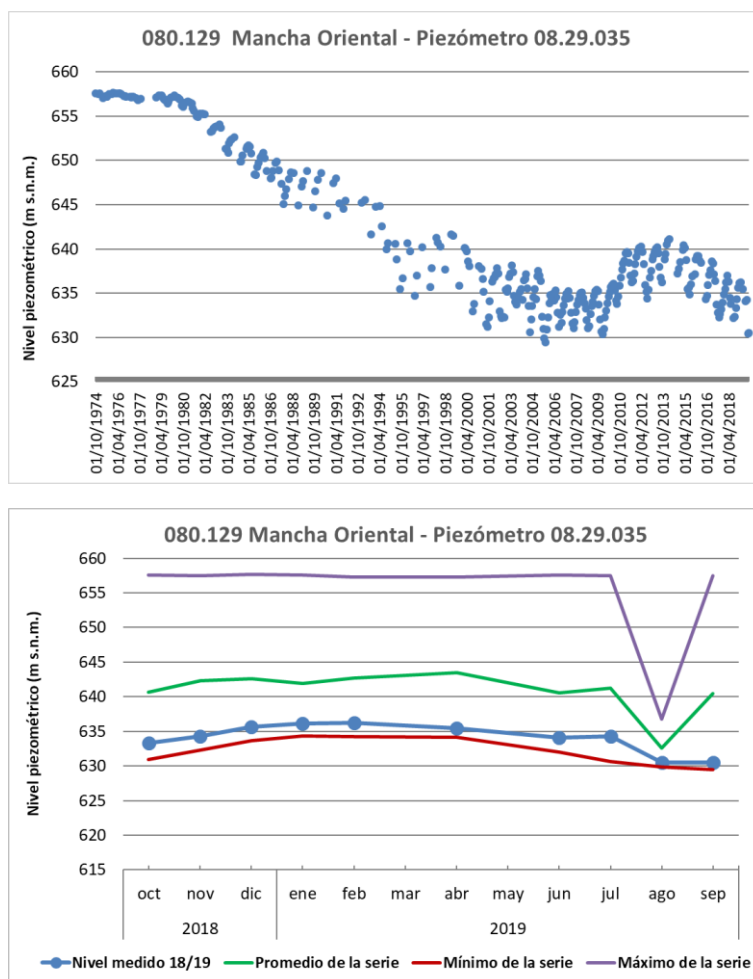


Figura 68. Piezometría en la masa de agua 080.129 Mancha Oriental: serie histórica y año hidrológico 2018/19. Piezómetro 08.29.035.

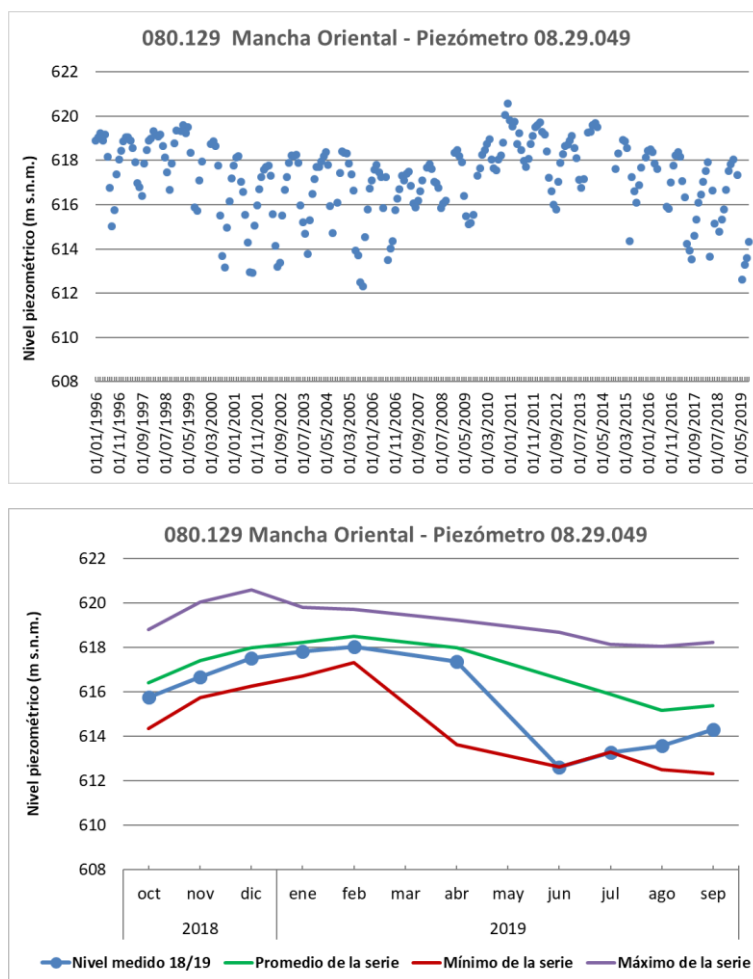


Figura 69. Piezometría en la masa de agua 080.129 Mancha Oriental: serie histórica y año hidrológico 2018/19. Piezómetro 08.29.049.

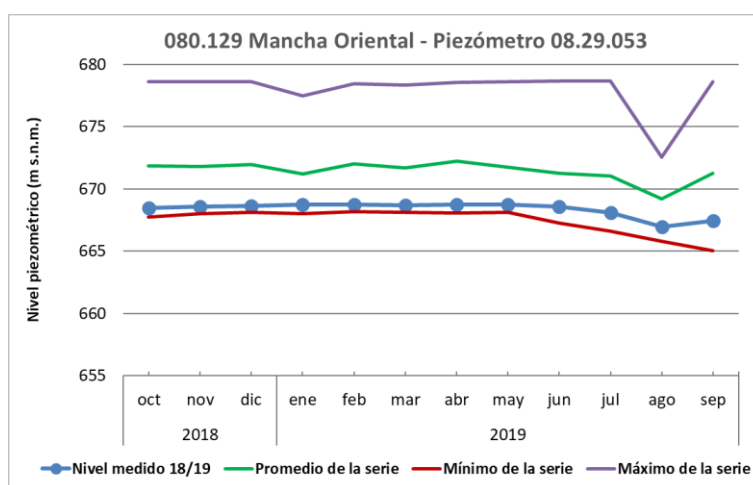
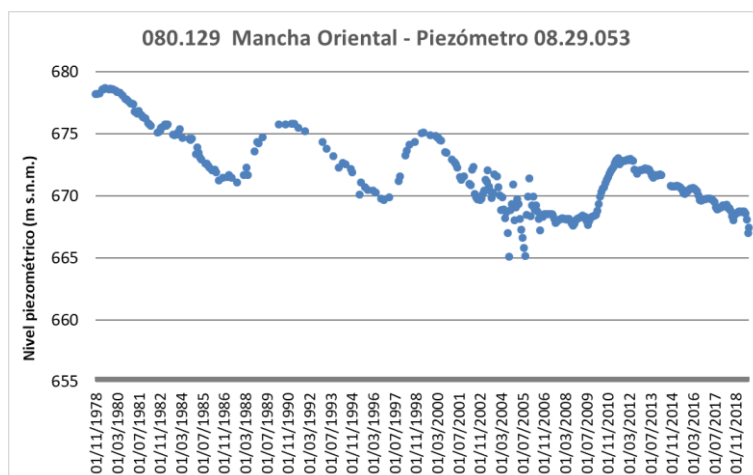


Figura 70. Piezometría en la masa de agua 080.129 Mancha Oriental: serie histórica y año hidrológico 2018/19. Piezómetro 08.29.053.

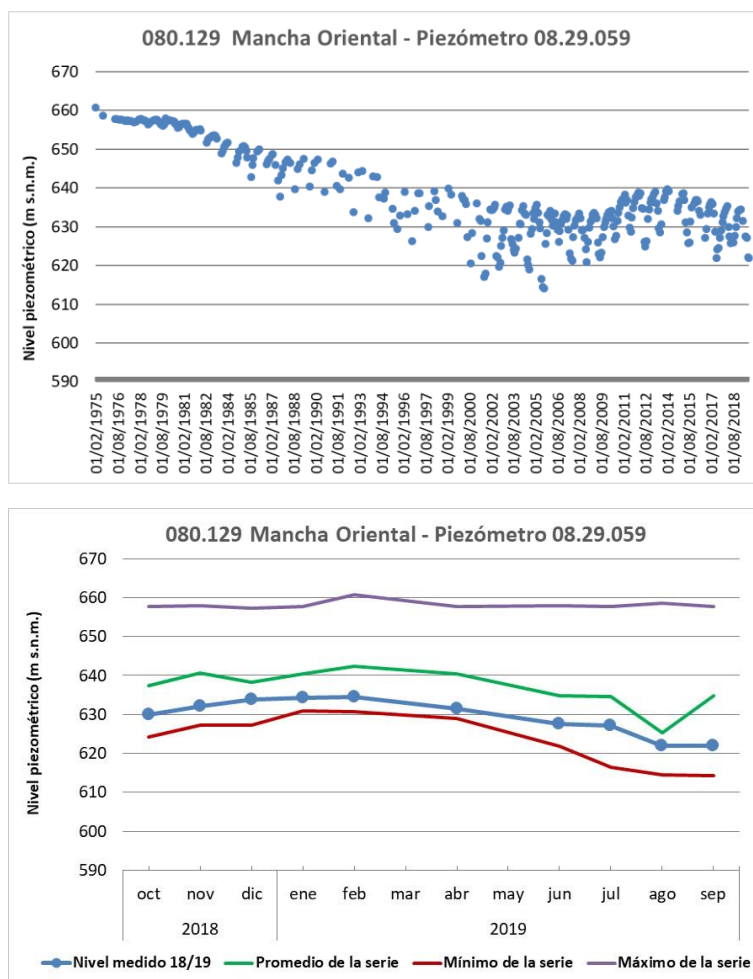


Figura 71. Piezometría en la masa de agua 080.129 Mancha Oriental: serie histórica y año hidrológico 2018/19. Piezómetro 08.29.059.

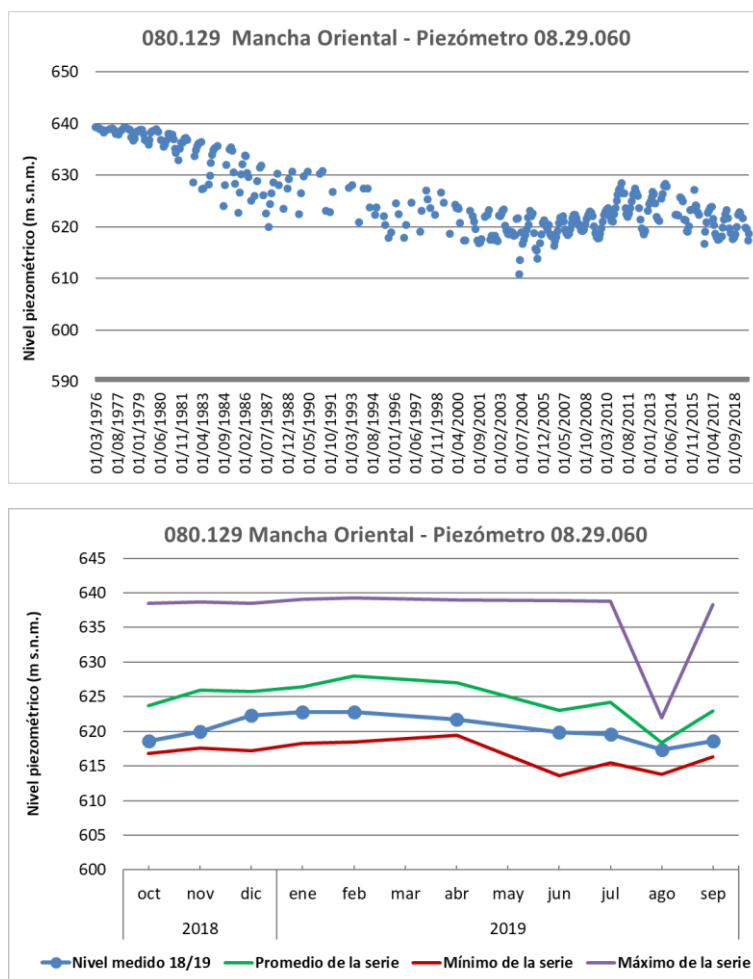


Figura 72. Piezometría en la masa de agua 080.129 Mancha Oriental: serie histórica y año hidrológico 2018/19. Piezómetro 08.29.060.

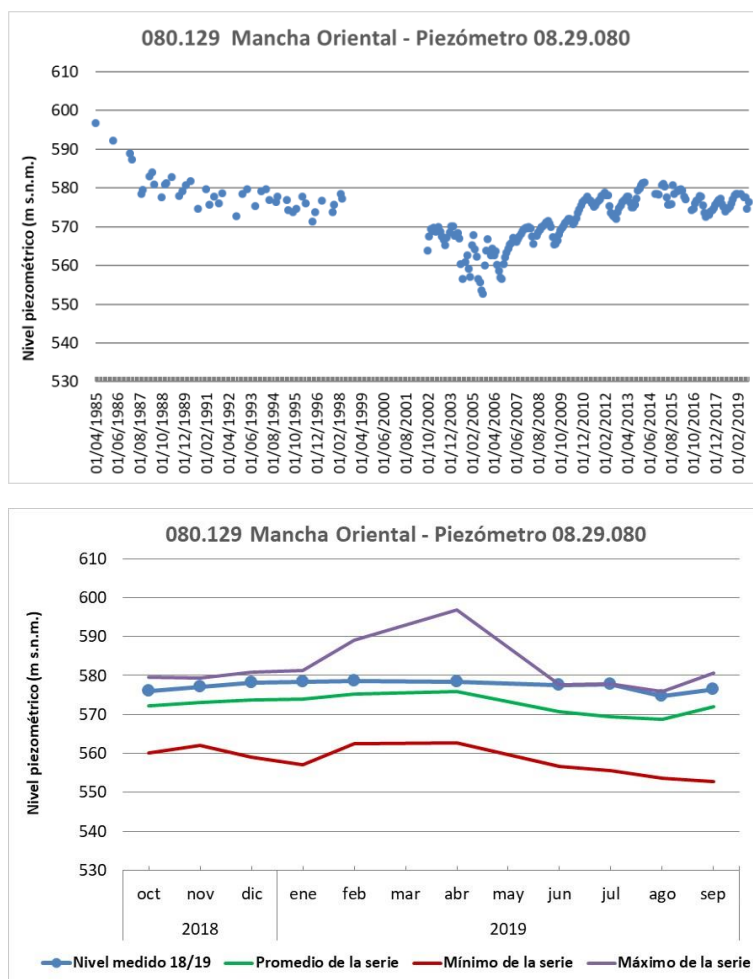


Figura 73. Piezometría en la masa de agua 080.129 Mancha Oriental: serie histórica y año hidrológico 2018/19. Piezómetro 08.29.080.

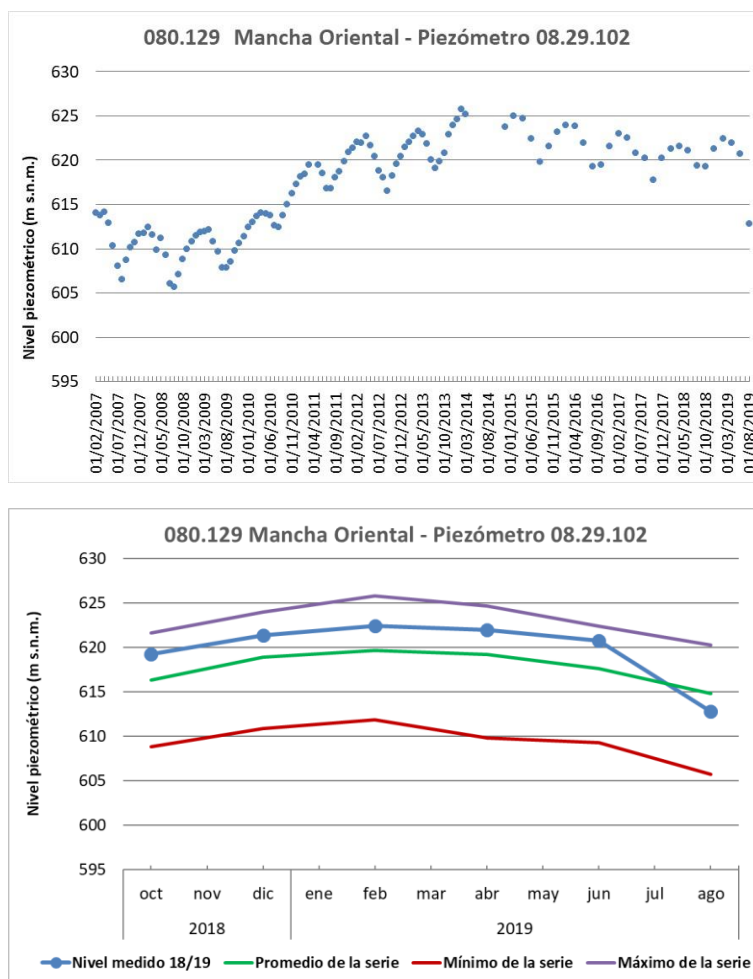


Figura 74. Piezometría en la masa de agua 080.129 Mancha Oriental: serie histórica y año hidrológico 2018/19. Piezómetro 08.29.102.

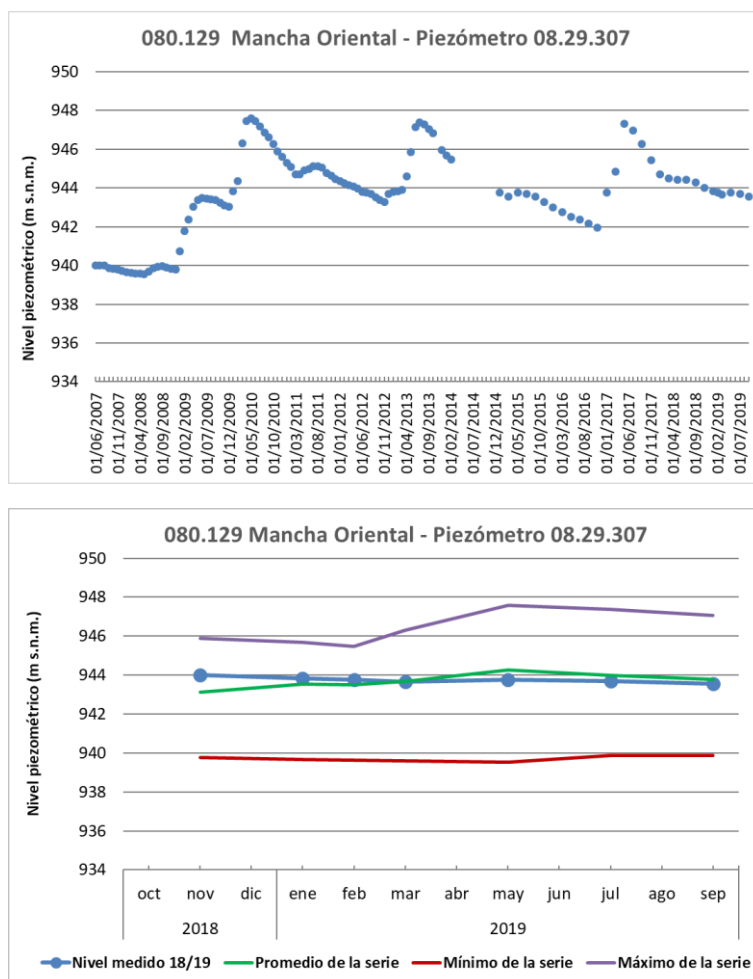


Figura 75. Piezometría en la masa de agua 080.129 Mancha Oriental: serie histórica y año hidrológico 2018/19. Piezómetro 08.29.307.

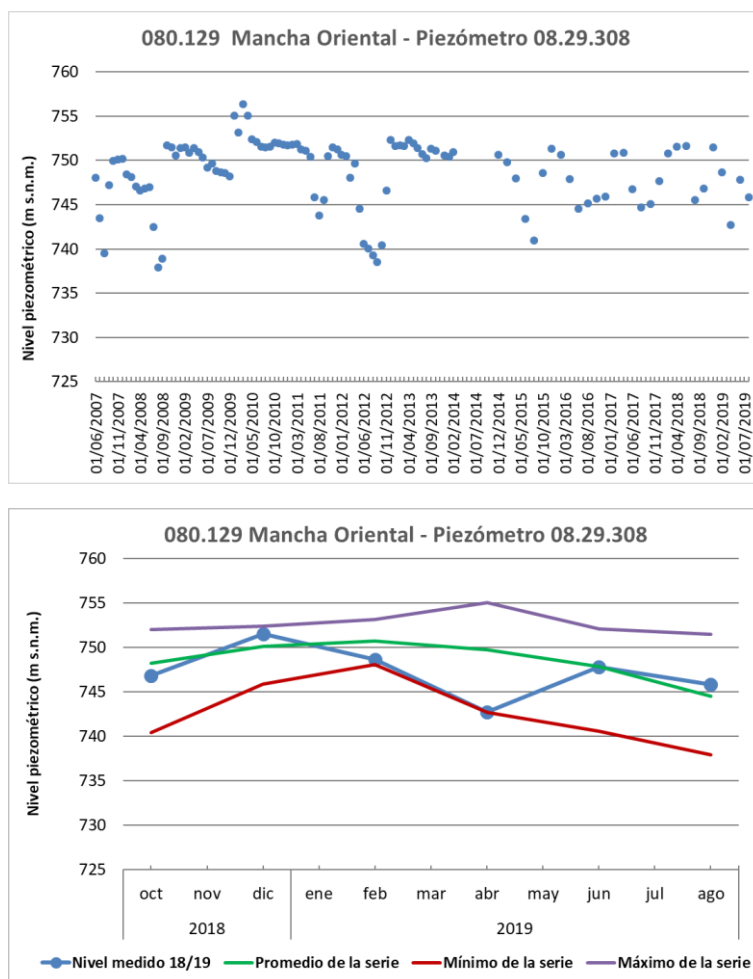


Figura 76. Piezometría en la masa de agua 080.129 Mancha Oriental: serie histórica y año hidrológico 2018/19. Piezómetro 08.29.308.

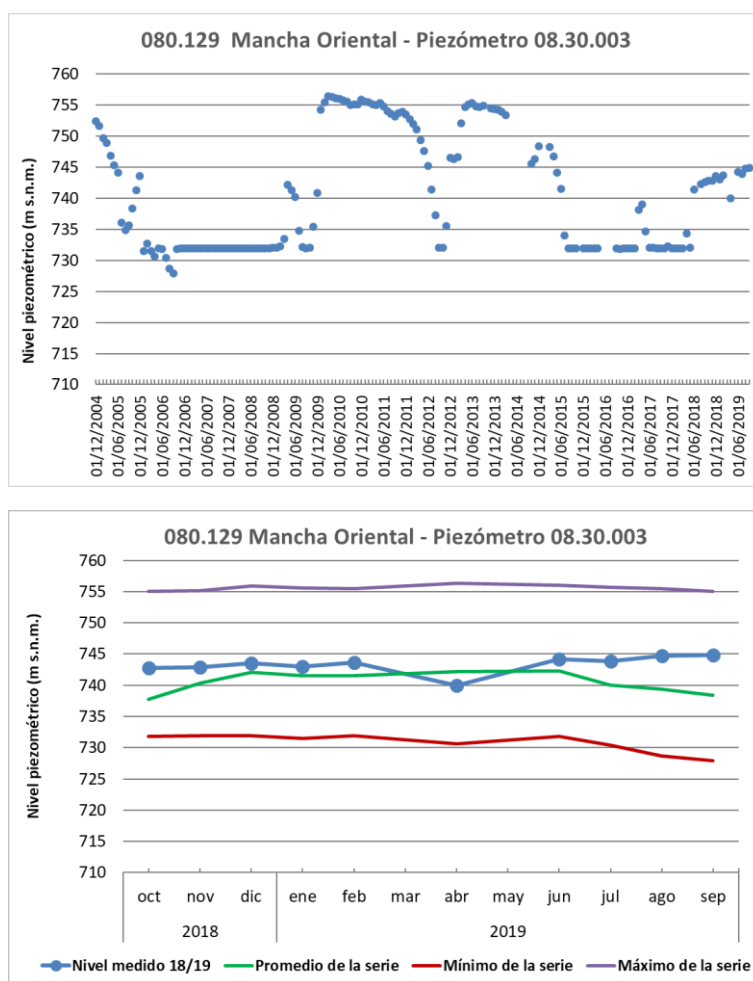


Figura 77. Piezometría en la masa de agua 080.129 Mancha Oriental: serie histórica y año hidrológico 2018/19. Piezómetro 08.30.003.

Destacar que, en el caso de los datos de promedios y máximos calculados en el mes de agosto, para los piezómetros 08.29.033, 08.29.035, 08.29.053, 08.29.059 y 08.29.060, se observa un pico descendente similar en todos ellos. Esto es debido a que, en estos puntos con series largas de medida (desde los años 70), no hay medidas de agosto disponibles hasta el año 2001 aproximadamente. Debido a que son puntos en los que hay un descenso muy acusado, al no disponer de medidas para los años en los que los niveles piezométricos eran más elevados (años 70 u 80), los máximos de agosto siempre son inferiores en comparación con los máximos para el resto de meses.

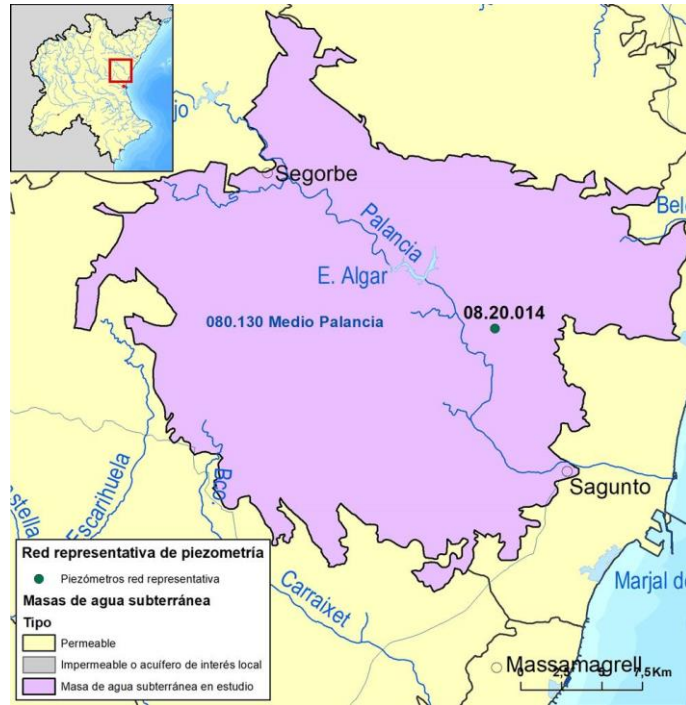


Figura 78. Red representativa en la masa de agua subterránea 080.130 Medio Palancia.

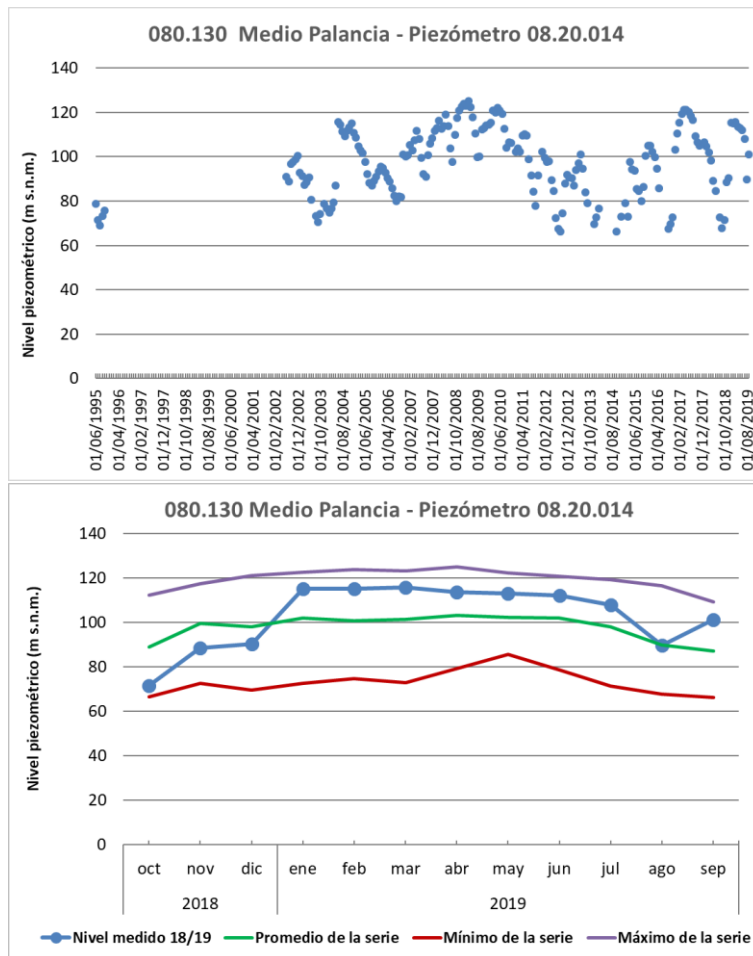


Figura 79. Piezometría en la masa de agua 080.130 Medio Palancia: serie histórica y año hidrológico 2018/19. Piezómetro 08.20.014.

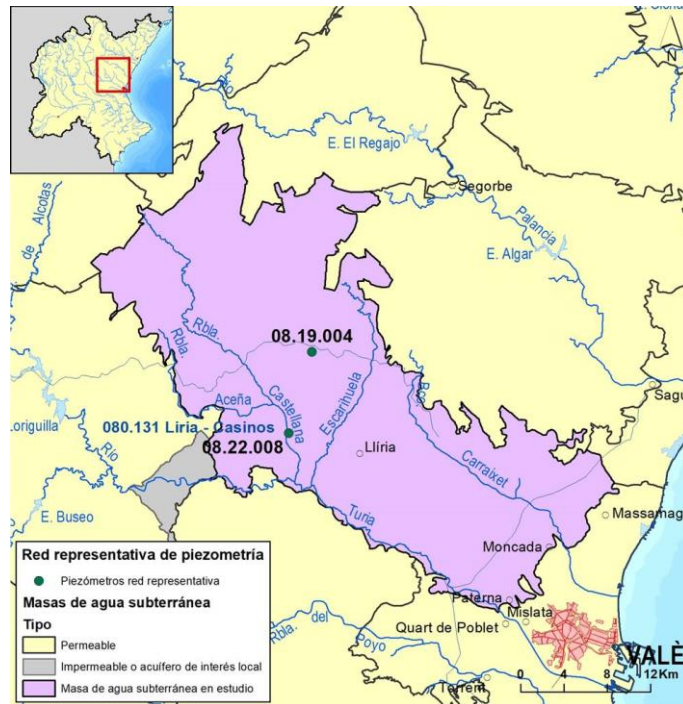


Figura 80. Red representativa en la masa de agua subterránea 080.131 Liria-Casinos.

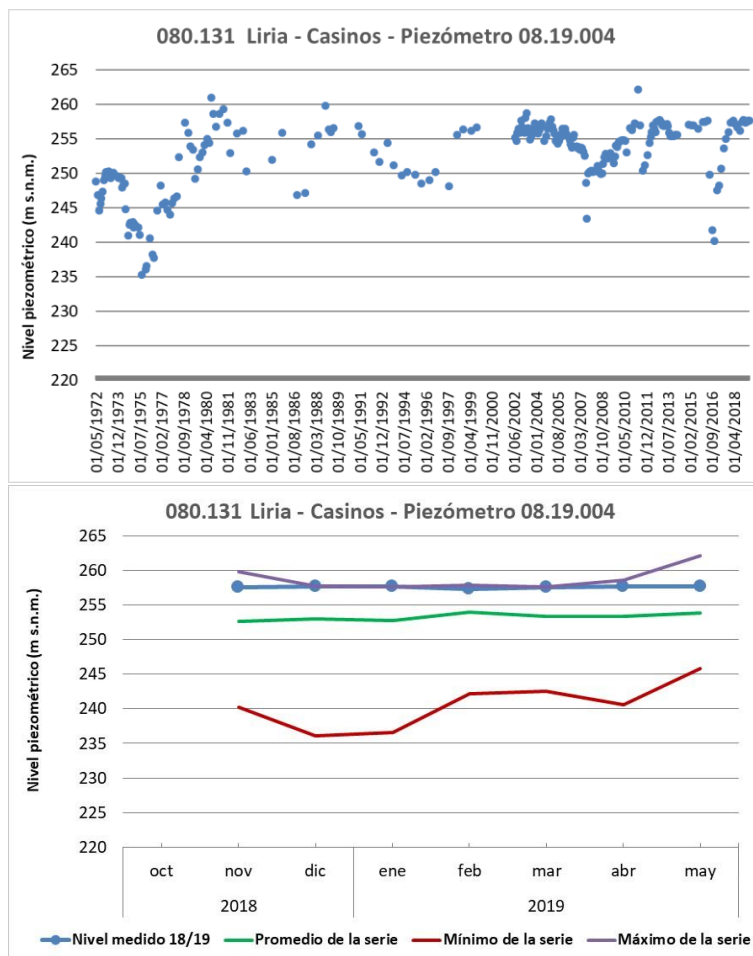


Figura 81. Piezometría en la masa de agua 080.131 Liria-Casinos: serie histórica y año hidrológico 2018/19. Piezómetro 08.19.004.

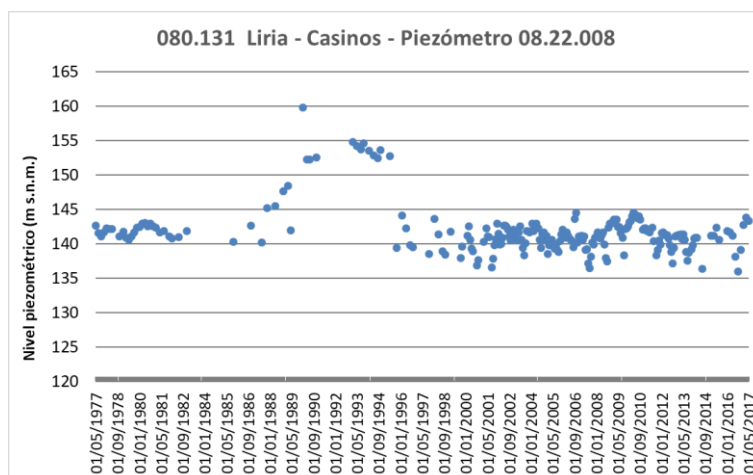


Figura 82. Piezometría en la masa de agua 080.131 Liria-Casinos: serie histórica. Piezómetro 08.22.008.

El piezómetro 08.22.008 no dispone de datos desde julio de 2017, ya que presenta una obstrucción en la tubería que ha impedido la realización de mediciones de nivel a partir de esta fecha.

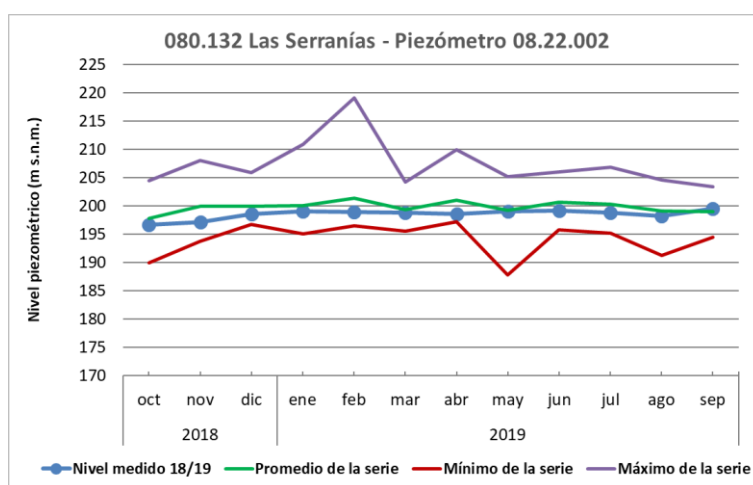
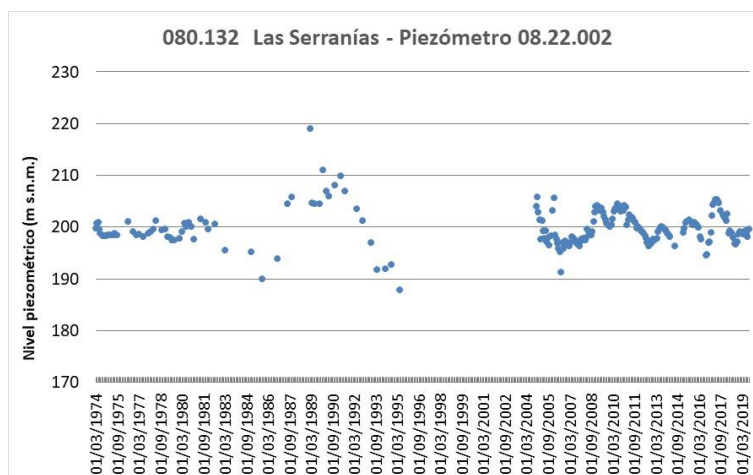


Figura 85. Piezometría en la masa de agua 080.132 Las Serranías: serie histórica y año hidrológico 2018/19. Piezómetro 08.22.002.

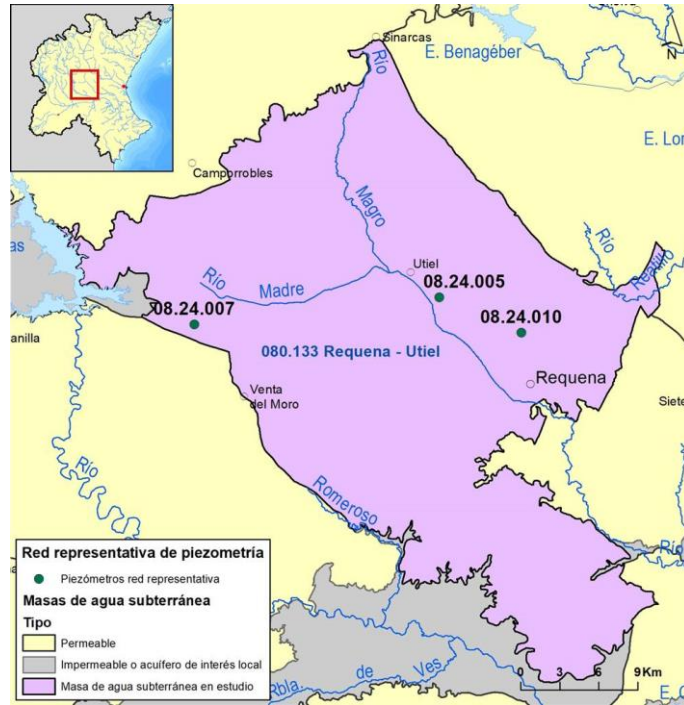


Figura 86. Red representativa en la masa de agua subterránea 080.133 Requena-Utiel.

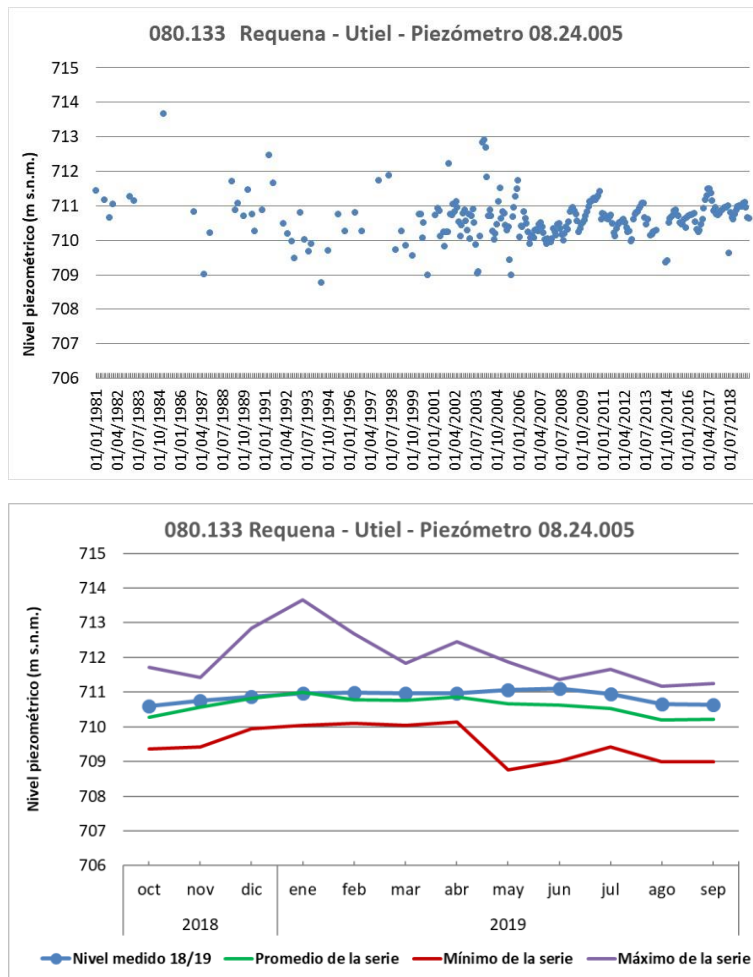


Figura 87. Piezometría en la masa de agua 080.133 Requena-Utiel: serie histórica y año hidrológico 2018/19. Piezómetro 08.24.005.

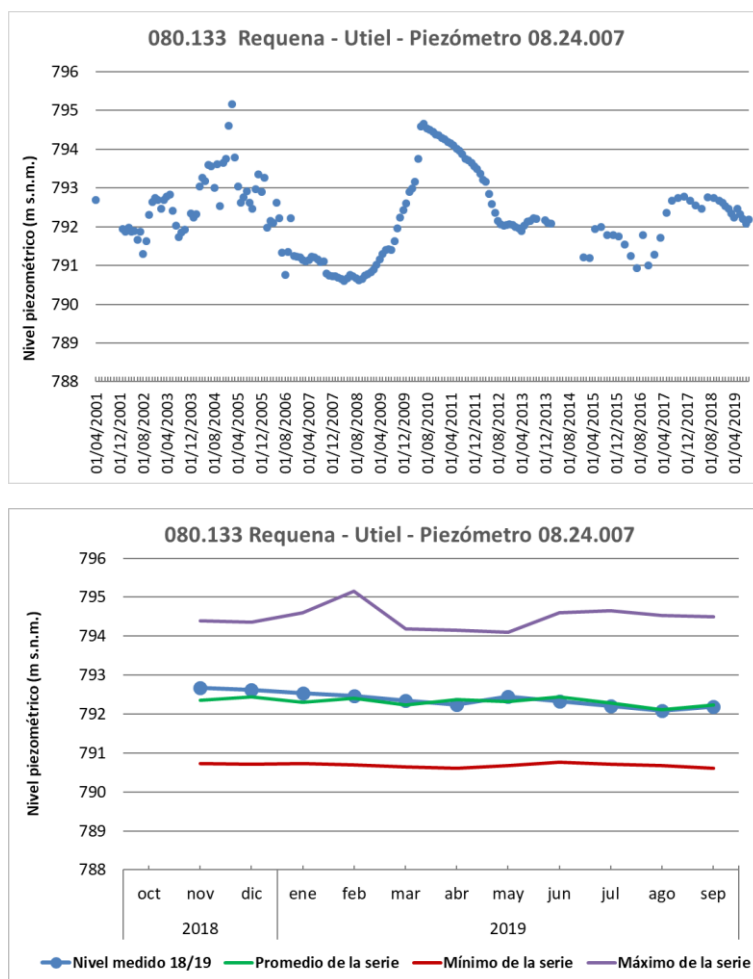


Figura 88. Piezometría en la masa de agua 080.133 Requena-Utiel: serie histórica y año hidrológico 2018/19. Piezómetro 08.24.007.

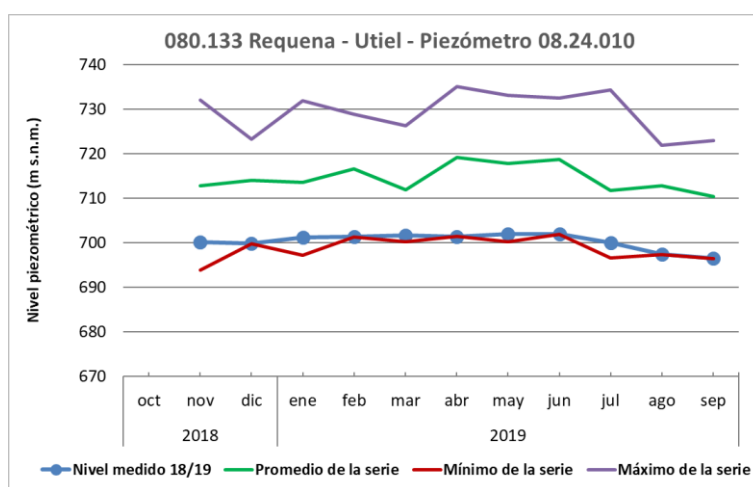
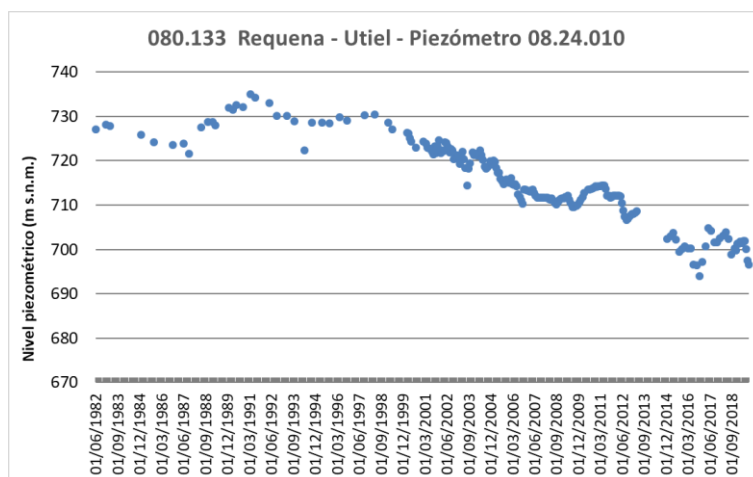


Figura 89. Piezometría en la masa de agua 080.133 Requena-Utiel: serie histórica y año hidrológico 2018/19. Piezómetro 08.24.010.

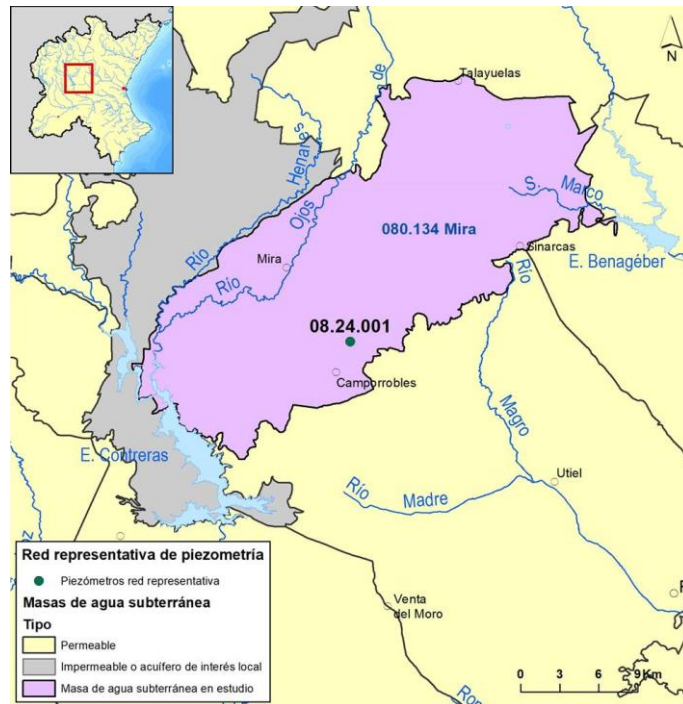


Figura 90. Red representativa en la masa de agua subterránea 080.134 Mira.

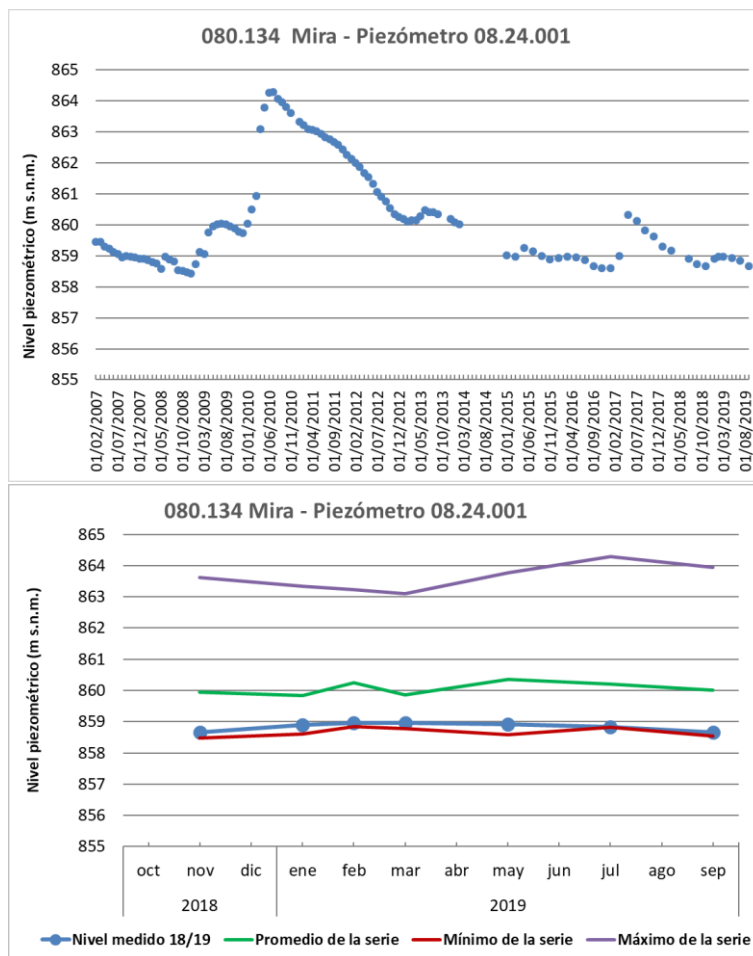


Figura 91. Piezometría en la masa de agua 080. 134 Mira: serie histórica y año hidrológico 2018/19. Piezómetro 08.24.001.

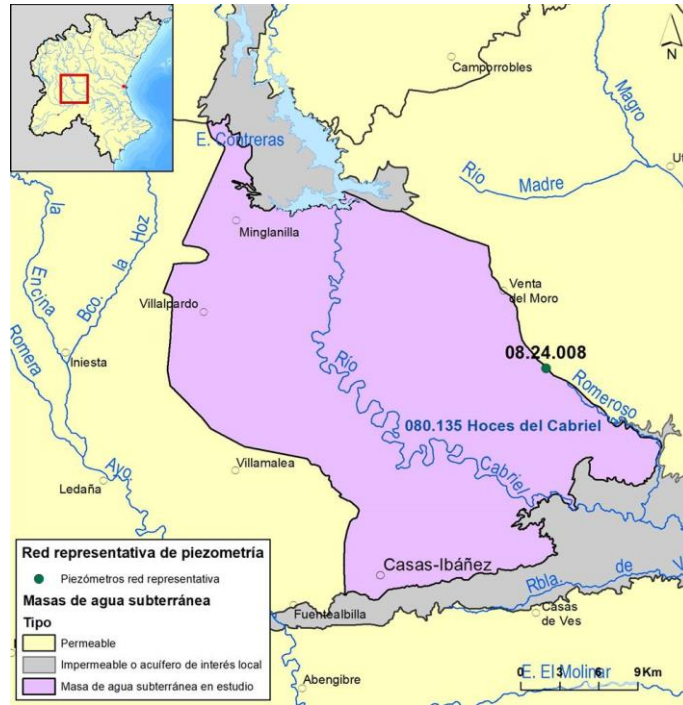


Figura 92. Red representativa en la masa de agua subterránea 080.135 Hoces del Cabriel.

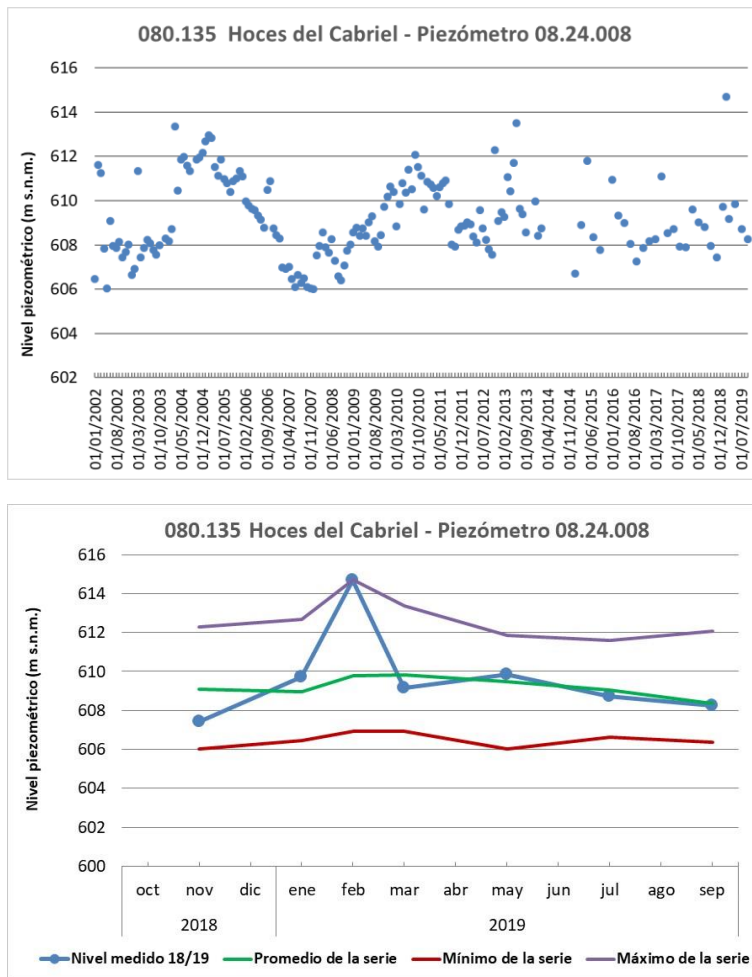


Figura 93. Piezometría en la masa de agua 080.135 Hoces del Cabriel: serie histórica y año hidrológico 2018/19. Piezómetro 08.24.008.

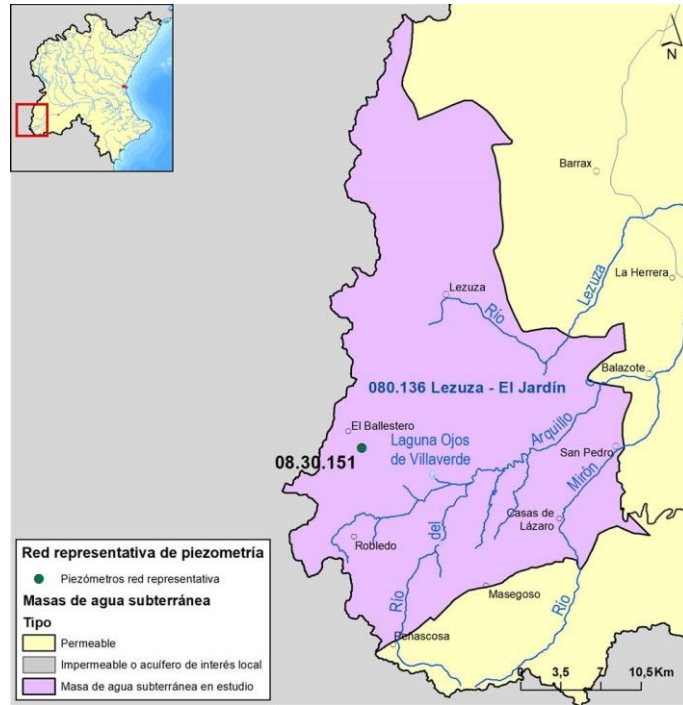


Figura 94. Red representativa en la masa de agua subterránea 080.136 Lezuza-El Jardín.

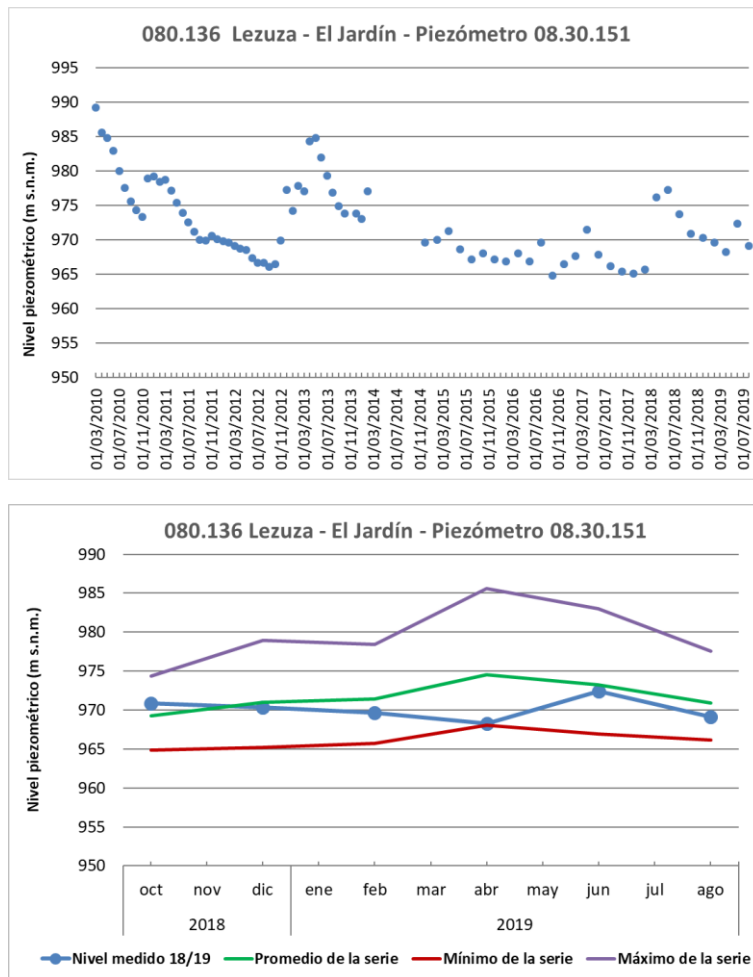


Figura 95. Piezometría en la masa de agua 080.136 Lezuza-El Jardín: serie histórica y año hidrológico 2018/19. Piezómetro 08.30.151.



Figura 96. Red representativa en la masa de agua subterránea 080.139 Cabrillas-Malacara.

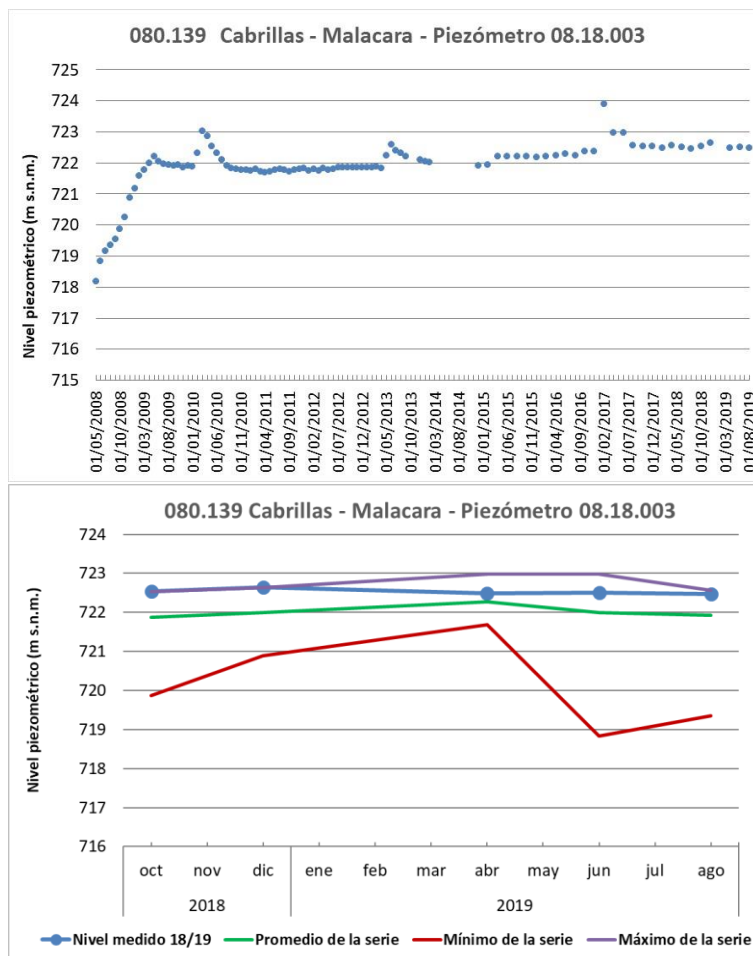


Figura 97. Piezometría en la masa de agua 080.139 Cabrillas-Malacara: serie histórica y año hidrológico 2018/19. Piezómetro 08.18.003.

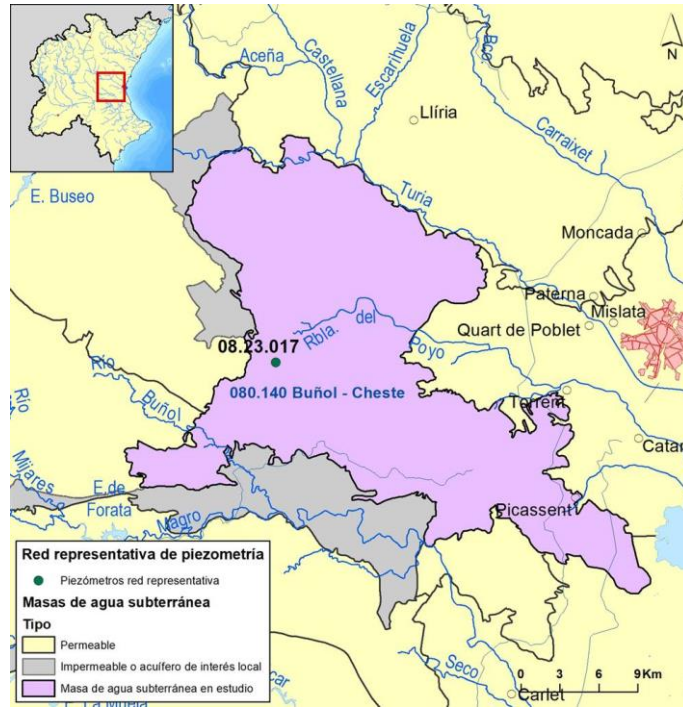


Figura 98. Red representativa en la masa de agua subterránea 080.140 Buñol-Cheste.

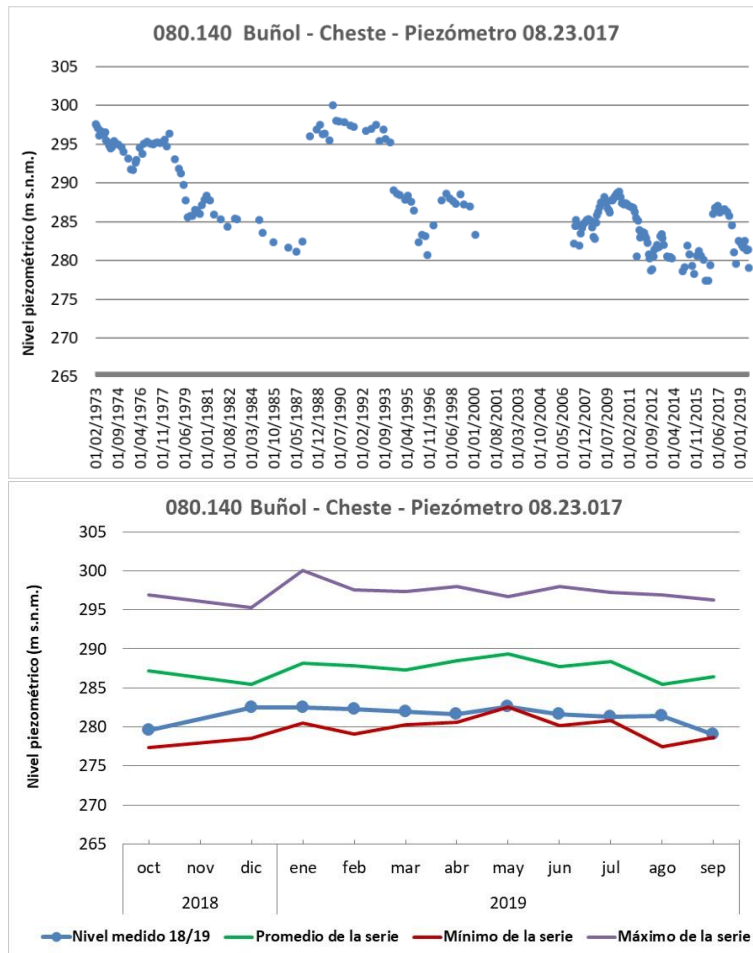


Figura 99. Piezometría en la masa de agua 080.140 Buñol-Cheste: serie histórica y año hidrológico 2018/19. Piezómetro 08.23.017.



Figura 100. Red representativa en la masa de agua subterránea 080.141 Plana de Valencia Norte.

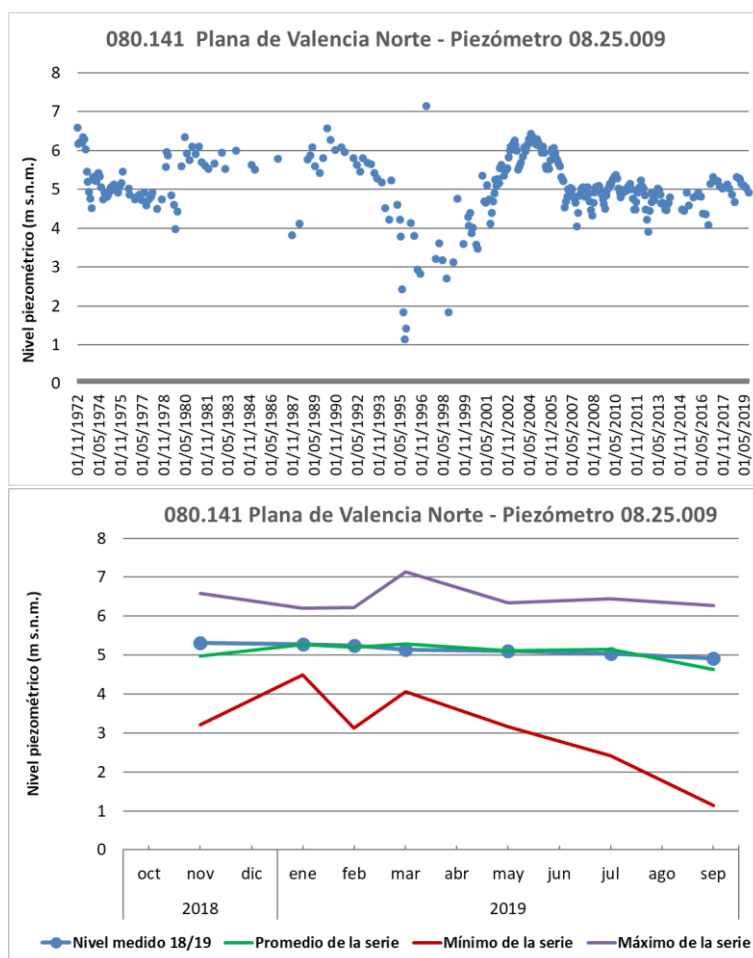


Figura 101. Piezometría en la masa de agua 080.141 Plana de Valencia Norte: serie histórica y año hidrológico 2018/19. Piezómetro 08.25.009.

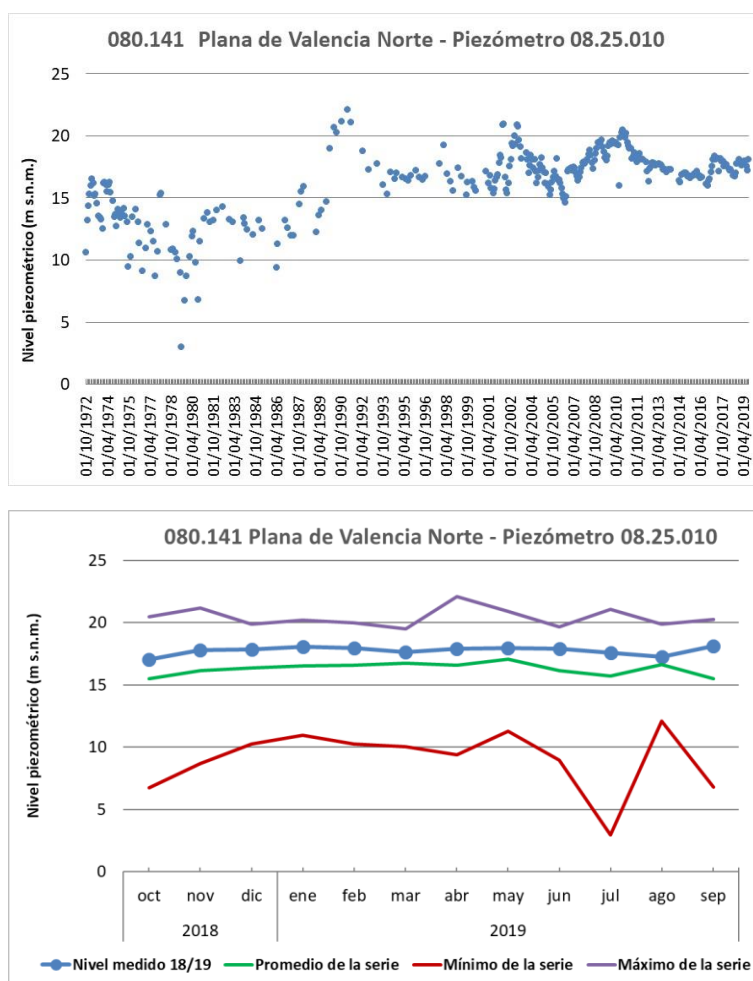


Figura 102. Piezometría en la masa de agua 080.141 Plana de Valencia Norte: serie histórica y año hidrológico 2018/19. Piezómetro 08.25.010.

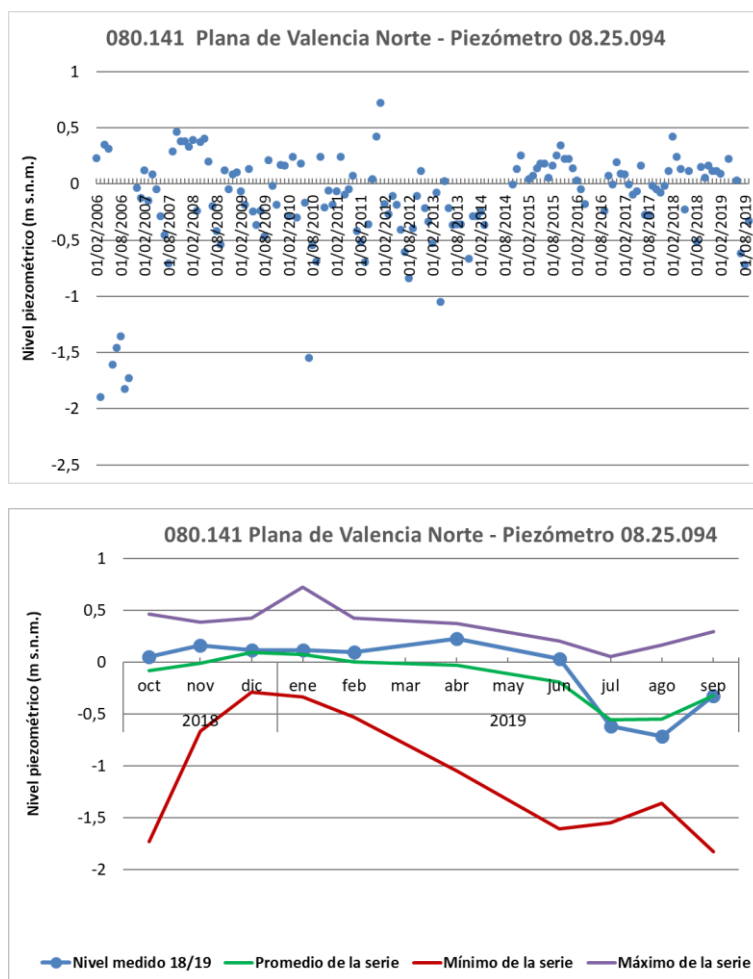


Figura 103. Piezometría en la masa de agua 080.141 Plana de Valencia Norte: serie histórica y año hidrológico 2018/19. Piezómetro 08.25.094.

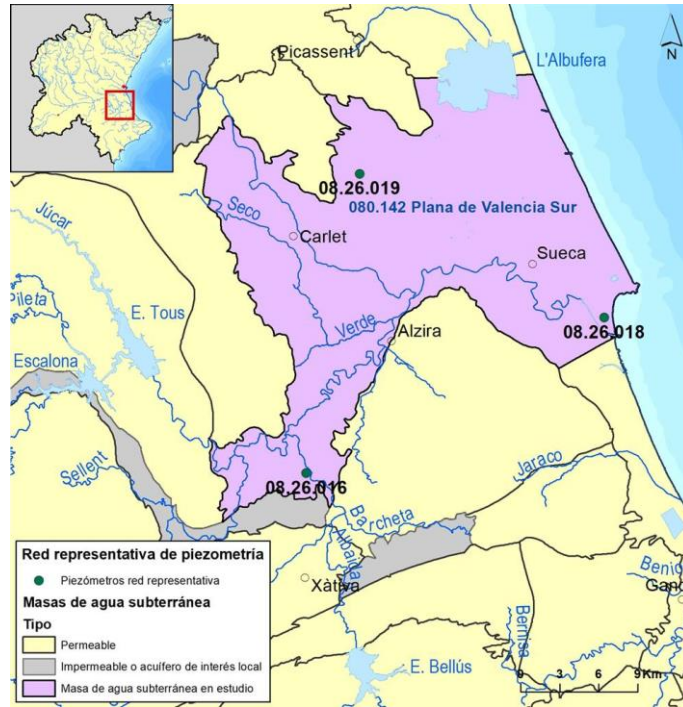


Figura 104. Red representativa en la masa de agua subterránea 080.142 Plana de Valencia Sur.

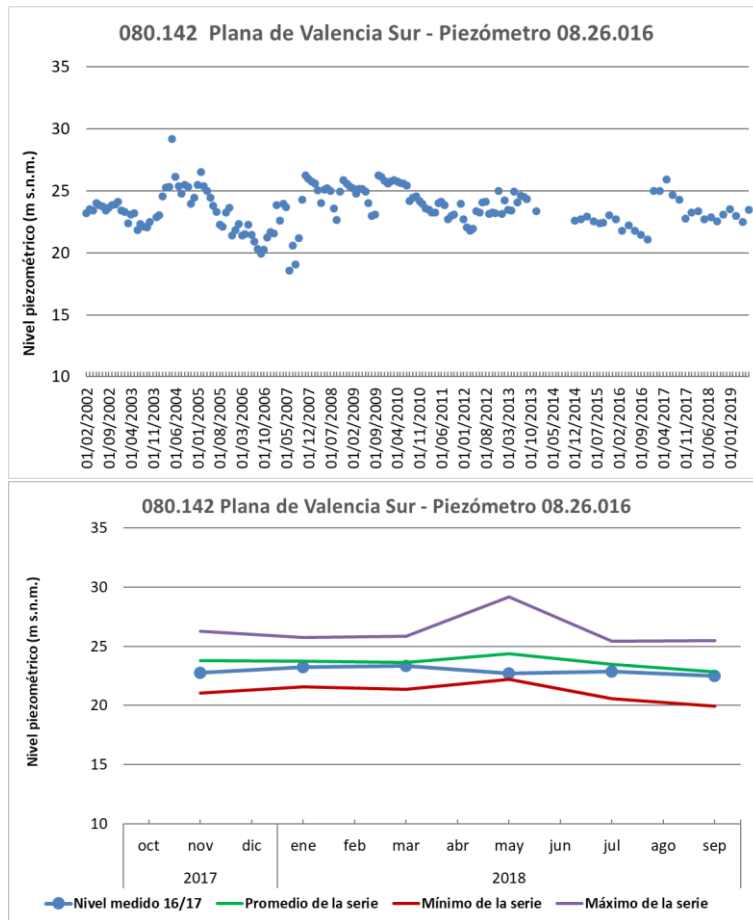


Figura 105. Piezometría en la masa de agua 080.142 Plana de Valencia Sur: serie histórica y año hidrológico 2018/19. Piezómetro 08.26.016.

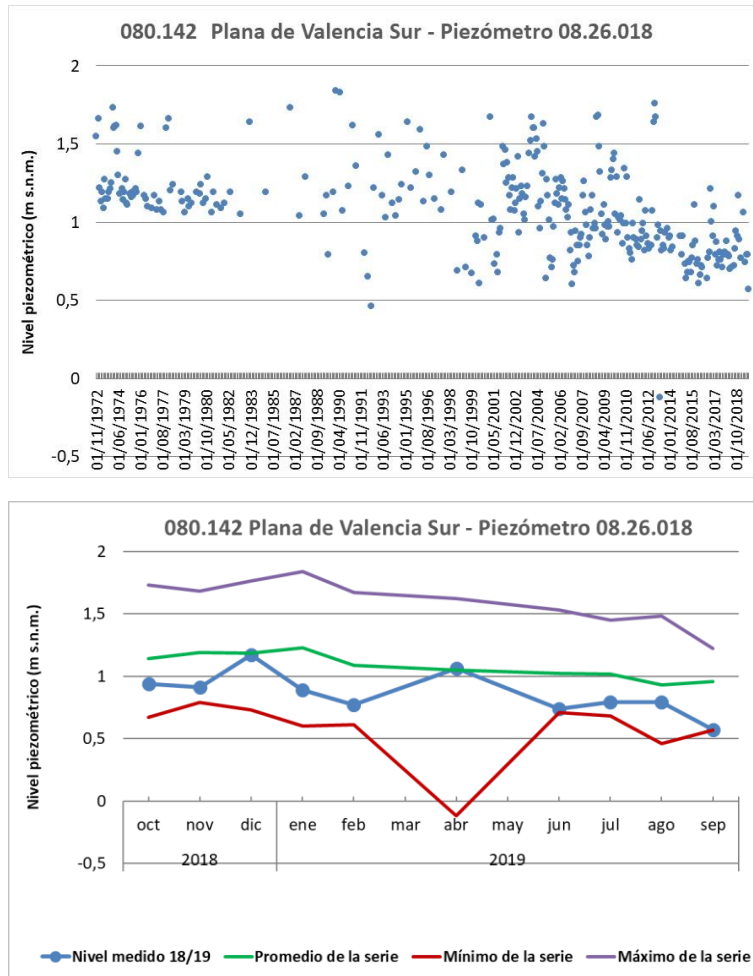


Figura 106. Piezometría en la masa de agua 080.142 Plana de Valencia Sur: serie histórica y año hidrológico 2018/19. Piezómetro 08.26.018.

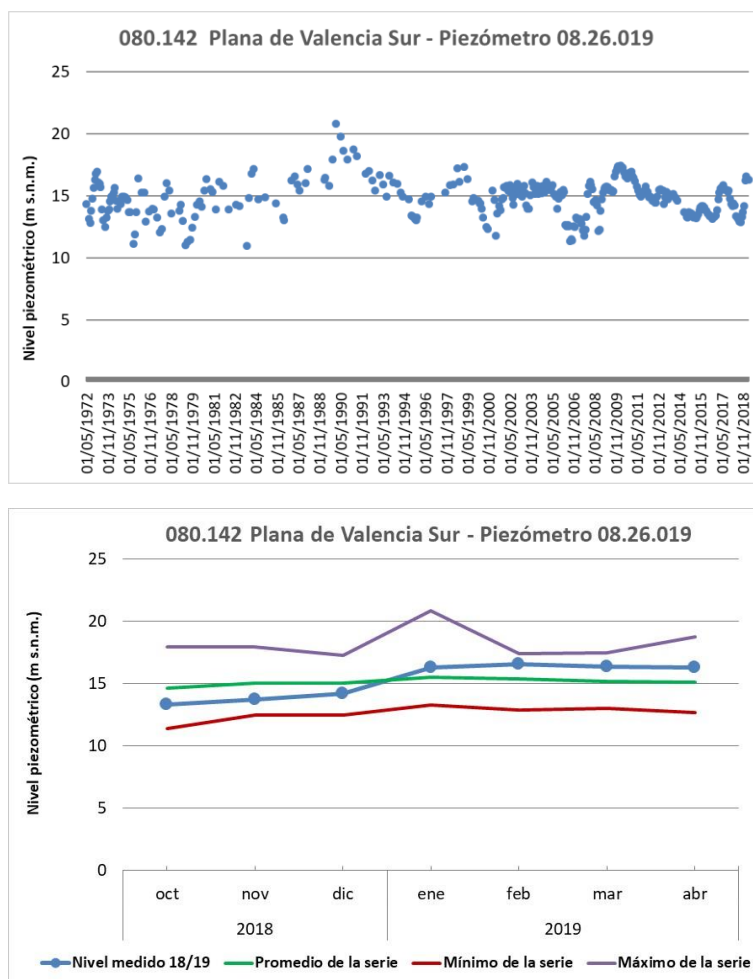


Figura 107. Piezometría en la masa de agua 080.142 Plana de Valencia Sur: serie histórica y año hidrológico 2018/19. Piezómetro 08.26.019.

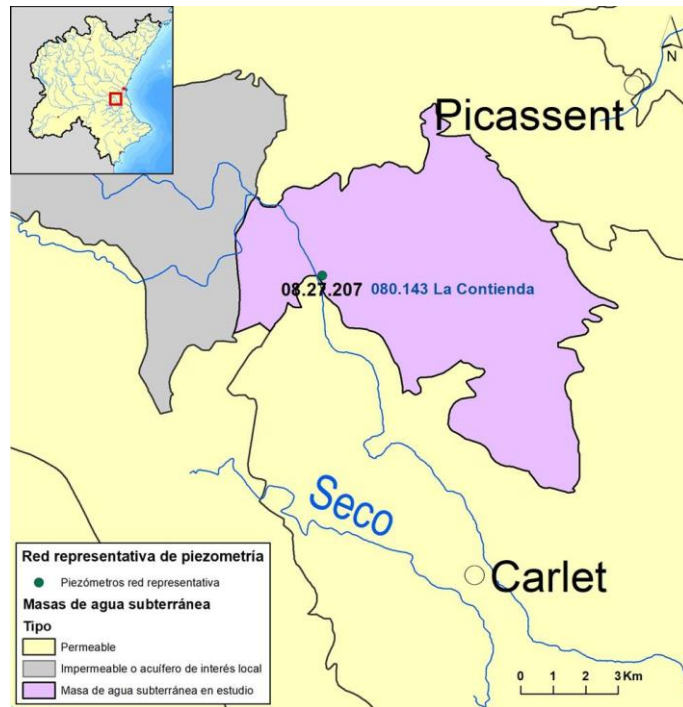


Figura 108. Red representativa en la masa de agua subterránea 080.143 La Contienda.

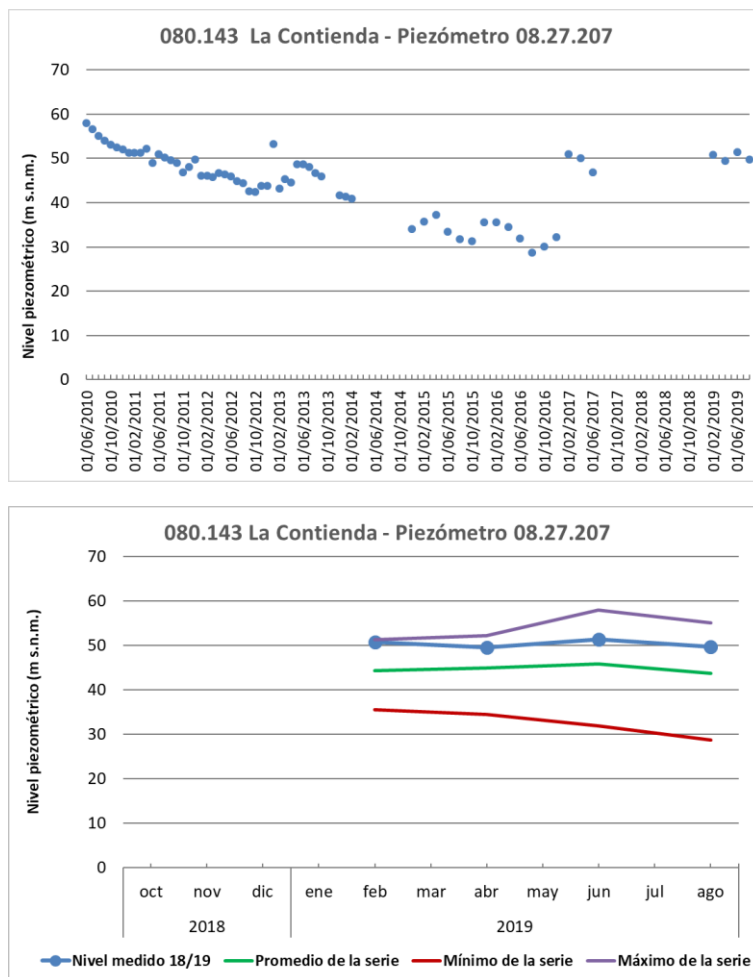


Figura 109. Piezometría en la masa de agua 080.143 La Contienda: serie histórica y año hidrológico 2018/19. Piezómetro 08.27.207.

Debido a una obstrucción en la tubería del piezómetro 08.27.207, no se pudo realizar mediciones de nivel desde julio de 2017 hasta febrero de 2019. Por lo tanto, no se dispone de información para evaluar su evolución en los cuatro primeros meses del año hidrológico 2018/19.

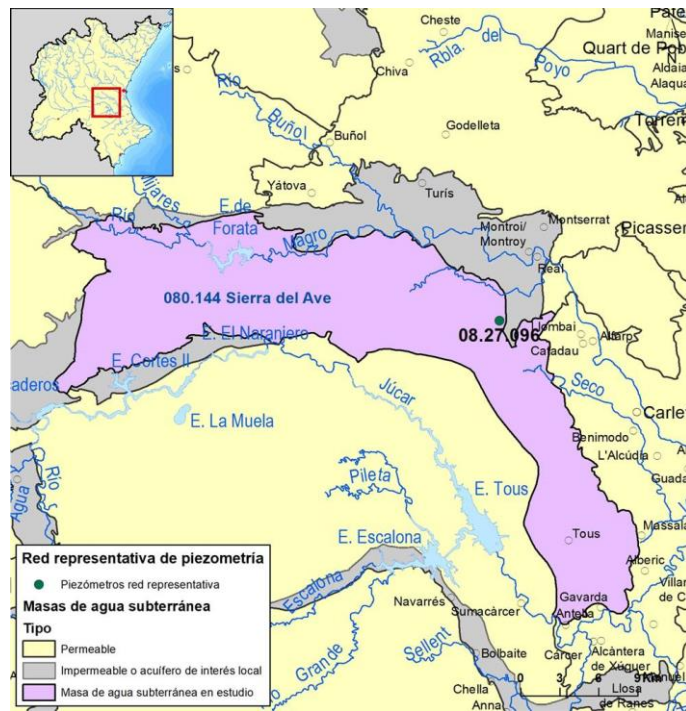


Figura 110. Red representativa en la masa de agua subterránea 080.144 Sierra del Ave.

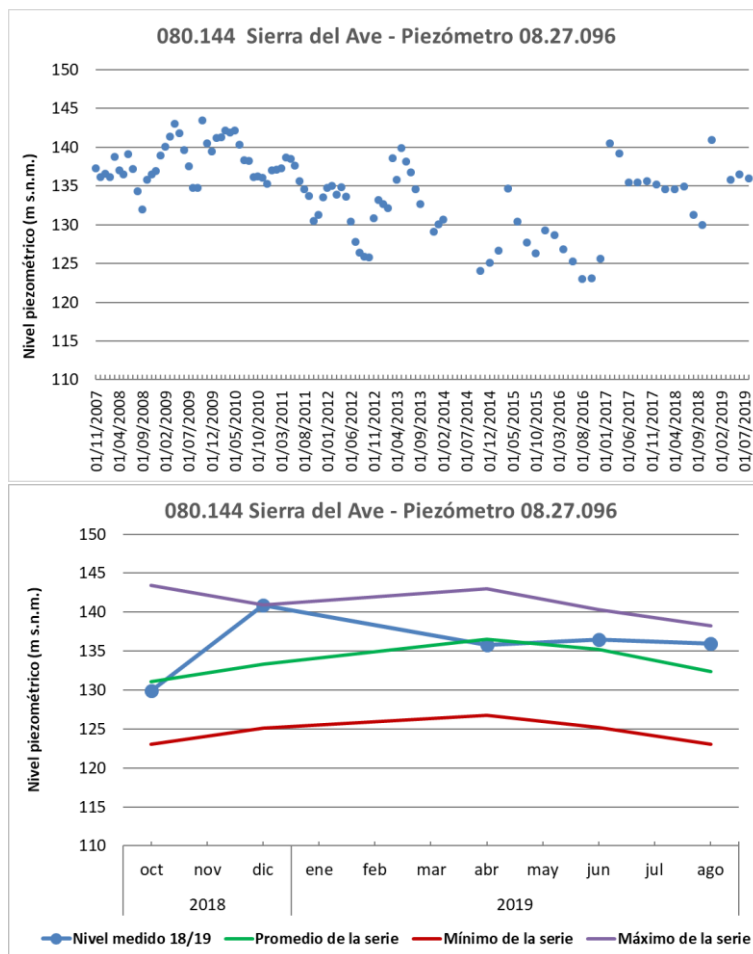


Figura 111. Piezometría en la masa de agua 080.144 Sierra del Ave: serie histórica y año hidrológico 2018/19. Piezómetro 08.27.096.

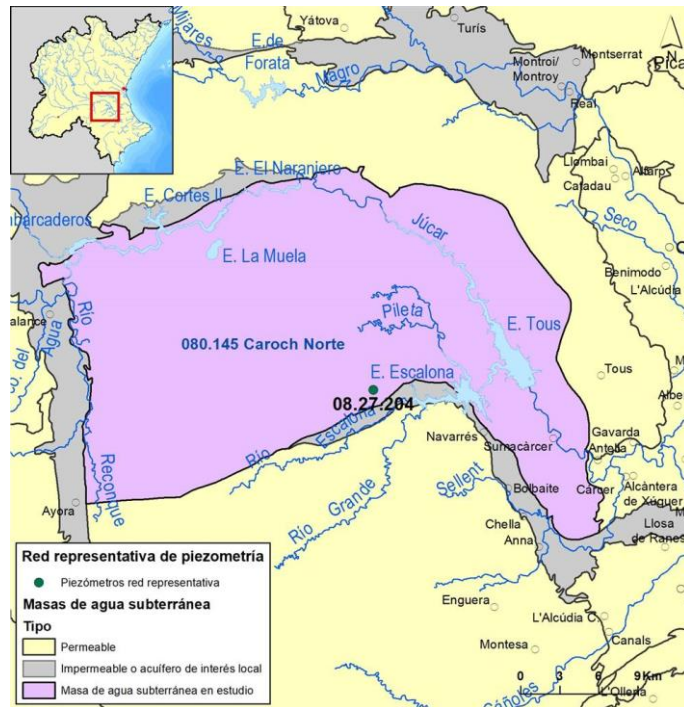


Figura 112. Red representativa en la masa de agua subterránea 080.145 Caroch Norte.

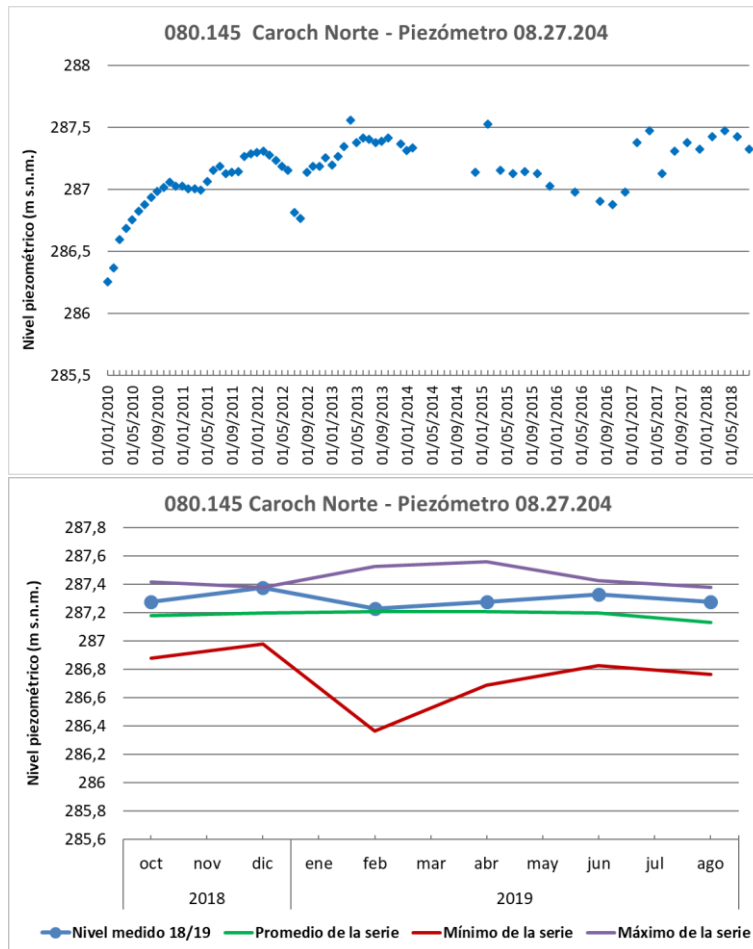


Figura 113. Piezometría en la masa de agua 080.145 Caroch Norte: serie histórica y año hidrológico 2018/19. Piezómetro 08.27.204.

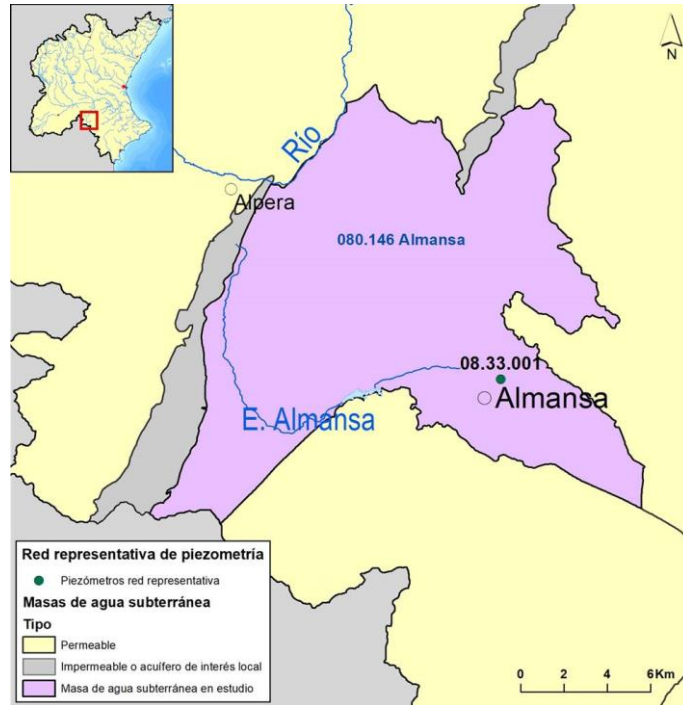


Figura 114. Red representativa en la masa de agua subterránea 080.146 Almansa.

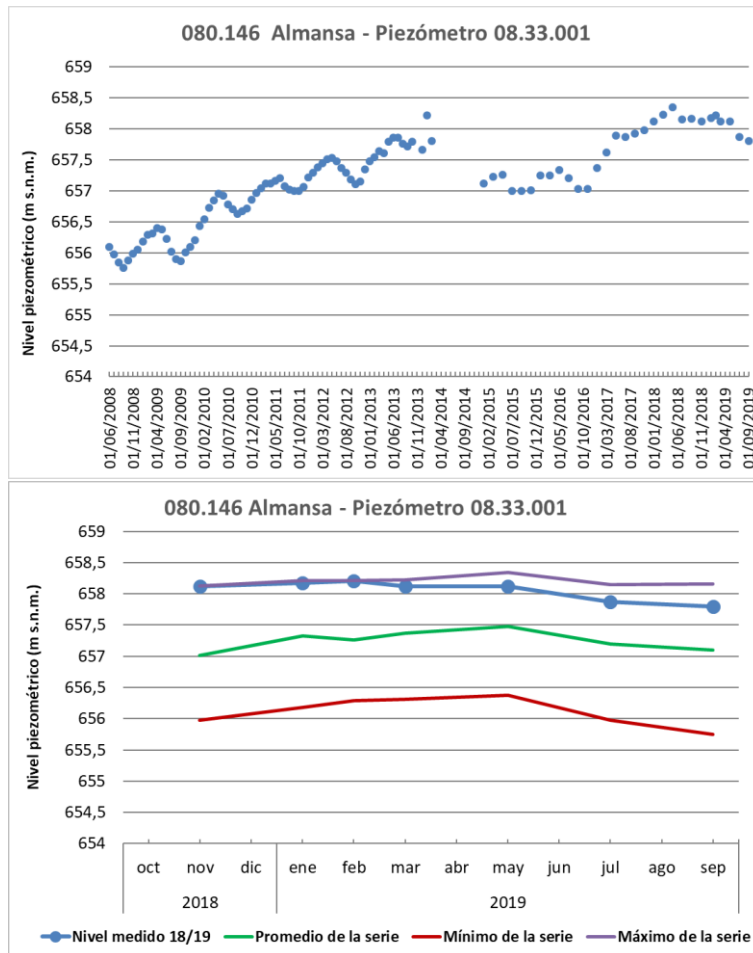


Figura 115. Piezometría en la masa de agua 080.146 Almansa: serie histórica y año hidrológico 2018/19. Piezómetro 08.33.001.

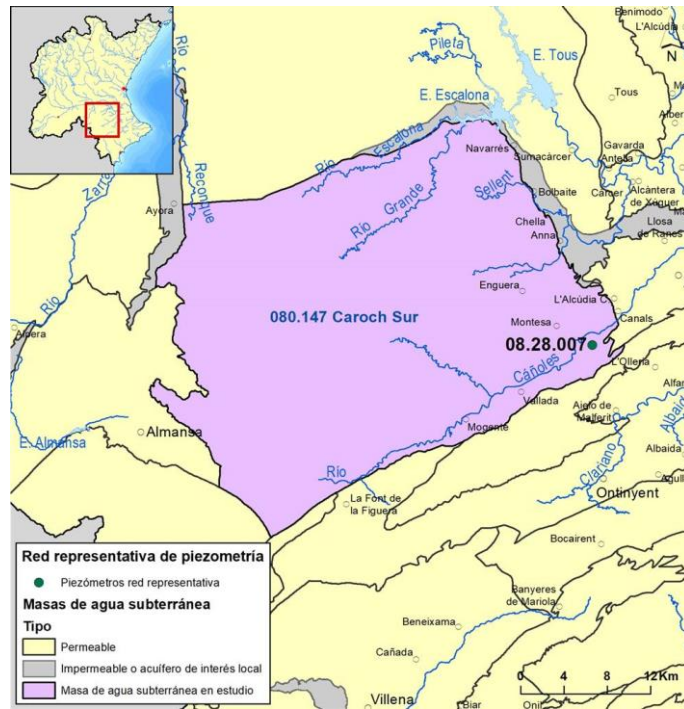


Figura 116. Red representativa en la masa de agua subterránea 080.147 Caroch Sur.

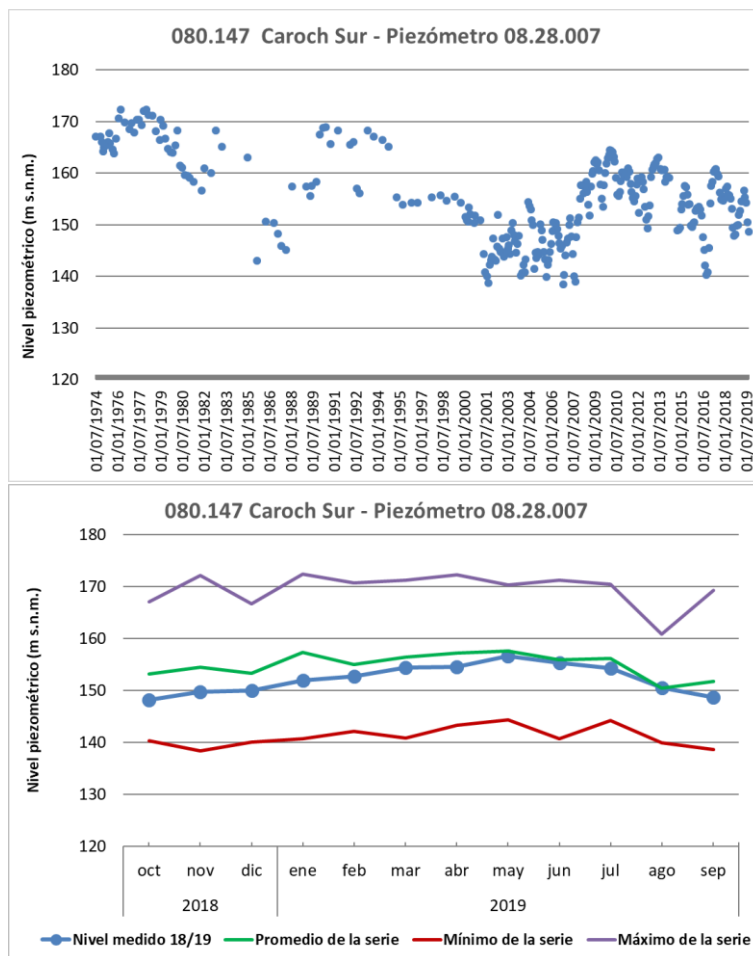


Figura 117. Piezometría en la masa de agua 080.147 Caroch Sur: serie histórica y año hidrológico 2018/19. Piezómetro 08.28.007.

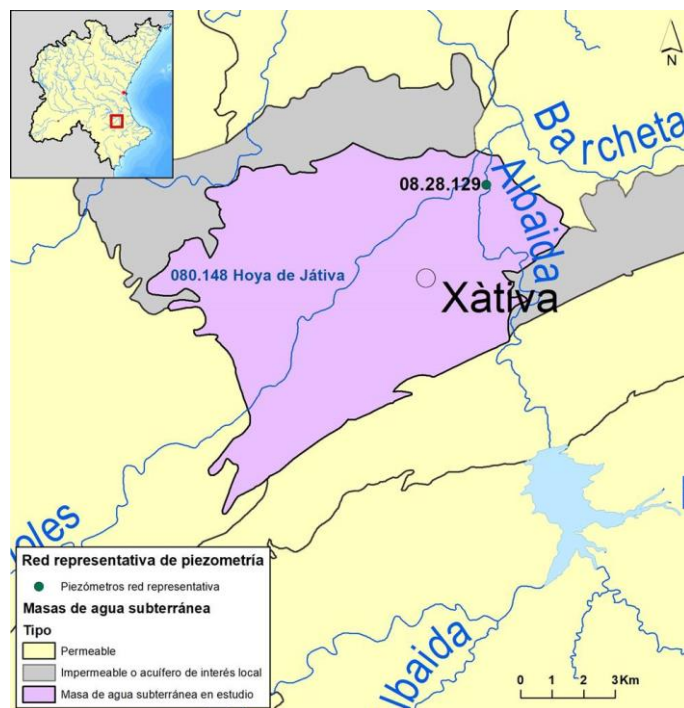


Figura 118. Red representativa en la masa de agua subterránea 080.148 Hoya de Játiva.

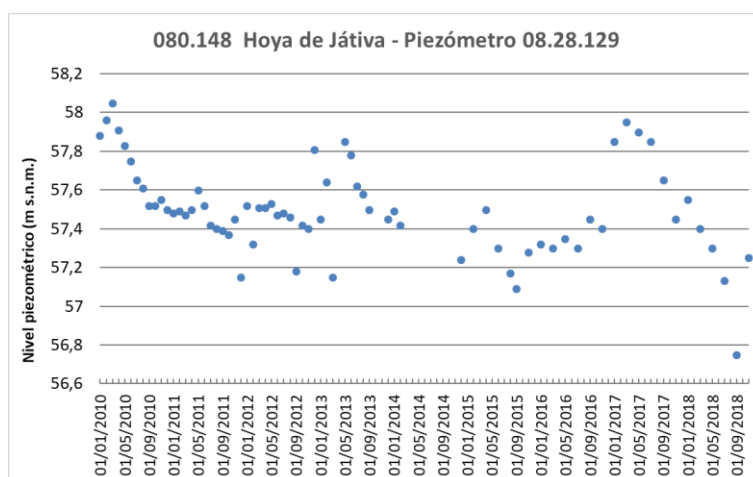


Figura 119. Piezometría en la masa de agua 080.148 Hoya de Játiva: serie histórica y año hidrológico 2018/19. Piezómetro 08.28.129.

No han podido realizarse mediciones en el punto 08.28.129 debido a problemas de acceso.

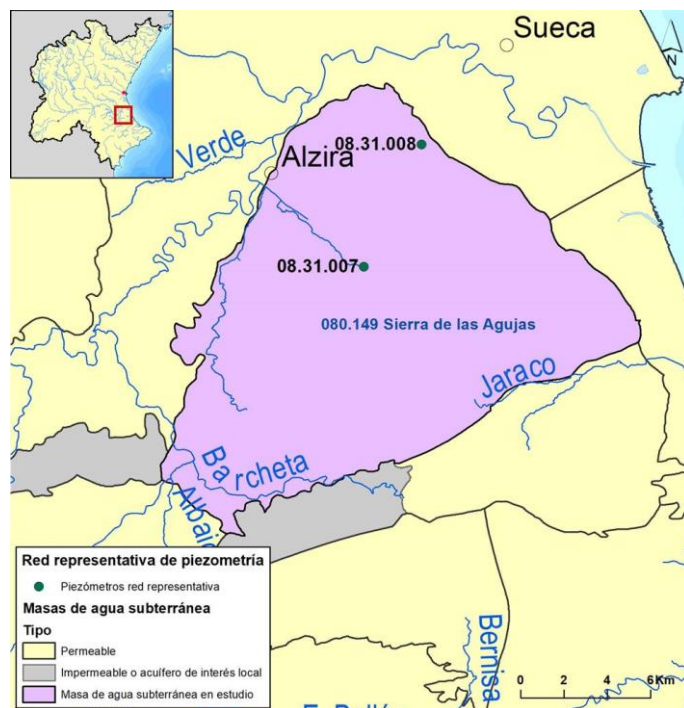


Figura 120. Red representativa en la masa de agua subterránea 080.149 Sierra de las Agujas.

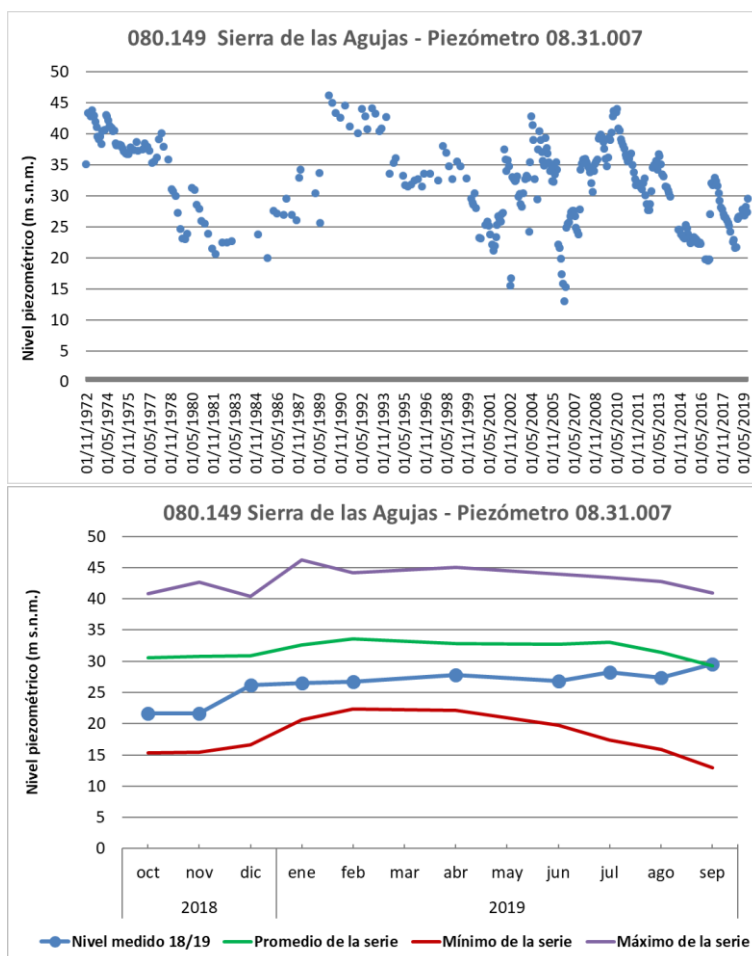


Figura 121. Piezometría en la masa de agua 080.149 Sierra de las Agujas: serie histórica y año hidrológico 2018/19. Piezómetro 08.31.007.

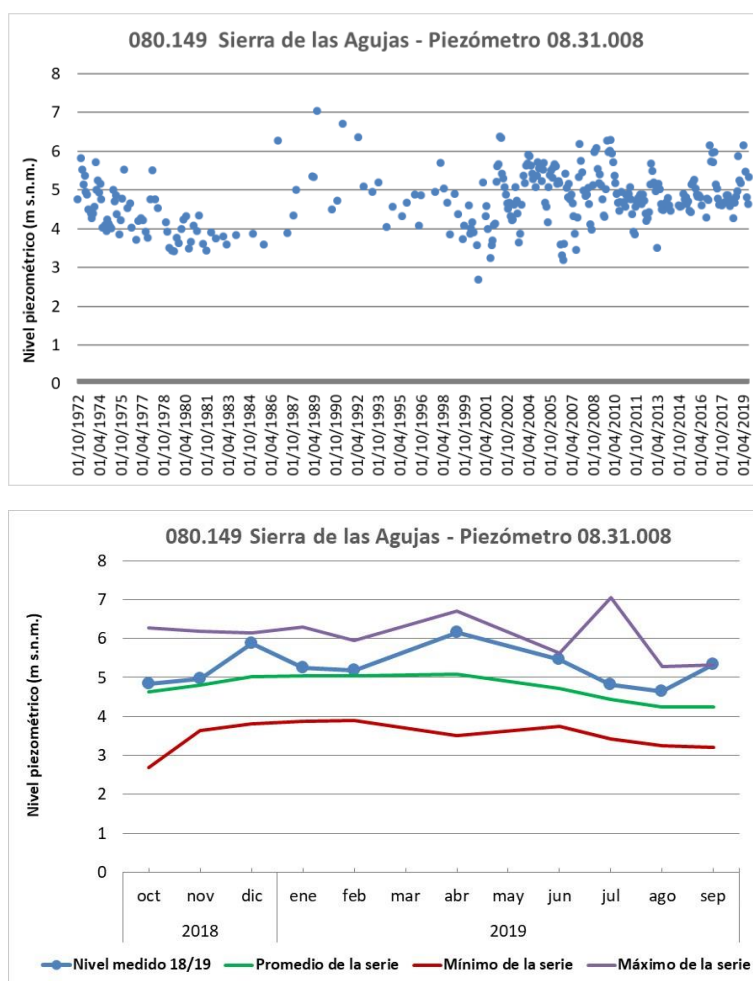


Figura 122. Piezometría en la masa de agua 080.149 Sierra de las Agujas: serie histórica y año hidrológico 2018/19. Piezómetro 08.31.008.



Figura 123. Red representativa en la masa de agua subterránea 080.150 Bárig.

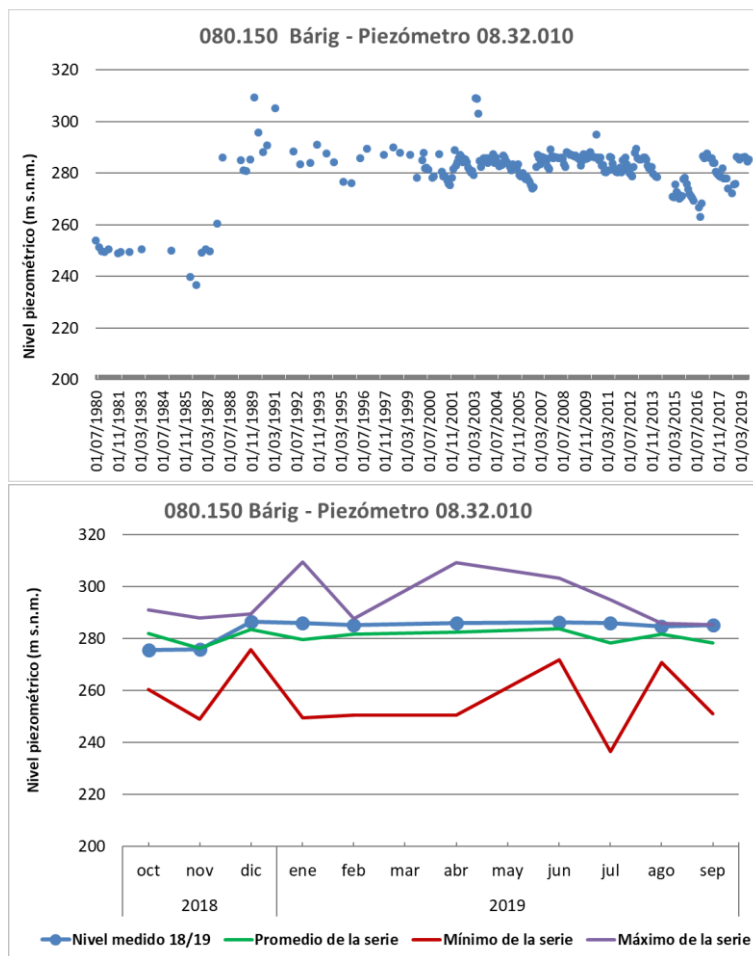


Figura 124. Piezometría en la masa de agua 080.150 Bárig: serie histórica y año hidrológico 2018/19. Piezómetro 08.32.010.

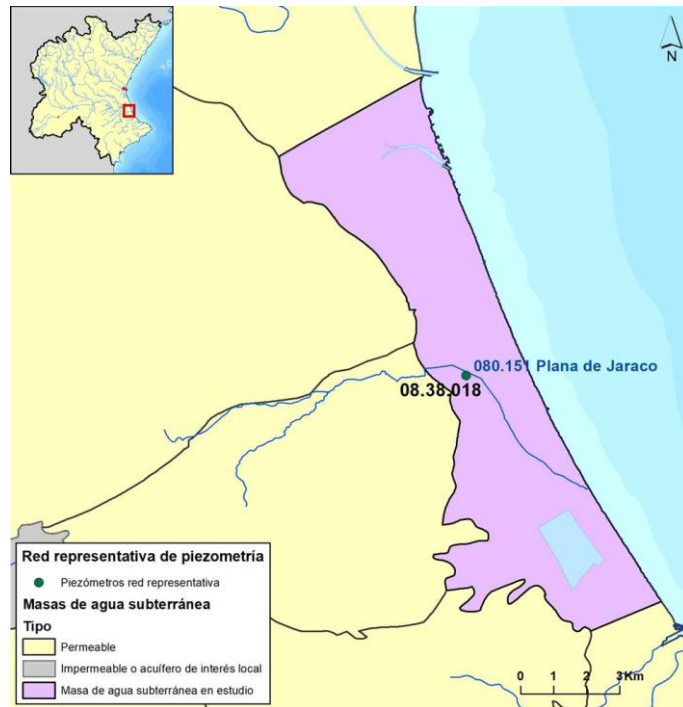


Figura 125. Red representativa en la masa de agua subterránea 080.151 Plana de Jaraco.

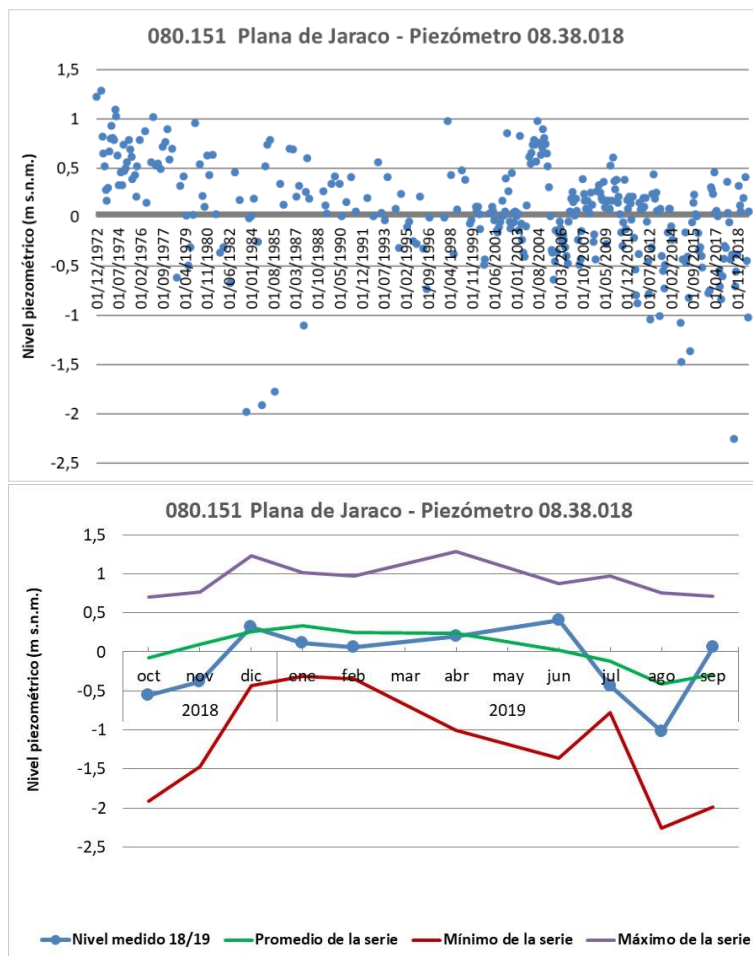


Figura 126. Piezometría en la masa de agua 080.151 Plana de Jaraco: serie histórica y año hidrológico 2018/19. Piezómetro 08.38.018.

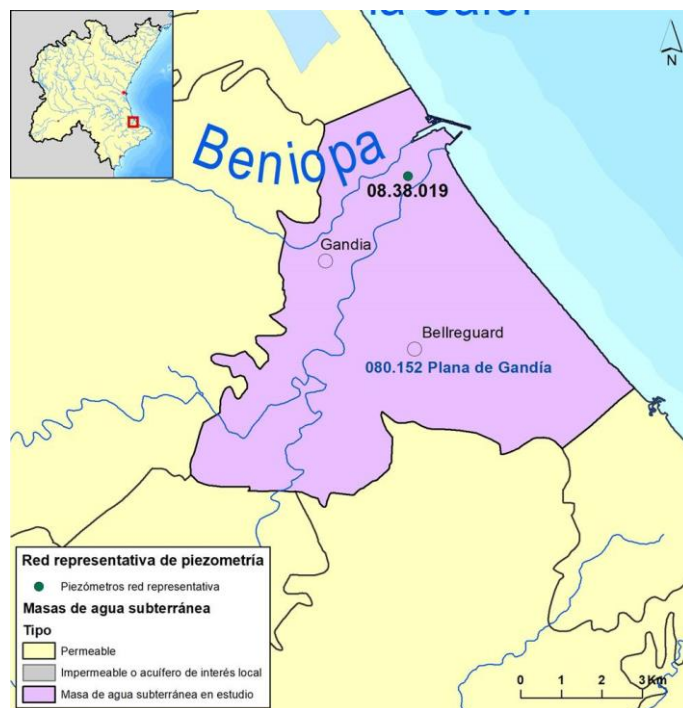


Figura 127. Red representativa en la masa de agua subterránea 080.152 Plana de Gandía.

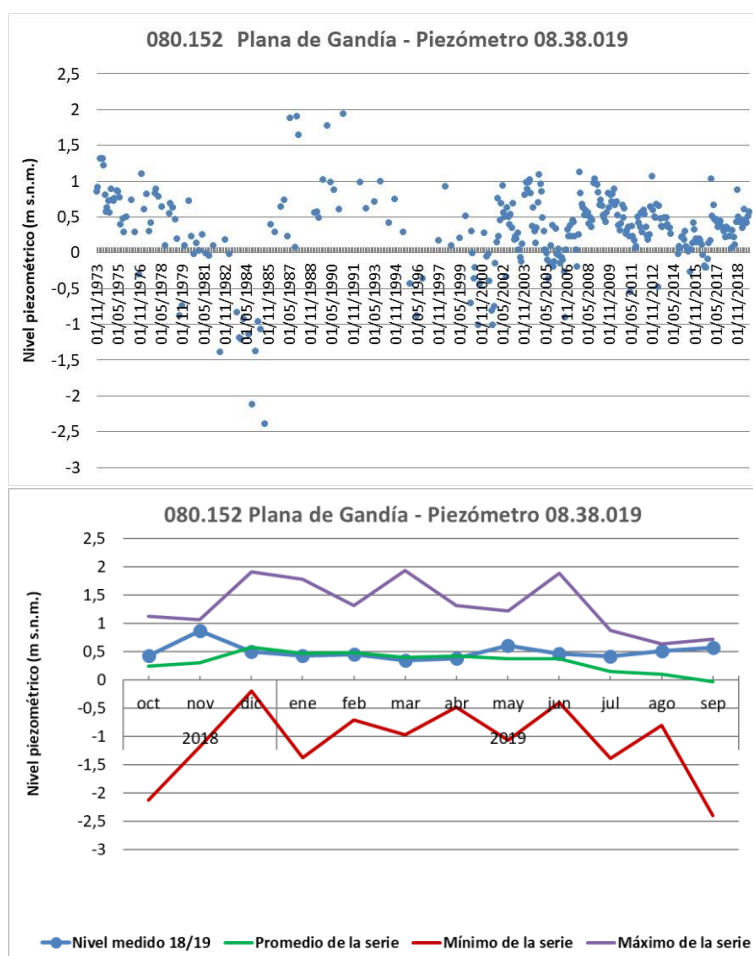


Figura 128. Piezometría en la masa de agua 080.152 Plana de Gandía: serie histórica y año hidrológico 2018/19. Piezómetro 08.38.019.

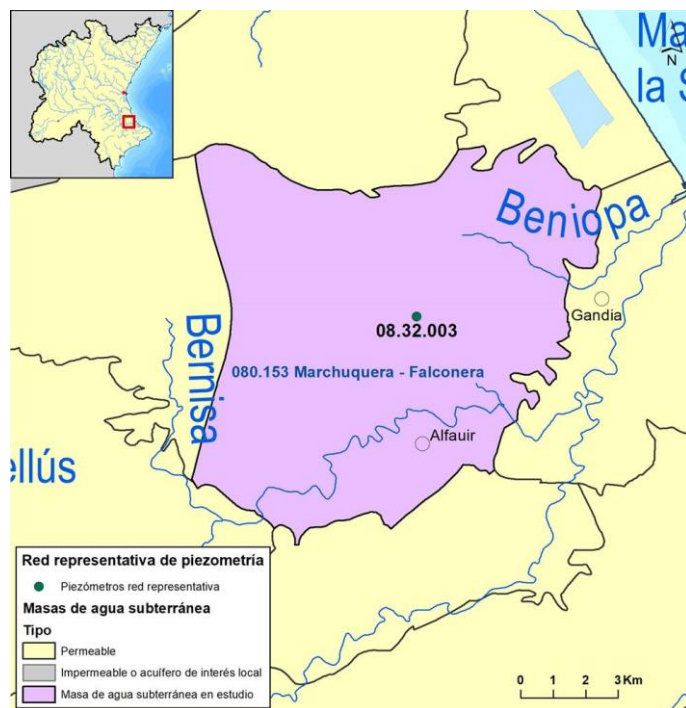


Figura 129. Red representativa en la masa de agua subterránea 080.153 Marchuquera-Falconera.

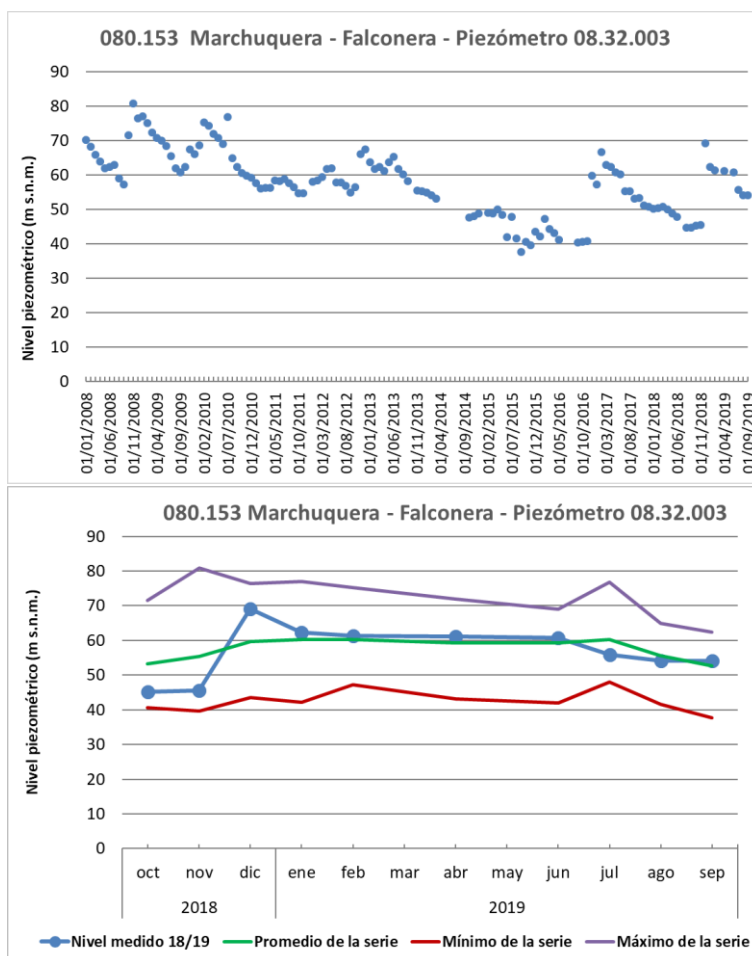


Figura 130. Piezometría en la masa de agua 080.153 Marchuquera-Falconera: serie histórica y año hidrológico 2018/19. Piezómetro 08.32.003.

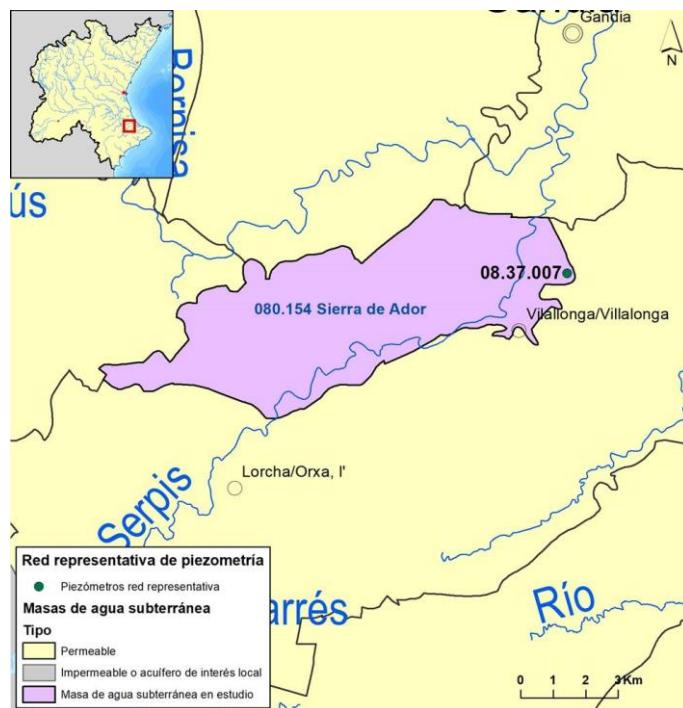


Figura 131. Red representativa en la masa de agua subterránea 080.154 Sierra de Ador.

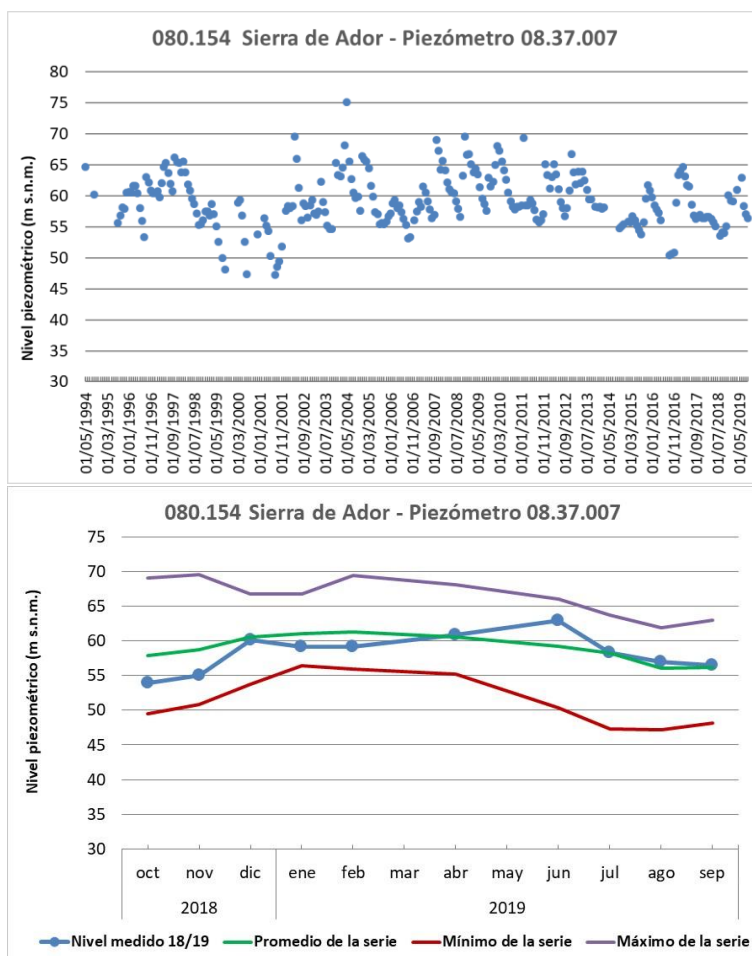


Figura 132. Piezometría en la masa de agua 080.154 Sierra de Ador: serie histórica y año hidrológico 2018/19. Piezómetro 08.37.007.

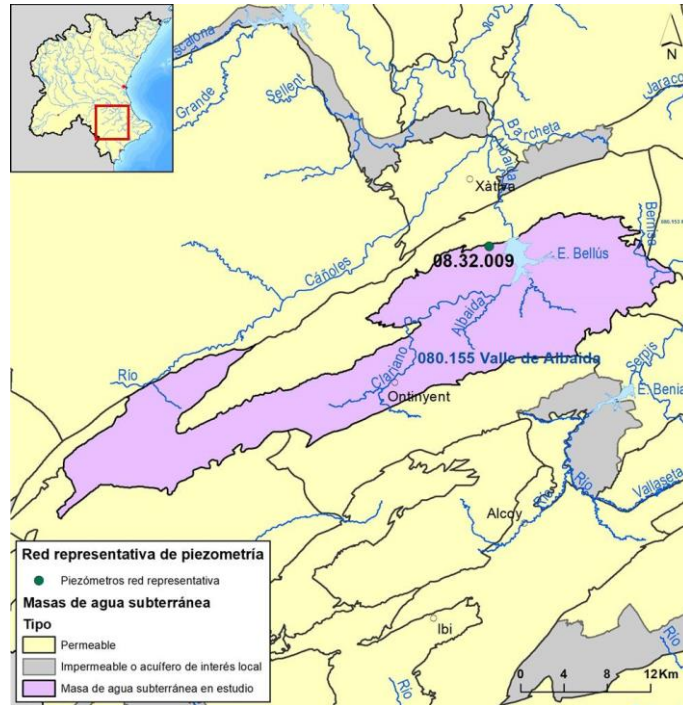


Figura 133. Red representativa en la masa de agua subterránea 080.155 Valle de Albaida.

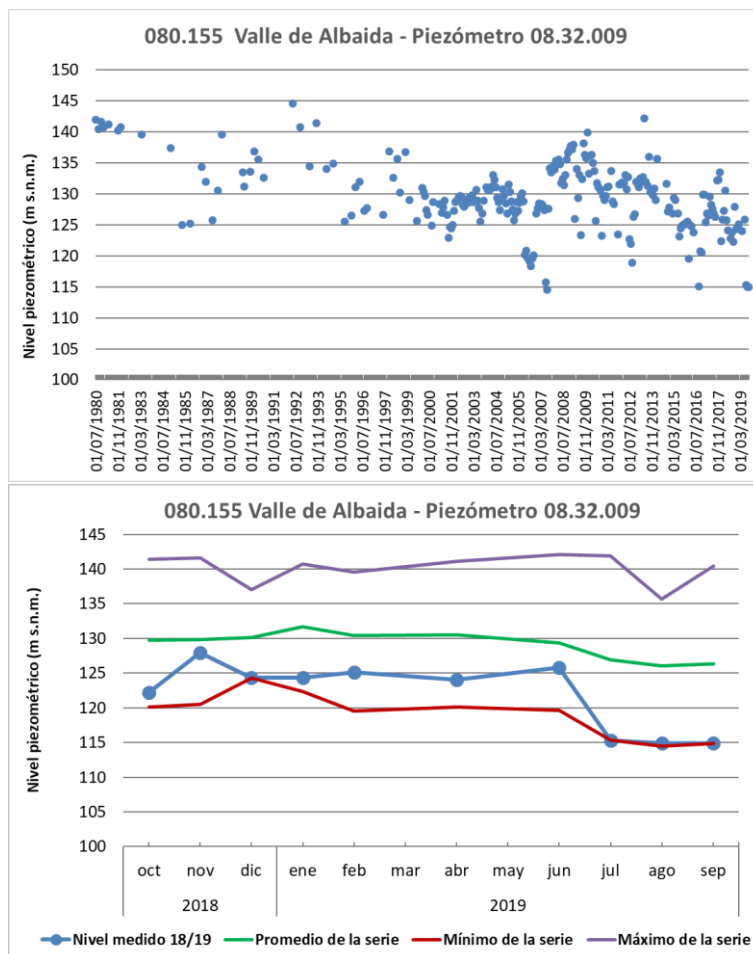


Figura 134. Piezometría en la masa de agua 080.155 Valle de Albaida: serie histórica y año hidrológico 2018/19. Piezómetro 08.32.009.

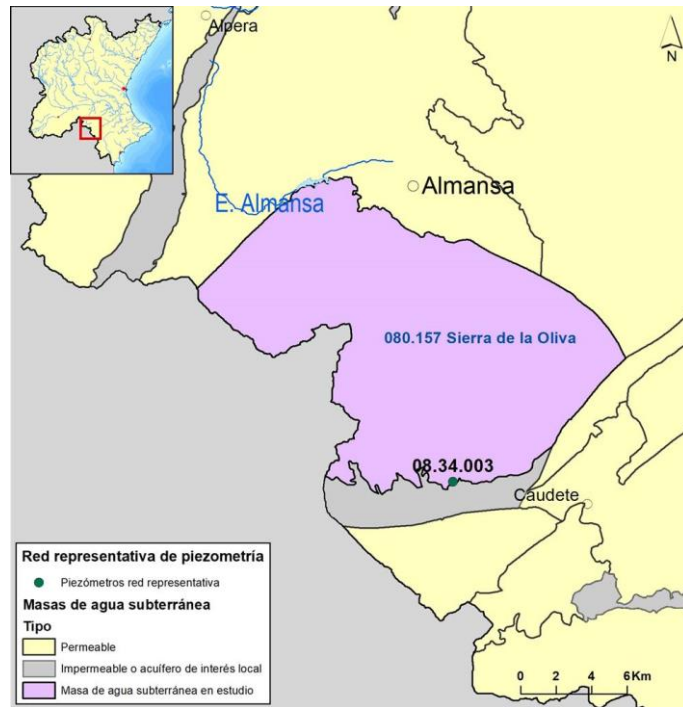


Figura 135. Red representativa en la masa de agua subterránea 080.157 Sierra de la Oliva.

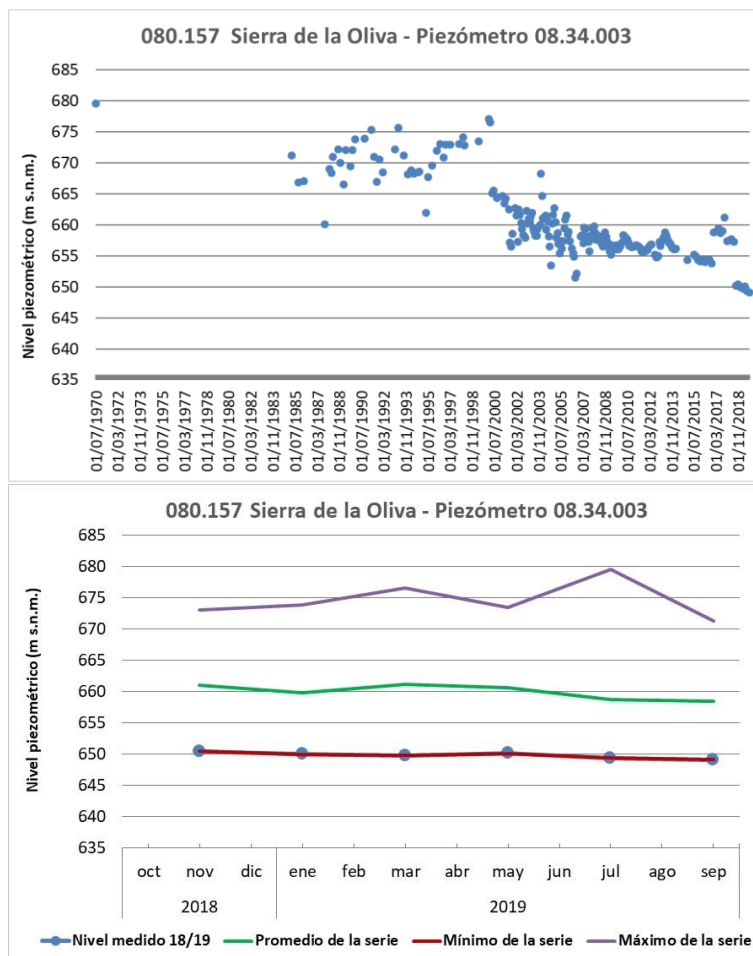


Figura 136. Piezometría en la masa de agua 080.157 Sierra de la Oliva: serie histórica y año hidrológico 2018/19. Piezómetro 08.34.003.

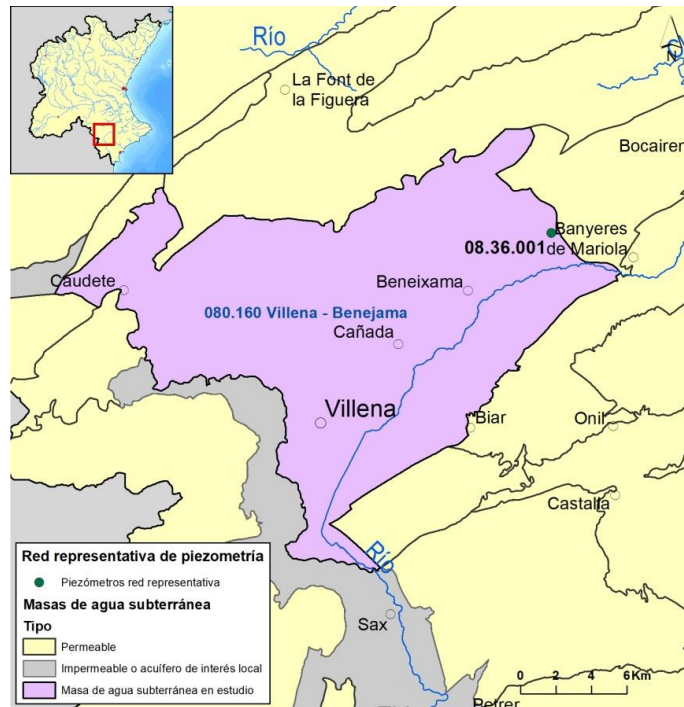


Figura 137. Red representativa en la masa de agua subterránea 080.160 Villena-Benejama.

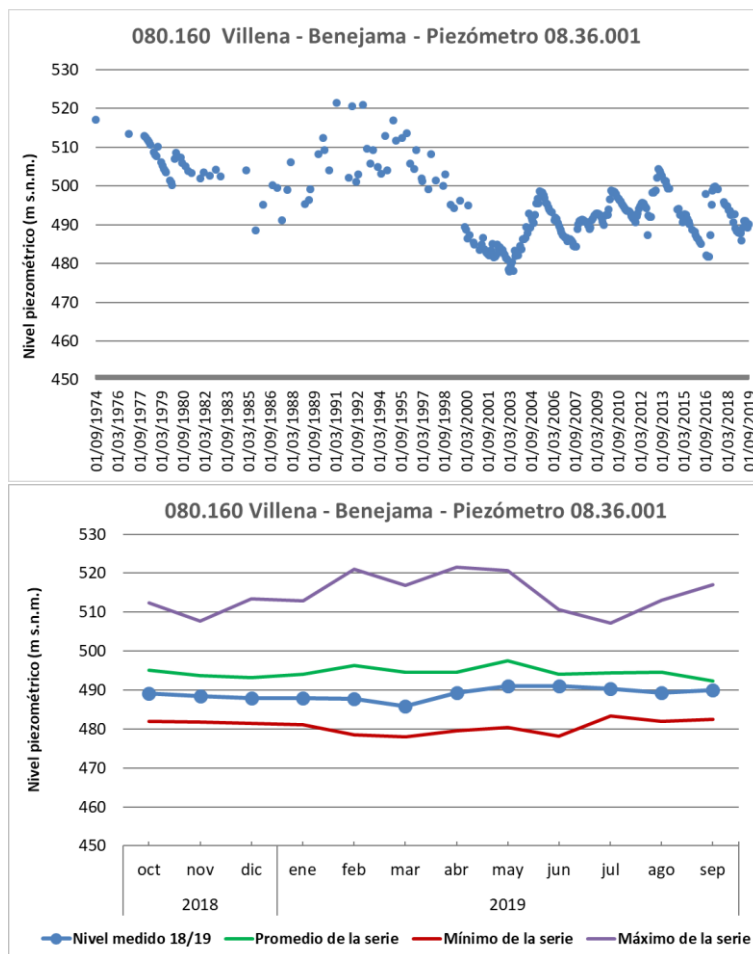


Figura 138. Piezometría en la masa de agua 080.160 Villena-Benejama: serie histórica y año hidrológico 2018/19. Piezómetro 08.36.001.

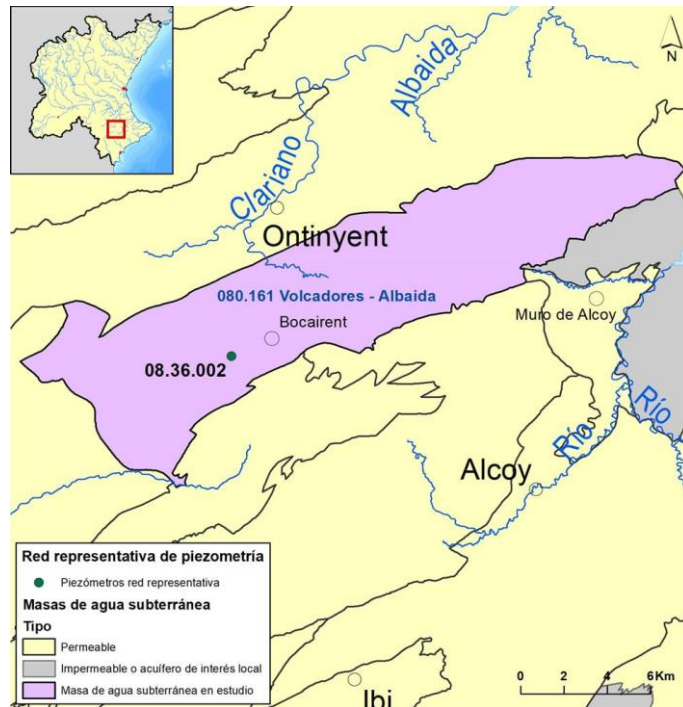


Figura 139. Red representativa en la masa de agua subterránea 080.161 Volcadores-Albaida.

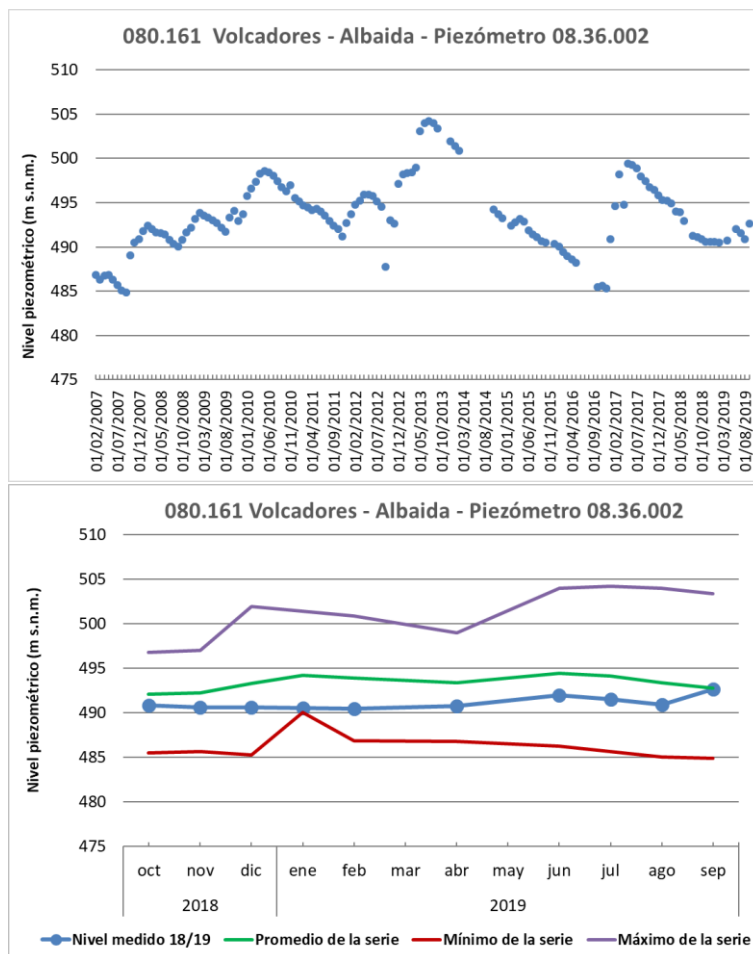


Figura 140. Piezometría en la masa de agua 080.161 Volcadores-Albaida: serie histórica y año hidrológico 2018/19. Piezómetro 08.36.002.

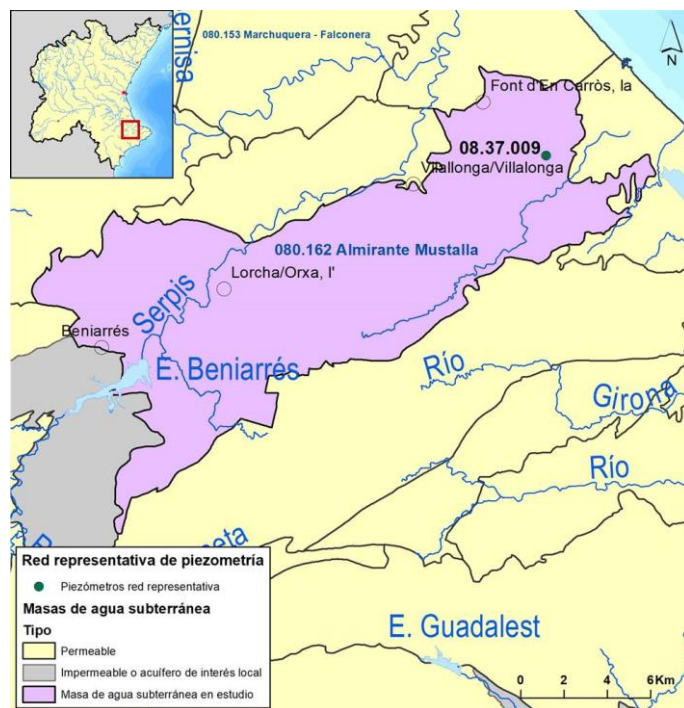


Figura 141. Red representativa en la masa de agua subterránea 080.162 Almirante-Mustalla.

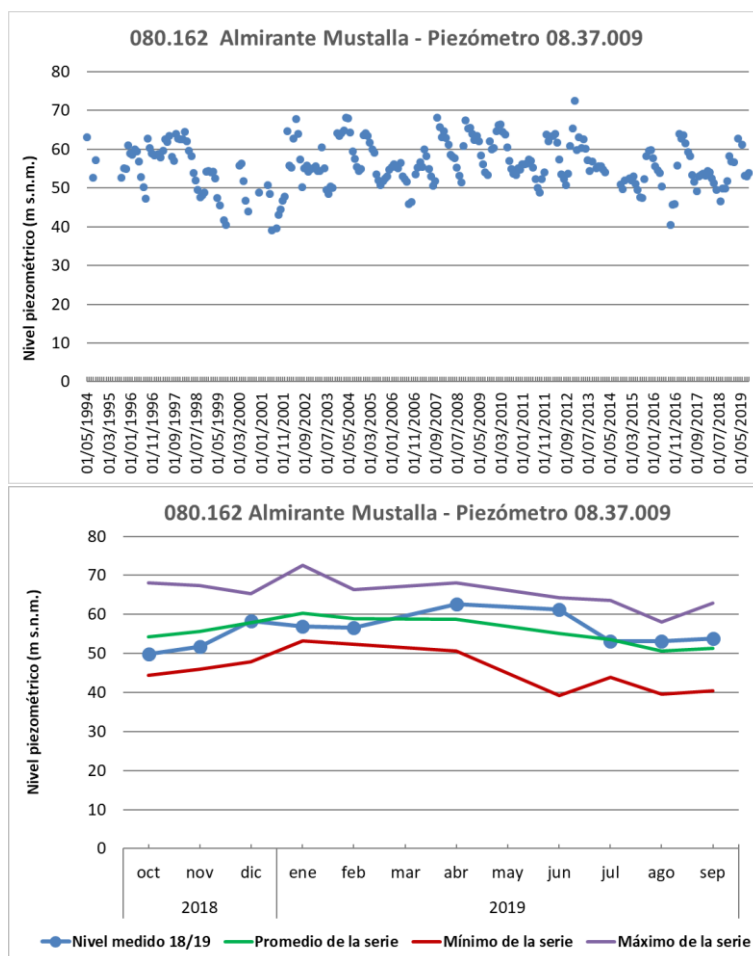


Figura 142. Piezometría en la masa de agua 080.162 Almirante-Mustalla: serie histórica y año hidrológico 2018/19. Piezómetro 08.37.009.



Figura 143. Red representativa en la masa de agua subterránea 080.164 Ondara-Denia.

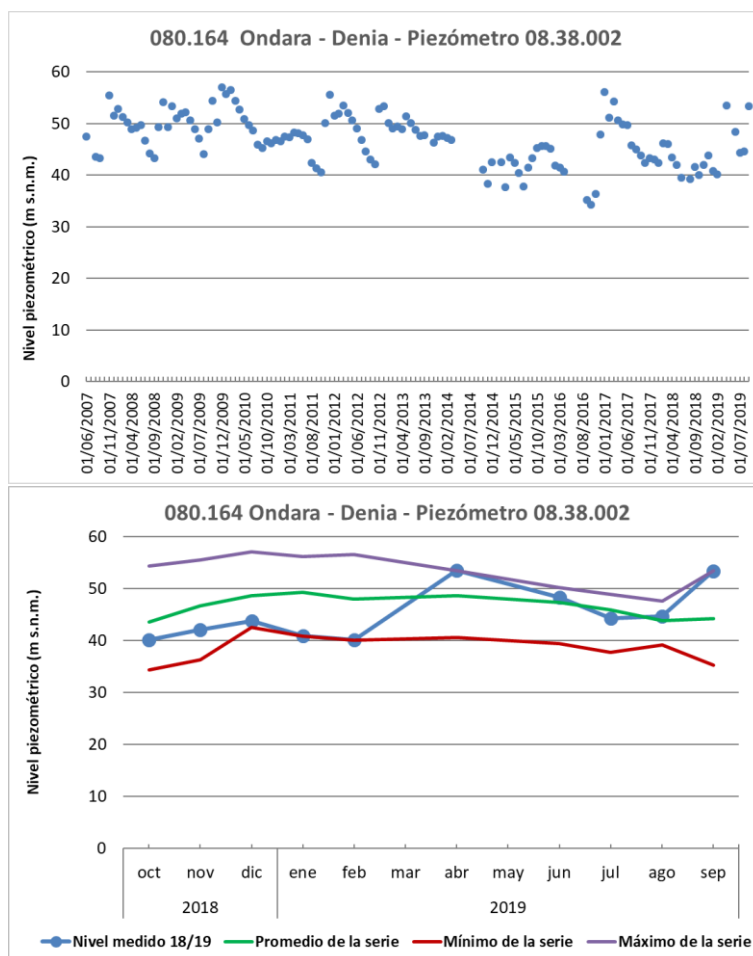


Figura 144. Piezometría en la masa de agua 080.164 Ondara-Denia: serie histórica y año hidrológico 2018/19. Piezómetro 08.38.002.

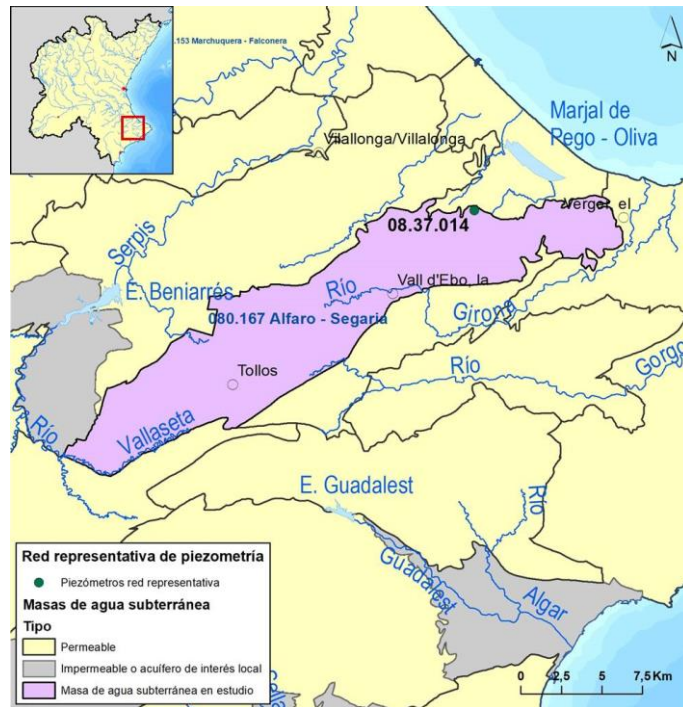


Figura 145. Red representativa en la masa de agua subterránea 080.167 Alfaro-Segaria.

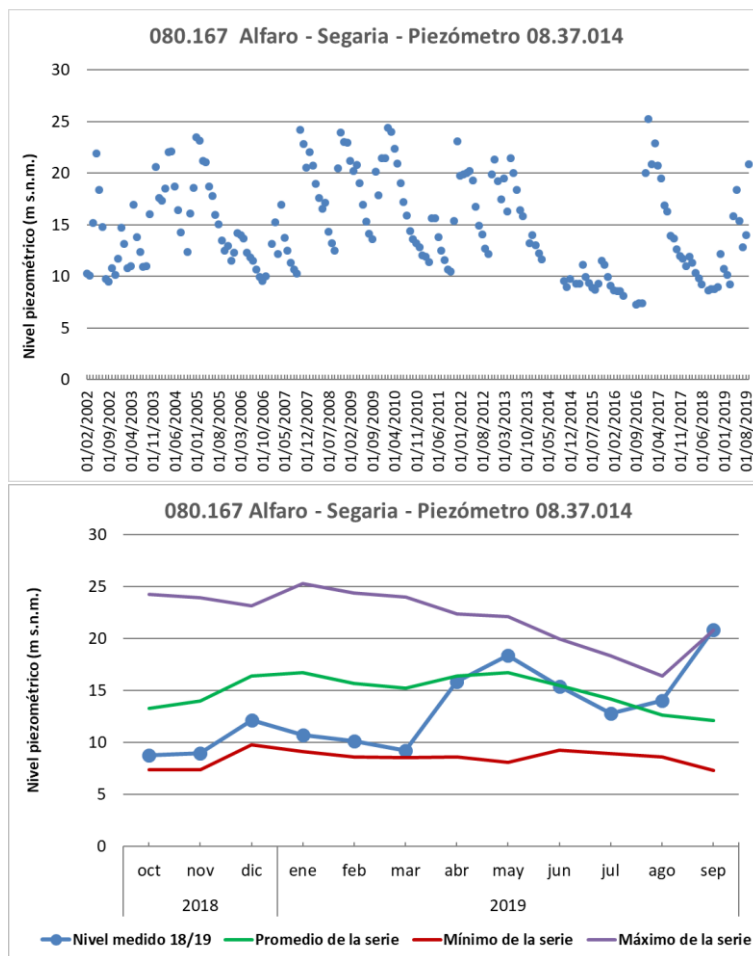


Figura 146. Piezometría en la masa de agua 080.167 Alfaro-Segaria: serie histórica y año hidrológico 2018/19. Piezómetro 08.37.014.

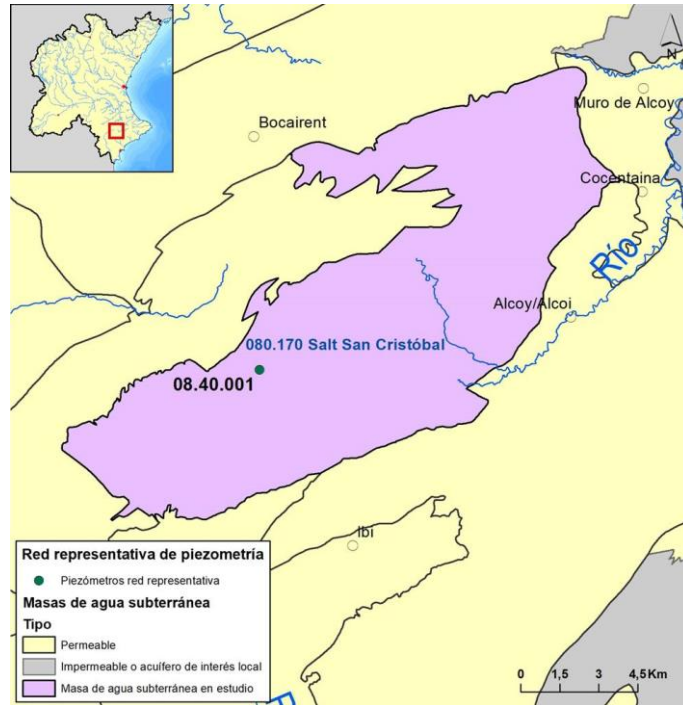


Figura 147. Red representativa en la masa de agua subterránea 080.170 Salt San Cristóbal.

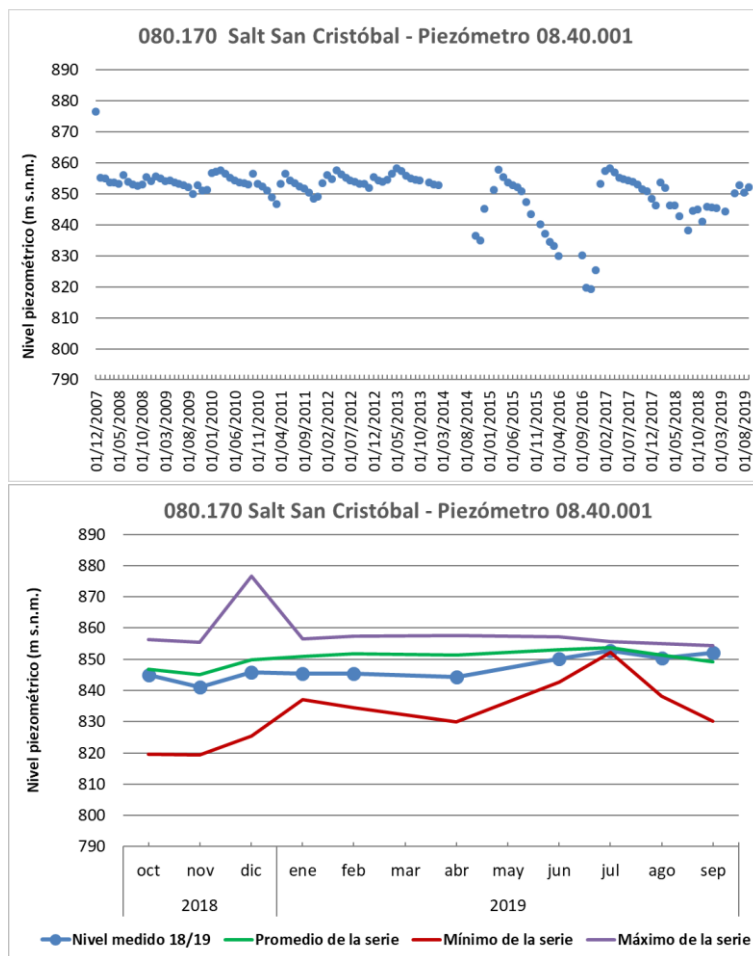


Figura 148. Piezometría en la masa de agua 080.170 Salt San Cristóbal: serie histórica y año hidrológico 2018/19. Piezómetro 08.40.001.

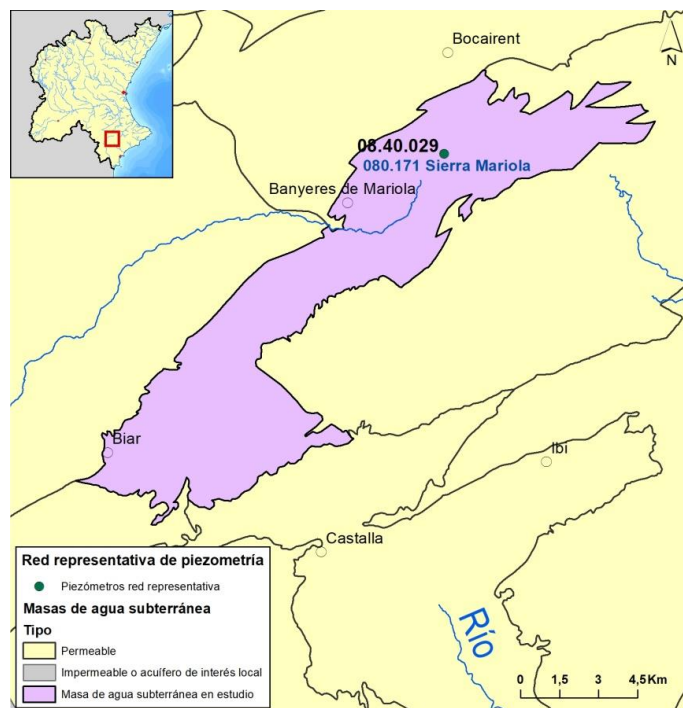


Figura 149. Red representativa en la masa de agua subterránea 080.171 Sierra Mariola.

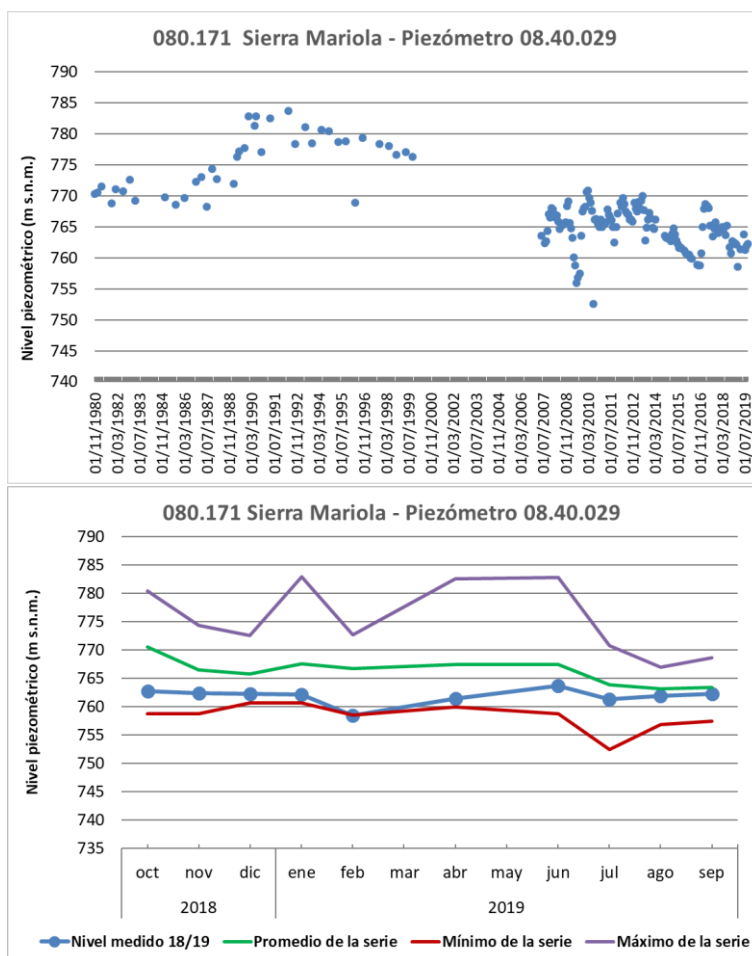


Figura 150. Piezometría en la masa de agua 080.171 Sierra Mariola: serie histórica y año hidrológico 2018/19. Piezómetro 08.40.029.

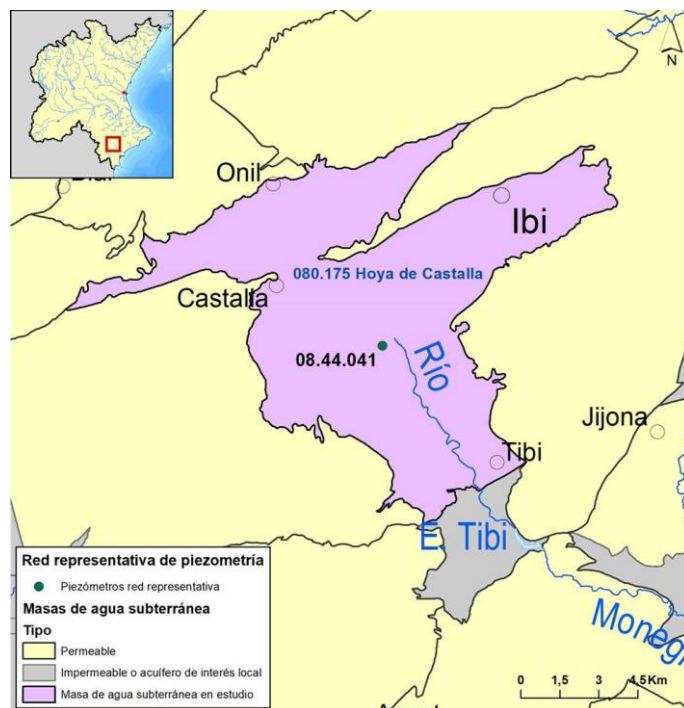


Figura 151. Red representativa en la masa de agua subterránea 080.175 Hoya de Castalla.

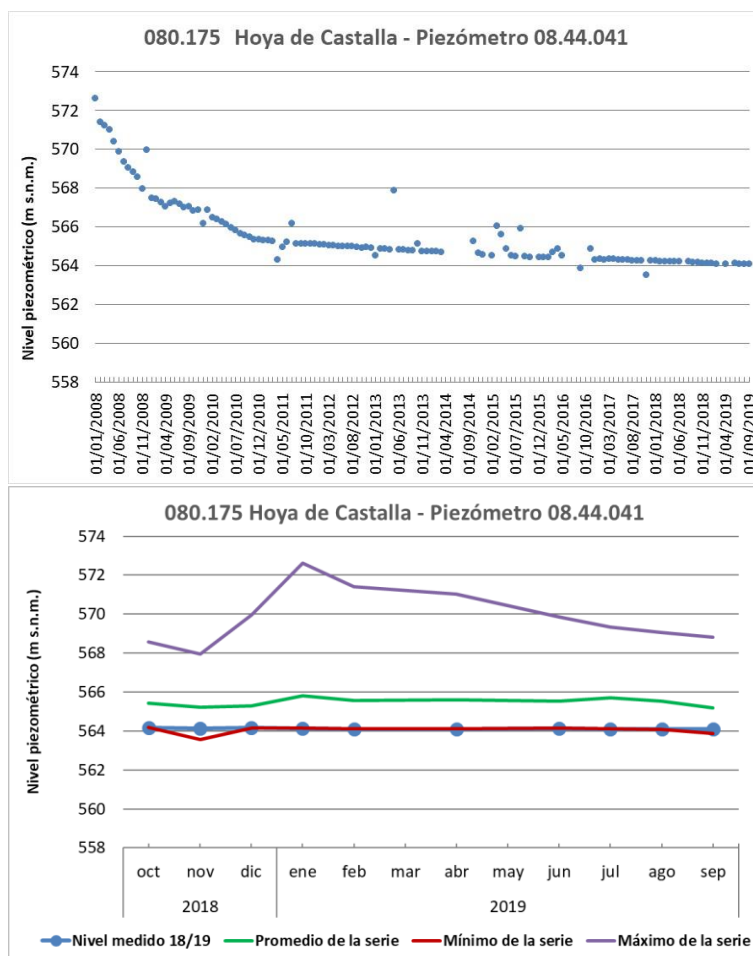


Figura 152. Piezometría en la masa de agua 080.175 Hoya de Castalla: serie histórica y año hidrológico 2018/19. Piezómetro 08.44.041.

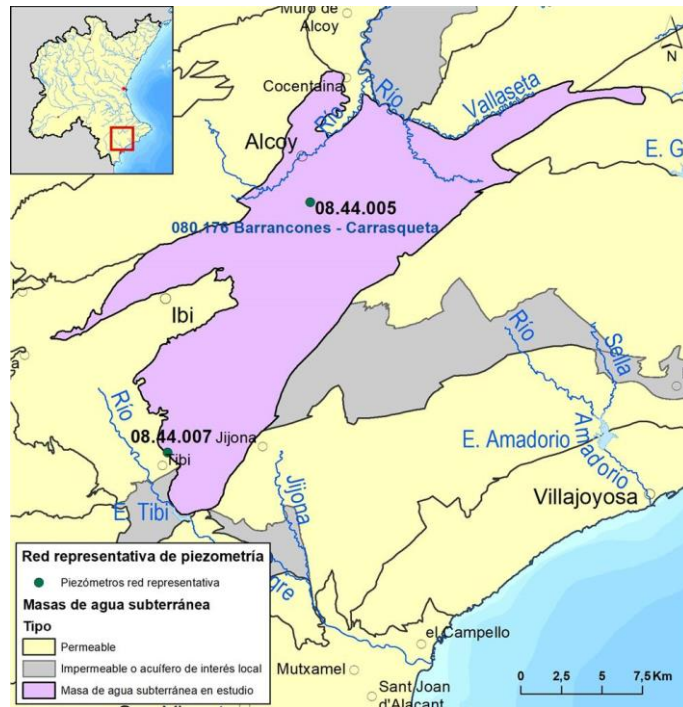


Figura 153. Red representativa en la masa de agua subterránea 080.176 Barrancones-Carrasqueta.

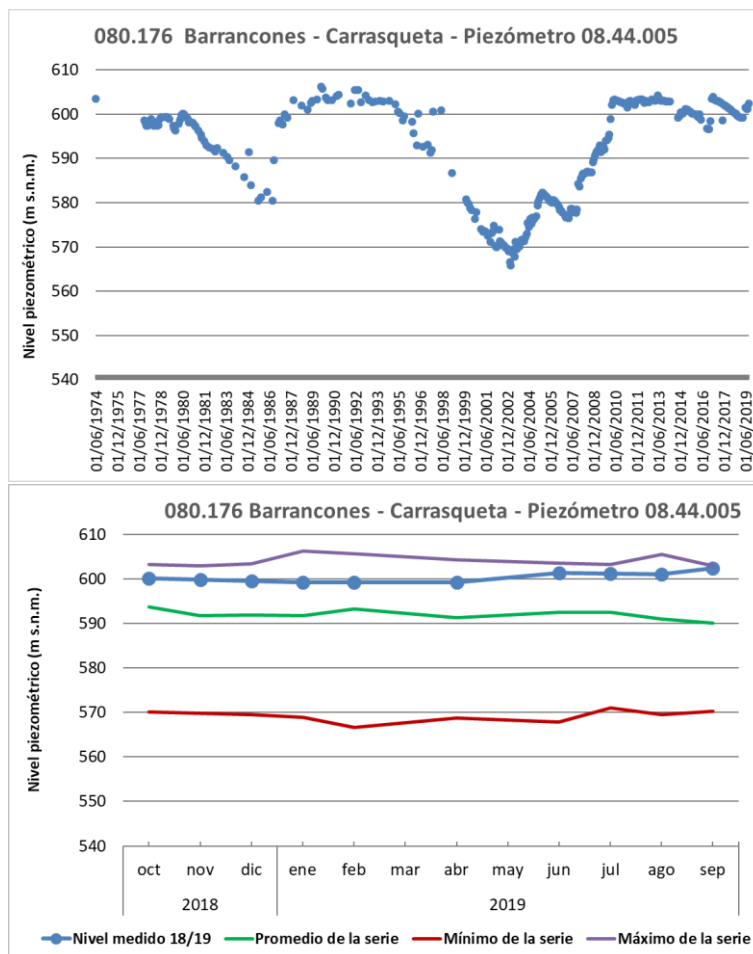


Figura 154. Piezometría en la masa de agua 080.176 Barrancones-Carrasqueta: serie histórica y año hidrológico 2018/19. Piezómetro 08.44.005.

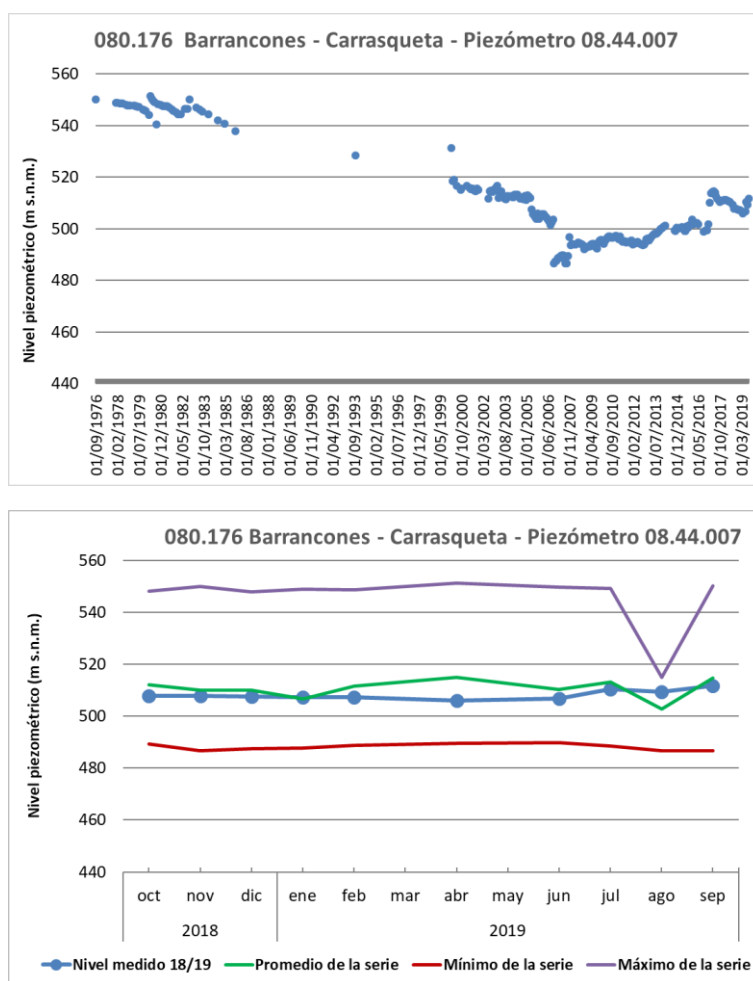


Figura 155. Piezometría en la masa de agua 080.176 Barrancones-Carrasqueta: serie histórica y año hidrológico 2018/19. Piezómetro 08.44.007.

Destacar que, en el gráfico anterior se observa un pico descendente en el dato de promedio y máximo calculado para el mes de agosto en el piezómetro 08.44.007. Esto es debido a que, pese a disponer de una serie larga de medidas (desde los años 70), para el mes de agosto en concreto no hay datos disponibles hasta el año 2001. En este punto ha habido un descenso del nivel muy acusado, y al no disponer de medidas para los años en los que los niveles piezométricos eran más elevados (años 70 u 80), el máximo calculado para el mes de agosto es inferior al resto de meses, para los que hay datos históricos de nivel más elevados.

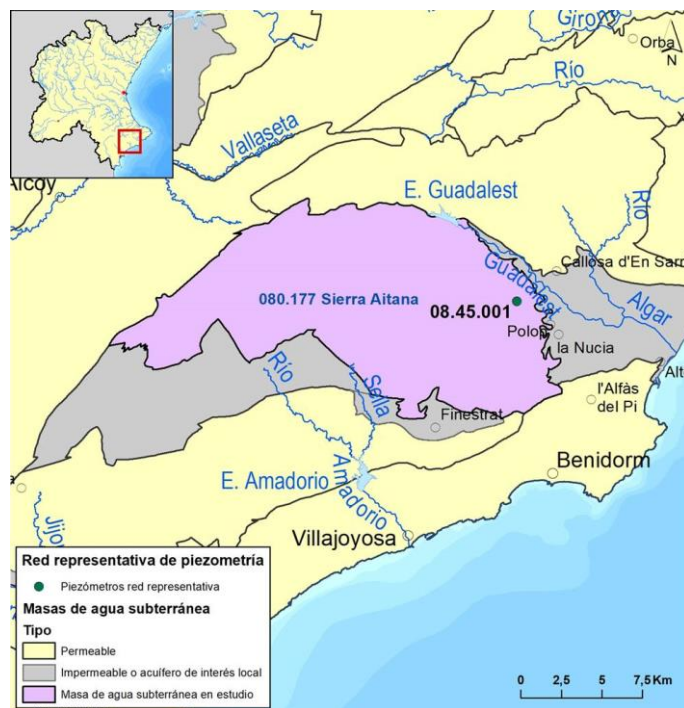


Figura 156. Red representativa en la masa de agua subterránea 080.177 Sierra Aitana.

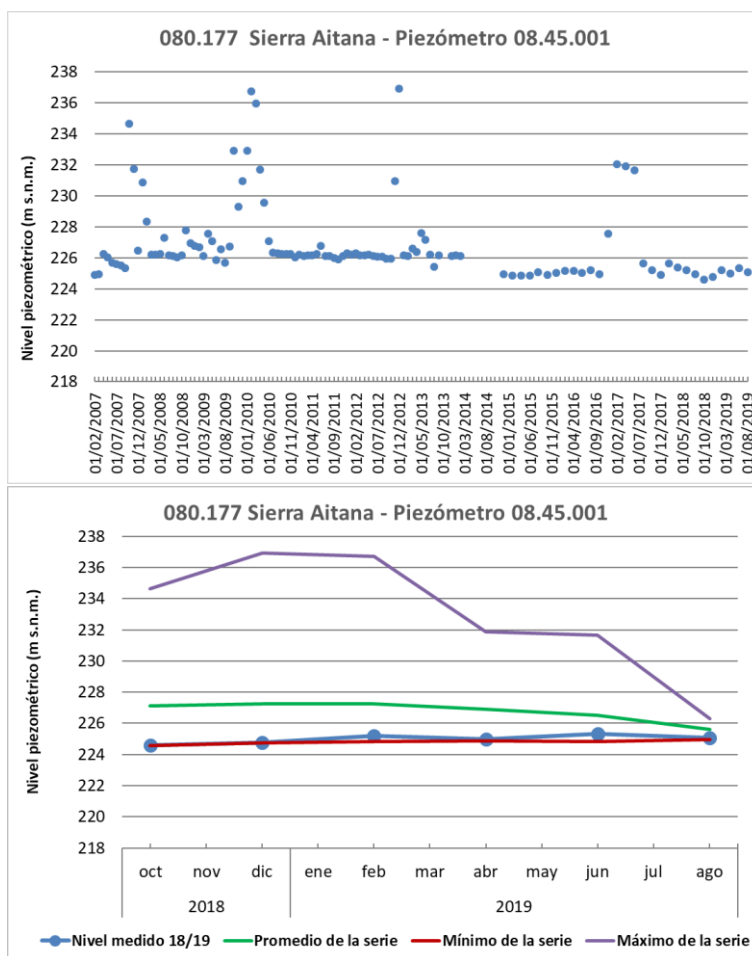


Figura 157. Piezometría en la masa de agua 080.177 Sierra Aitana: serie histórica y año hidrológico 2018/19. Piezómetro 08.45.001.



Figura 158. Red representativa en la masa de agua subterránea 080.190 Bajo Vinalopó.

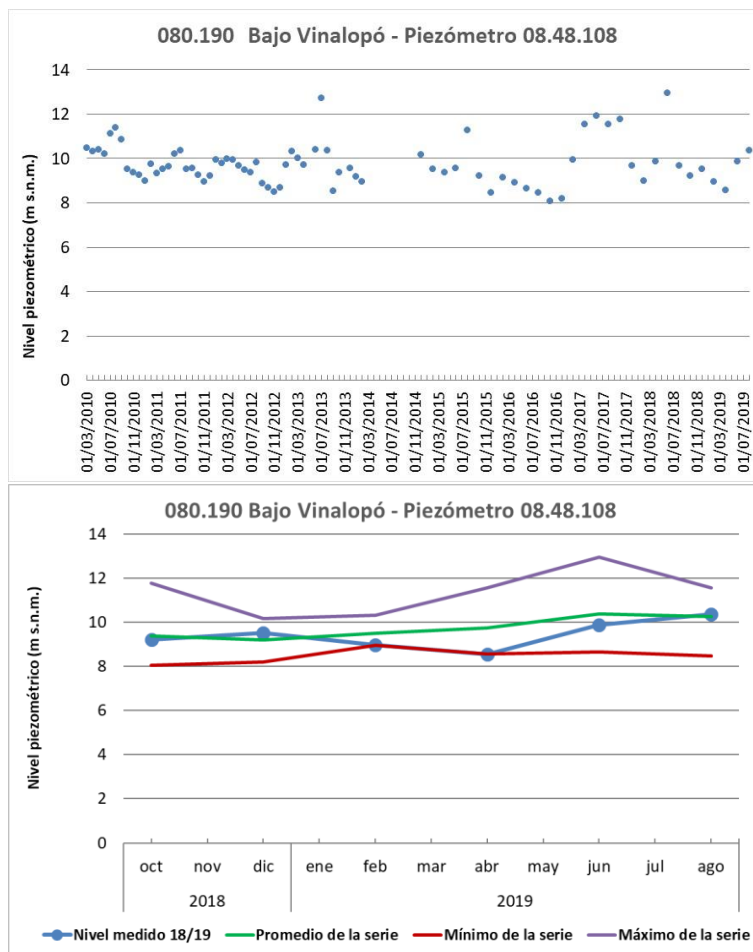


Figura 159. Piezometría en la masa de agua 080.190 Bajo Vinalopó: serie histórica y año hidrológico 2018/19. Piezómetro 08.48.108.

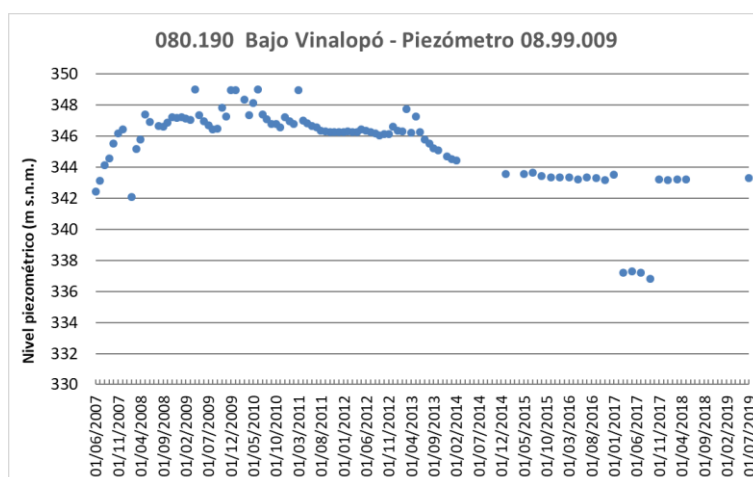


Figura 160. Piezometría en la masa de agua 080.190 Bajo Vinalopó: serie histórica y año hidrológico 2018/19. Piezómetro 08.99.009.

No ha sido posible realizar mediciones desde julio de 2018 en este punto, porque la sonda llega al final de la entubación sin detectar agua.

4 Resumen y conclusiones.

A continuación se muestra una figura y una tabla con la distribución de piezómetros representativos por cada masa de agua subterránea, catalogados por colores, según se observe si el nivel piezométrico del año hidrológico 2018/19, respecto a su serie histórica, se encuentra: por encima de la media (verde), por debajo de la media (rojo) o no presenta una variación significativa (amarillo).

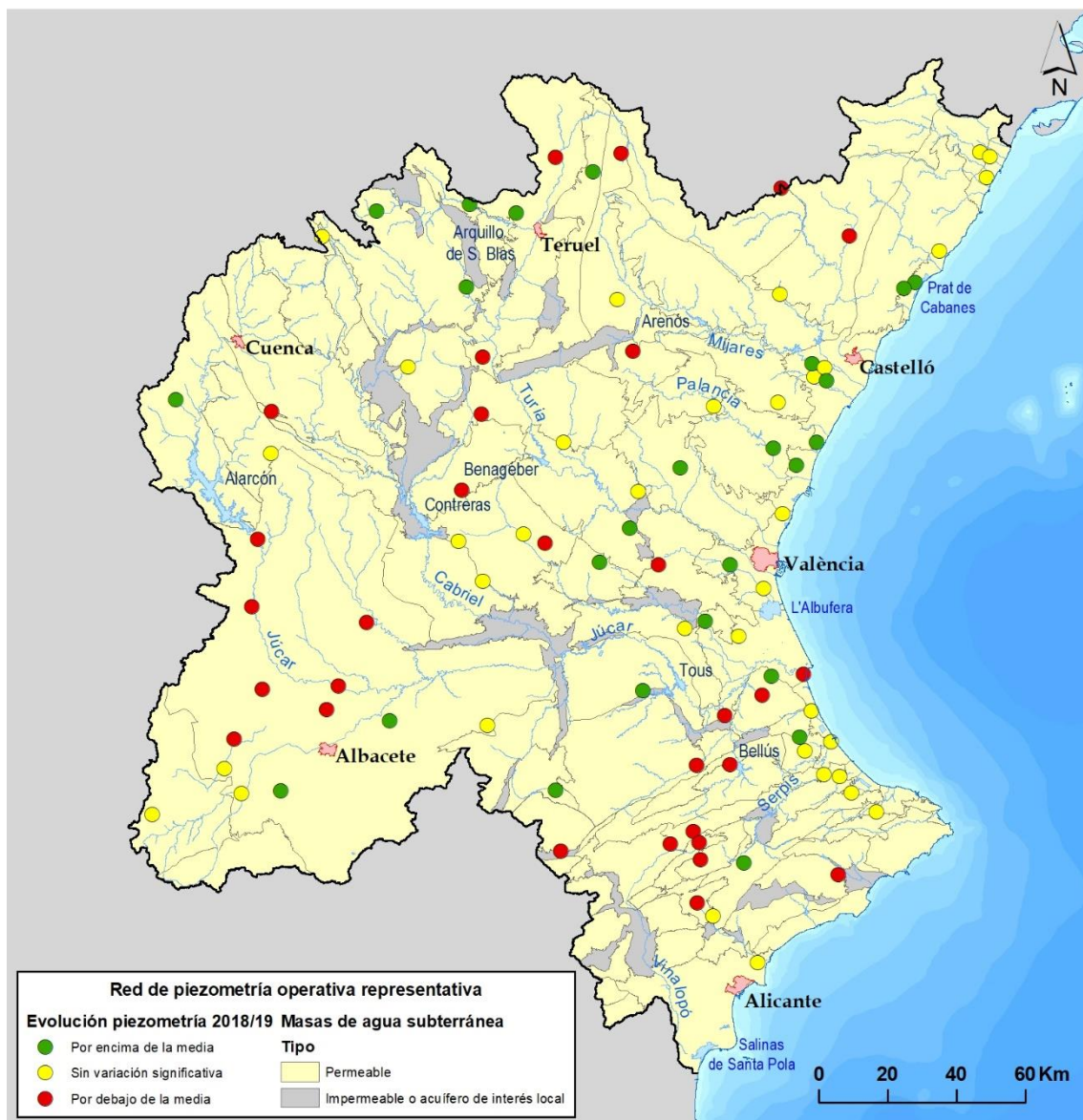


Figura 161. Evolución observada en los piezómetros de la red representativa en el año hidrológico 2018/19.

Código masa	Nombre masa	Piezómetro	Evolución del año hidrológico 2018/19
080.101	Hoya de Alfambra	08.99.102	Por debajo de la media
		08.99.106	Por encima de la media
080.102	Javalambre Occidental	08.05.041	Por encima de la media
080.103	Javalambre Oriental	08.05.002	Por debajo de la media
		08.05.005	Sin variación significativa
080.104	Mosqueruela	08.06.005	Por debajo de la media
080.106	Plana de Cenia	08.09.003	Sin variación significativa
080.107	Plana de Vinaroz	08.10.009	Sin variación significativa
		08.10.008	Sin variación significativa
080.108	Maestrazgo Occidental	08.07.124	Por debajo de la media
080.109	Maestrazgo Oriental	08.07.004	Por encima de la media
080.110	Plana de Oropesa - Torreblanca	08.11.004	Por encima de la media
		08.07.009	Sin variación significativa
080.111	Lucena - Alcora	08.06.003	Sin variación significativa
080.112	Hoya de Teruel	08.15.006	Por debajo de la media
080.113	Arquillo	08.03.001	Sin datos suficientes
080.114	Gea de Albarracín	08.03.002	Por encima de la media
080.115	Montes Universales	08.02.005	Por encima de la media
		08.02.002	Por encima de la media
080.117	Jurásico de Uña	08.02.065	Sin variación significativa
080.119	Terciario de Alarcón	08.17.029	Por encima de la media
080.120	Cretácico de Cuenca Sur	08.17.171	Sin variación significativa
080.121	Jurásico de Cardenete	08.17.020	Por debajo de la media
080.122	Vallanca	08.04.001	Sin variación significativa
080.123	Alpuente	08.15.002	Sin variación significativa
		08.15.004	Por debajo de la media
080.124	Sierra del Toro	08.14.006	Por debajo de la media
080.125	Jérica	08.14.004	Sin variación significativa
080.126	Onda - Espadán	08.13.007	Sin variación significativa
080.127	Plana de Castellón	08.12.033	Por encima de la media
		08.12.017	Por encima de la media
		08.12.015	Sin variación significativa
		08.12.014	Sin variación significativa
		08.12.010	Por encima de la media
080.128	Plana de Sagunto	08.21.005	Por encima de la media
080.129	Mancha Oriental	08.29.059	Por debajo de la media
		08.29.060	Por debajo de la media
		08.29.080	Por encima de la media
		08.29.102	Por encima de la media
		08.29.307	Sin variación significativa
		08.29.308	Sin variación significativa
		08.30.003	Sin variación significativa
		08.29.049	Por debajo de la media
		08.29.035	Por debajo de la media
		08.29.053	Por debajo de la media
		08.29.033	Por debajo de la media
08.17.028	Por debajo de la media		
080.130	Medio Palancia	08.20.014	Por encima de la media
080.131	Liria - Casinos	08.22.008	Sin datos suficientes
		08.19.004	Por encima de la media
080.132	Las Serranías	08.22.002	Sin variación significativa

Código masa	Nombre masa	Piezómetro	Evolución del año hidrológico 2018/19
		08.18.010	Por encima de la media
080.133	Requena - Utiel	08.24.005	Sin variación significativa
		08.24.007	Sin variación significativa
		08.24.010	Por debajo de la media
080.134	Mira	08.24.001	Por debajo de la media
080.135	Hoces del Cabriel	08.24.008	Sin variación significativa
080.136	Lezuza - El Jardín	08.30.151	Sin variación significativa
080.139	Cabrillas - Malacara	08.18.003	Por encima de la media
080.140	Buñol - Cheste	08.23.017	Por debajo de la media
080.141	Plana de Valencia Norte	08.25.094	Sin variación significativa
		08.25.010	Por encima de la media
		08.25.009	Sin variación significativa
080.142	Plana de Valencia Sur	08.26.019	Sin variación significativa
		08.26.016	Por debajo de la media
		08.26.018	Por debajo de la media
080.143	La Contienda	08.27.207	Por encima de la media
080.144	Sierra del Ave	08.27.096	Sin variación significativa
080.145	Caroch Norte	08.27.204	Por encima de la media
080.146	Almansa	08.33.001	Por encima de la media
080.147	Caroch Sur	08.28.007	Por debajo de la media
080.148	Hoya de Játiva	08.28.129	Sin datos suficientes
080.149	Sierra de las Agujas	08.31.007	Por debajo de la media
		08.31.008	Por encima de la media
080.150	Bárig	08.32.010	Por encima de la media
080.151	Plana de Jaraco	08.38.018	Sin variación significativa
080.152	Plana de Gandía	08.38.019	Sin variación significativa
080.153	Marchuquera - Falconera	08.32.003	Sin variación significativa
080.154	Sierra de Ador	08.37.007	Sin variación significativa
080.155	Valle de Albaida	08.32.009	Por debajo de la media
080.157	Sierra de la Oliva	08.34.003	Por debajo de la media
080.160	Villena - Benejama	08.36.001	Por debajo de la media
080.161	Volcadores - Albaida	08.36.002	Por debajo de la media
080.162	Almirante Mustalla	08.37.009	Sin variación significativa
080.164	Ondara - Denia	08.38.002	Sin variación significativa
080.167	Alfaro - Segaria	08.37.014	Sin variación significativa
080.170	Salt San Cristóbal	08.40.001	Por debajo de la media
080.171	Sierra Mariola	08.40.029	Por debajo de la media
080.175	Hoya de Castalla	08.44.041	Por debajo de la media
080.176	Barrancones - Carrasqueta	08.44.005	Por encima de la media
		08.44.007	Sin variación significativa
080.177	Sierra Aitana	08.45.001	Por debajo de la media
080.190	Bajo Vinalopó	08.48.108	Sin variación significativa
		08.99.009	Sin datos suficientes

Tabla 4. Evolución observada en los piezómetros de la red representativa en el año hidrológico 2018/19.

Como puede observarse en la figura y tabla anteriores, de los 94 piezómetros representativos, hay 25 en los que las medidas del año hidrológico 2018/19 se encuentran por encima de la media respecto a su serie histórica, mientras en 35 piezómetros su variación no es significativa, y en 30 puntos las medidas del año

hidrológico se sitúan por debajo de la media de su serie histórica. En cuatro puntos no ha sido posible analizar la evolución de su nivel piezométrico, ya que no disponen de medidas por presentar alguna incidencia.

En la siguiente figura se muestra la variación de la precipitación acaecida en el año hidrológico 2018/19, respecto a la precipitación media del periodo 1980/81 – 2018/19, así como la variación observada en los piezómetros. En este año hidrológico se aprecia un incremento generalizado de las precipitaciones en la zona oriental de la Demarcación, y en algunas zonas como la provincia de Cuenca, en la cabecera del río Cabriel. Hay que tener en cuenta que gran parte de estas lluvias se han producido en el mes de septiembre, siendo este el último mes del año hidrológico. Por lo que, muchos piezómetros no han registrado un incremento de sus niveles como reflejo de las lluvias producidas, debido a que la recarga natural de las aguas subterráneas es un proceso mucho más lento que para las aguas superficiales como los lagos o embalses.

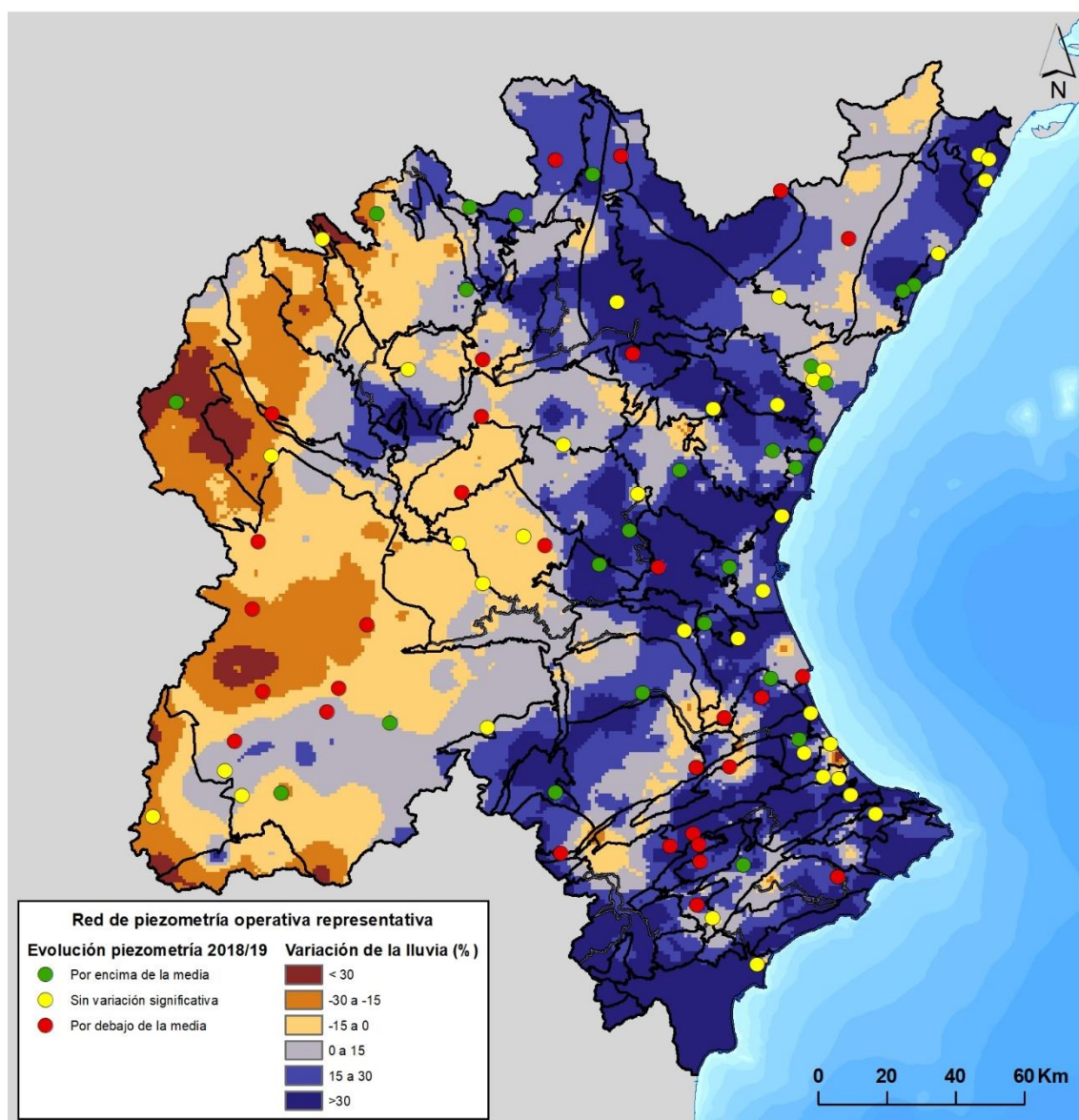


Figura 162. Variación de la precipitación del año hidrológico 2018/19, respecto a la precipitación media del periodo 1980/81 – 2018/19.

A continuación, se muestra el porcentaje de variación de la lluvia del año 2018/19, sin tener en cuenta el mes de septiembre de 2019 (mes con importantes lluvias tal como se ha dicho anteriormente), respecto a la lluvia media del periodo 1980/81 – 2018/19. De esta forma, se puede observar el comportamiento de los piezómetros en el año hidrológico, sin tener en cuenta las intensas lluvias que se produjeron en el último mes del mismo.

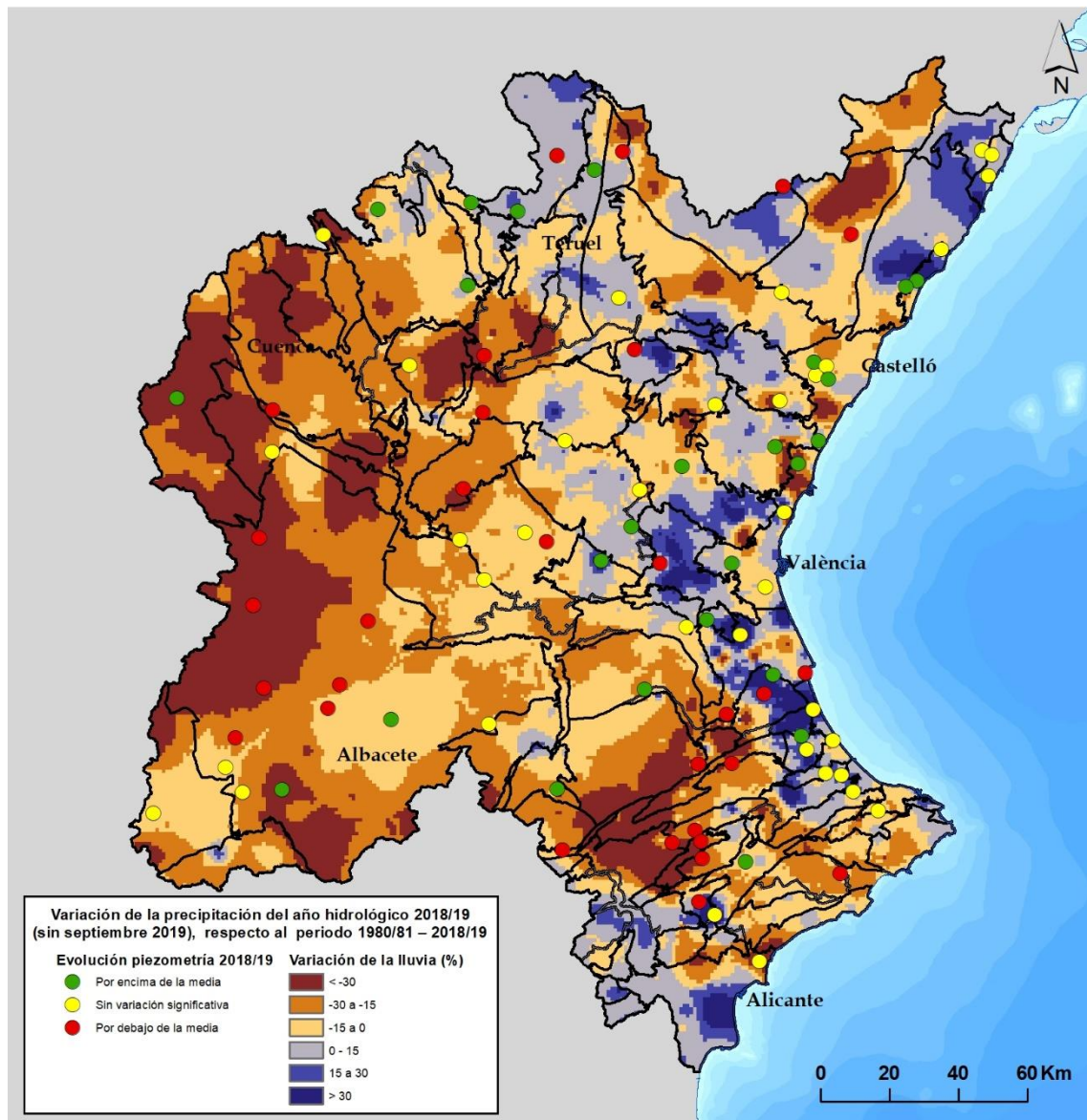


Figura 163. Variación de la precipitación del año hidrológico 2018/19 (sin tener en cuenta el mes de septiembre), respecto a la precipitación media del periodo 1980/81 – 2018/19.

Como se aprecia en esta imagen, en general, el comportamiento de los piezómetros refleja de forma más coherente la lluvia del año hidrológico, sin tener en cuenta las lluvias registradas en el mes de septiembre. Principalmente en la zona norte de Alicante, sur de València y en la parte central de la provincia de Cuenca, se observa que las lluvias se concentraron en septiembre y que el resto del año fueron inferiores a la media de la serie histórica (1980/81 - 2018/19), aspecto que también refleja la piezometría de estas zonas.

5 Referencias bibliográficas.

Pérez, M.A., 2005. Modelo distribuido de simulación del ciclo hidrológico y de la calidad del agua, integrado en sistemas de información geográfica, para las grandes cuencas. Aportación al análisis de presiones e impactos de la Directiva Marco del Agua. Tesis Doctoral. Dto. De Ingeniería Hidráulica y Medio Ambiente. Universidad Politécnica de Valencia. Junio 2005.

Miñana, 2015. Estudio y optimización de la red de piezometría de la Confederación Hidrográfica del Júcar. Junio de 2015.

